

П-168

АЗЭРБАЙЧАН ССР ЕЛМЛЭР АКАДЕМИЈАСЫ
АКАДЕМИЯ НАУК АЗЕРБАЙДЖАНСКОЙ ССР

МЭРУЗЭЛЭР ДОКЛАДЫ

ТОМ XVII ЧИЛД

2

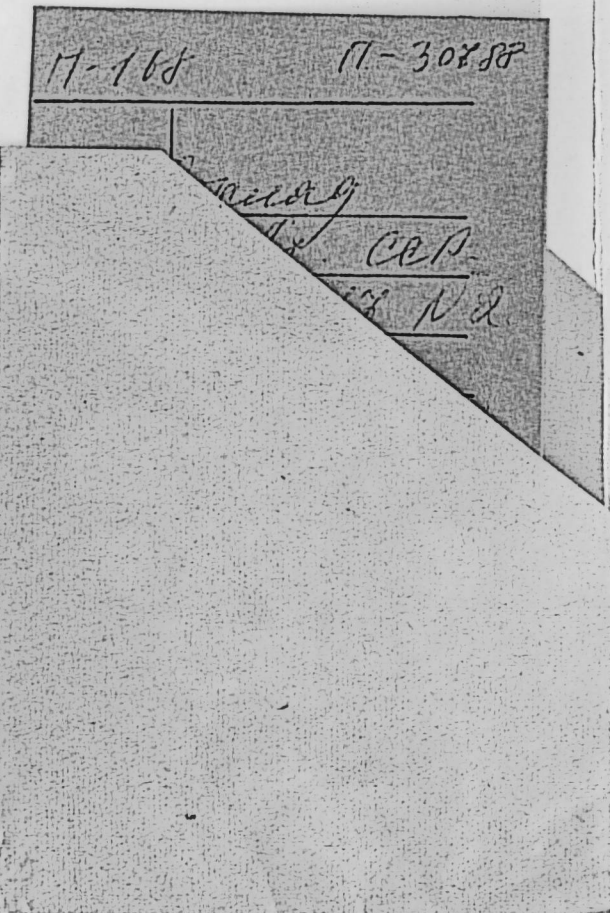
АЗЭРБАЙЧАН ССР ЕЛМЛЭР АКАДЕМИЈАСЫ НЭШРИЈЛТАҮ
ИЗДАТЕЛЬСТВО АКАДЕМИИ НАУК АЗЕРБАЙДЖАНСКОЙ ССР
Бакы — 1981 — Баку

АЗЭРБАЙЧАН ССР ЕЛМЛЭР АКАДЕМИЈАСЫ
АКАДЕМИЯ НАУК АЗЕРБАЙДЖАНСКОЙ ССР

МЭ'РУЗЭЛЭР ДОКЛАДЫ

ТОМ XVII ЧИЛД

№ 2



АЗЭРБАЙЧАН ССР ЕЛМЛЭР АКАДЕМИЈАСЫ НЭШРИЈАТЫ
ИЗДАТЕЛЬСТВО АКАДЕМИИ НАУК АЗЕРБАЙДЖАНСКОЙ ССР
БАКУ — 1961 — БАКУ

З. И. ХАЛИЛОВ

ОБ УСТОЙЧИВОСТИ РЕШЕНИЙ ЭВОЛЮЦИОННОГО УРАВНЕНИЯ
С НЕОГРАНИЧЕННЫМ ОПЕРАТОРОМ

Пусть B есть пространство Банаха. Рассмотрим совокупность функций $x(t)$, определенных на полуоси $J = [0, +\infty)$, со значениями из пространства B .

Через L обозначим совокупность локально интегрируемых в смысле Бохнера функций $x(t)$. Введем в L счетное число норм $\|x(t)\|_n = \int_0^n \|x(t)\| dt$, $n = 1, 2, \dots$. В дальнейшем под L будем понимать так составленное счетно-нормированное пространство.

Рассмотрим банахово пространство B , которое сильнее L . Примерами таких пространств служат:

M — пространство функций $f(t) \in L$, для которых $\int_0^{t+1} \|f(\tau)\| d\tau$ ограничены относительно $t \in J$, с нормой

$$\|f\|_M = \sup_t \int_0^{t+1} \|f(\tau)\| d\tau$$

(вместо единицы можно взять любое положительное число); L_p , $1 \leq p < \infty$, — пространство измеримых по Бохнеру функций $f(t)$ с нормой

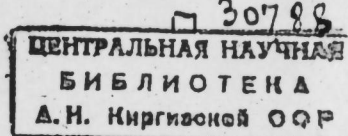
$$\|f\|_p = \left(\int_0^\infty \|f(t)\|^p dt \right)^{\frac{1}{p}};$$

L_∞ — пространство измеримых по Бохнеру функций, существенно ограниченных на J , с нормой

$$\|f\|_\infty = \text{ess sup}_{t \in J} \|f(t)\|;$$

C — пространство ограниченных непрерывных функций $f(t)$ на J с нормой

$$\|f\| = \sup_{t \in J} \|f(t)\|.$$



РЕДАКСИЯ ҮЕJ'ЭТИ: Ж. Һ. Мәммәдәлиев (баш редактор), В. Р. Волобуев, М. Э. Гашғай, М. А. Дадашзадә (баш редактор мұавини), М. А. Далин, Ш. Э. Эзизбәјов, Һ. Э. Элиев, М. Ф. Нагиев (баш редактор мұавини), Э. С. Сумбатзадә, М. А. Топчубашов, М. Э. Усеинов, З. И. Халилов, И. А. Һүсейнов, Һ. Һ. Зеиналов (мәс'ул көтіб).

РЕДАКЦИОННАЯ КОЛЛЕГИЯ: Ю. Г. Мамедалиев, (главный редактор), Ш. А. Азизбеков, Г. А. Алиев, В. Р. Волобуев, И. А. Гусейнов, М. А. Дадашзаде (зам. главного редактора), М. А. Далин, М. А. Кашикай, М. Ф. Нагиев (зам. главного редактора), А. С. Сумбатзаде, М. А. Топчибашев, М. А. Усеинов, З. И. Халилов, Г. Г. Зейналов (ответственный секретарь).

Очевидно, C есть подпространство пространства L_∞ : C_0 — подпространство C , состоящее из функций $f(t)$, удовлетворяющих условию

$$\lim_{t \rightarrow \infty} \|f(t)\| = 0.$$

Рассмотрим нелинейное интегральное уравнение:

$$x(t) = V(t, 0)x_0 + \int_0^t V(t, s)h(x, s)ds, x_0 \in B, \quad (1)$$

где $V(t, s)$ при фиксированных $t, s, 0 < s \leq t, s \in J$ есть ограниченный линейный оператор в B , удовлетворяющий условиям:

$$1) \quad V(t, t) = I \quad \text{при любом } t,$$

$$2) \quad V(t, s)V(s, 0) = V(t, 0),$$

3) $V(t, s)$ сильно непрерывен по совокупности t и s ;

$h(x, t)$ — нелинейный оператор такой, что каждой паре $x(t) \in C$ и $t \in J$ сопоставляет функцию из L .

Нетрудно показать, что при условиях 1), 2) и 3) функции

$$x(t) = V(t, 0)x_0, \quad x_0 \in B, \quad (2)$$

$$x(t) = V(t, 0)x_0 + \int_0^t V(t, s)f(s)ds, \quad x_0 \in B, \quad f(t) \in L \quad (3)$$

— непрерывны. Совокупность функций (2) обозначим через M_1 , а совокупность (3) — через M_2 .

Множество всех элементов B , являющихся началом ограниченных функций из класса M_1 , обозначим через B_0 . Как показывают примеры, B_0 , вообще говоря, не замкнуто.

Лемма 1. Если B_0 есть замкнутое множество, то существует такая положительная постоянная S , что для всякой ограниченной $x(t)$ из M_1 , имеет место неравенство:

$$|x| \leq S \|x(0)\|. \quad (4)$$

Лемма 2. Предположим, что B_0 замкнуто и имеет замкнутое дополнение B_1 . Если для каждой $f \in B$ имеется самое меньшее одна ограниченная функция из M_2 , то существует постоянная $K > 0$ такая, что для каждой $f \in B$ имеется ограниченная функция $x(t) \in M_2$, которая удовлетворяет неравенству:

$$|x| \leq K \|f\|_B; \quad (5)$$

Эта функция может быть выбрана так, чтобы $x_0 = x(0) \in B_1$, и тогда она определяется единственным образом.

Пользуясь неравенствами (4) и (5) методом последовательных приближений мы доказываем следующую теорему.

Обозначим через P_0 проектирующий оператор:

$$P_0 x = x_0 \in B_0.$$

Теорема 1. Пусть имеют место условия леммы 2. Пусть $h(x, t)$ удовлетворяет условию:

$$|h(x', t) - h(x'', t)|_B \leq \gamma |x' - x''|, \quad (6)$$

где $x' \equiv x'(t) \in C$, $x'' \equiv x''(t) \in C$. $|x'| < a$, $|x''| < a$; γ и a — некоторые положительные числа.

Пусть $\beta = \|h(0, t)\|_B$.

Тогда, если $K\gamma < 1$ и $\beta < K^{-1}(1 - K\gamma)a$, то для каждого $\xi_0 \in B_0$, $\|\xi_0\| < b = S^{-1}[(1 - K\gamma)a - K\beta]$ существует единственное решение $x(t, \xi_0)$ уравнения (1), определенное в J и такое, что $|x(t, \xi_0)| < a$ и $P_0 x(0, \xi_0) = \xi_0$.

Это решение удовлетворяет неравенству

$$|x(t, \xi_0)| \leq (1 - K\gamma)^{-1}(K\beta + S \|\xi_0\|), \quad (7)$$

откуда следует утверждение теоремы 2.

Теоремы 1 и 2 являются обобщением известных теорем Перронса и Массера-Шеффера [7].

Рассмотрим теперь эволюционное уравнение

$$\frac{dx}{dt} = A(t)x + f(t) \quad (8)$$

$t \in J$, где $A(t)$ — линейный оператор, который действует в банаевом пространстве B и, вообще говоря, неограниченный; $f(t) \in B$.

Пусть $A(t)$ удовлетворяет всем условиям Т. Като [1]:

C_1 . $A(t)$ определен для $t \in J$ и для каждого t : 1) $A(t)$ — замкнутый линейный оператор с областью, плотной в B ,

2) резольвентное множество $A(t)$ содержит все положительные действительные числа и

$$\|(I - \alpha A(t))^{-1}\| \leq 1 \text{ для } \alpha > 0.$$

C_2 . 1) Область определения D оператора $A(t)$ не зависит от t ;

2) $B(t, s) = [I - A(t)][I - A(s)]^{-1}$ — ограниченный оператор для всех t, s .

3) $B(t, s)$ имеет ограниченную вариацию по t , по крайней мере для некоторого s .

C_3 . $B(t, s)$ слабо непрерывен по t , по крайней мере для некоторого s .

C_4 . $B(t, s)$ слабо дифференцируем по t и $\partial B(t, s)/\partial t$ сильно непрерывен по t , по крайней мере для некоторого s .

Тогда, как доказал Т. Като, при наличии условий C_1 и C_2 существует операторная функция $V(t, s)$, определенная для $0 \leq s \leq t < +\infty$ со следующими свойствами:

- 1) $V(t, s)$ — ограниченный оператор в B и $\|V(t, s)\| \leq 1$;
- 2) $V(t, s)$ сильно непрерывен по совокупности s, t , и $V(t, t) = I$,
- 3) $V(t, r) = V(t, s)V(s, r)$, $r \leq s \leq t$.

Имеет место

Теорема (Като): пусть выполнены условия C_1 , C_2 , C_3 , C_4 . Если $x_0 \in D[A(t)]$ и $[A(r) - I]f(t)$ сильно непрерывно дифференцируемо по t для фиксированного r , то выражение (3) определено, принадлежит $D[A(t)]$ для каждого t , сильно дифференцируемо по t и удовлетворяет дифференциальному уравнению (8) с начальным условием $x(0) = x_0$.

Условия Като можно сформулировать так [2, 6]: $B(t) = A(t) \frac{d}{dt} A^{-1}(t)$

является сильно непрерывным по t оператором.

Исследования Като проведены на основании результатов Э. Хилла [4] и К. Иосида [5].

Выражение (3) определено для любого $x_0 \in B$ и для каждой функции $f(t) \in L$. Следовательно, при условиях C_1 и C_2 , имеет смысл непрерывную функцию, определенную (3), считать обобщенным решением задачи Коши для (8).

Таким образом, теоремы 1 и 2 при условиях C_1 и C_2 дают критерии ограниченности и устойчивости по Ляпунову обобщенного решения задачи Коши:

$$\begin{aligned} \frac{dx}{dt} &= A(t)x + h(x, t) \\ x(0) &= x_0. \end{aligned} \quad (9)$$

Критерии устойчивости для задачи Коши (9) установлены различными авторами. М. Г. Крейн [3] впервые рассмотрел этот вопрос для случая, когда $A(t)$ — непрерывный по t ограниченный оператор при каждом t . Другим методом эта теория была развита Массера и Шеффером [7] для почти всюду ограниченного и локально интегрируемого по Бонхнеру $A(t)$.

Наши результаты применимы, например, к задаче Коши для интегро-дифференциального уравнения вида:

$$\frac{du}{dt} = Lu + \int_0^t d\tau \int_{\Omega} K(t, y, \tau, \eta) u(\tau, \eta) d\eta$$

$$u|_{t=0} = \varphi(x),$$

где L — сильно эллиптический оператор.

ЛИТЕРАТУРА

1. Като Т. Сб. переводов. Математика, 2:4, 1958.
2. Красносельский М. А. и Крейн С. Г. Труды III Всесоюзного матем. съезда, т. III, 1958.
3. Крейн М. Г. Усп. матем. наук*, 1948, № 3. 4. Хилл Э. Функциональный анализ и полугруппы, 1951.
5. Josida K. J. Math. Soc. Japan, 1, 1949.
6. Като Т. Math. Rev., 17, № 1, 1956.
7. Massera J. L. Schäffer J. J. Ann. math., 67, № 3, 1958.
8. Реггон О. Math. Zs., 32, 1930.

Институт математики и механики

Поступило 2. I 1961

З. И. Халилов

Гејри-мәңдуд операторлу еволюсион тәнлигин һәлләринин дајанаглығы

ХУЛАСӘ

Фәрз едәк ки, B Банах фәзасыдыр, $x(t)$ исә $J=[0, +\infty]$ жарым охда тә'жин олунмуш гијметләри B фәзасына дахил олан функцијадыр. Фәрз едәк ки, $x(t)$ Бонхнер мә'насында локал интегралланыр. Белә функцијалар чохлугунда

$$\|x(t)\|_n = \left(\int_0^n \|x(t)\|^n dt \right)^{\frac{1}{n}}, n = 1, 2, \dots$$

несаби сајда нормалар гәбул едиб, алышан топологи фәзаны L илә ишарә едәк.

Мәгаләдә мүэjjән шәртләри өдәjән $V(t, s)$ хәтти мәңдуд оператор үчүн

$$x(t) = V(t, 0)x_0 + \int_0^t V(t, s)h(s)ds$$

гејри-хәтти интеграл тәнлигин һәлләринин мәңдудлуғу вә дајанаглығы арашдырылып.

Исбат олунан 1 вә 2 теоремләри

$$\frac{dx}{dt} = A(t)x + h(x, t)$$

$$x(0) = x_0$$

Коши мәсәләсинин һәлләринин мәңдудлуғу вә дајанаглығынын шәртләрини мүэjjән едир.

Алышан нәтичәләр М. Крейн, Массера вә Шефферин нәтичәләрини үмумиләшdirir, вә хүсуси тәрәмәли тәиликләр үчүн гоулмуш стационар олмајан мәсәләләринин һәлләринин мәңдудлуғуну вә дајанаглығыны әһатә едир.

ФИЗИКА

М. А. ТАЛИБИ и Г. АБДУЛЛАЕВ

О КОРРЕЛЯЦИИ В ПОЛУПРОВОДНИКАХ МЕЖДУ ЭНЕРГИЕЙ
АКТИВАЦИИ ПРИМЕСЕЙ ИОНИЗАЦИОННЫМ ПОТЕНЦИАЛОМ
И РАДИУСОМ ПРИМЕСНОГО АТОМА

Небольшие количества примесей, введенных в полупроводник, становясь источником свободных зарядов, приводят к значительному изменению его свойств. Работа диссоциации ΔE для примесных уровней в большинстве случаев значительно меньше энергии ΔE_0 , необходимой для перевода электрона из валентной зоны в зону проводимости самого полупроводника. Физические свойства полупроводника в значительной мере определяются расположением примесных уровней в запретной зоне полупроводника. Изучению влияния примесей на физические свойства полупроводников посвящено большое количество работ [1;3—7, 10]. Работа [8] посвящена зависимости между энергетическими, электрофизическими и механическими свойствами полупроводников.

Е. Маузер и В. Пирсон показали [12], что в бинарных соединениях сурьмы с алюминием, галлием, индием и таллием энергия активации резко понижается с ростом атомного номера переменившейся составляющей.

В настоящей работе исследовано влияние ряда примесей (0,1%, 0,01%) в селене на электрические свойства селена и селеновых *p-n*-переходов (система Se—CdSe). Исследованы температурная зависимость, вольтамперные характеристики *p-n*-переходов и температурная зависимость удельного сопротивления селена с различными примесями.

Анализ полученных экспериментальных данных приводит к следующим результатам:

1. При постоянном напряжении с понижением температуры обратный ток через *p-n* переход резко возрастает. Наступление резкого возрастания обратного тока зависит от природы введенной примеси (рис. 2). Чем больше первый ионизационный потенциал атома примеси и меньше атомный радиус примеси, тем ниже температура наступления ударной ионизации.

Таблица 1

Примеси в селене

Примесь	Энергия активации ΔE , эВ	Первый ионизационный потенциал $U_{\text{иониз.}}$, эВ	Атомный радиус R_a , Å	$\Delta U_{\text{иониз.}}$, эВ	ΔR_a , Å	Атомный номер	Плотность	Источник ΔE
Ga	0,23	5,97	2,7	3,80	1,54	—	—	Собственные данные
Pb	0,33	7,37	1,75	2,38	0,59	82	11,34	•
Ag	0,35	7,63	1,44	2,12	0,29	47	10,5	•
Fe	0,4	7,83	1,28	1,92	0,12	26	7,9	•
Si	0,47	8,14	1,26	1,81	0,10	14	2,33	•
Se	1,7	9,75	1,16	0	0	—	—	—

Таблица 2

Доноры в германии

Примесь	Энергия активации ΔE , эВ	Первый ионизационный потенциал $U_{\text{иониз.}}$, эВ	Атомный радиус R_a , Å	$\Delta U_{\text{иониз.}}$, эВ	ΔR_a , Å	Литературный источник ΔE
Li	0,0003	5,37	1,57	2,73	0,256	[3]
P	0,012	10,43	1,14	2,33	0,174	[3, 11]
Al	0,18	9,2	1,456	1,1	0,142	[3, 9, 11]
Fe	0,27	7,83	1,28	0,27	0,034	[3, 9, 14]
Ge	0,78	8,1	1,314	0	0	—

Таблица 3

Акцепторы в германии

Примесь	Энергия активации ΔE , эВ	Первый ионизационный потенциал $U_{\text{иониз.}}$, эВ	Атомный радиус R_a , Å	$\Delta U_{\text{иониз.}}$, эВ	ΔR_a , Å	Литературный источник ΔE
Ga	0,0108	5,97	2,7	2,13	1,386	[3, 11]
Zn	0,029	9,37	1,37	1,27	0,056	[3, 9, 11]
Pt	0,04	8,8	1,37	0,7	0,056	[3, 9, 11]
Ni	0,23	7,6	1,27	0,5	0,044	[3, 9, 11]
Cu	0,25	7,67	1,28	0,43	0,034	[3, 11]
Re	0,34	7,83	1,28	0,27	0,034	[3, 9, 11, 14]
Ge	0,76	8,1	1,314	0	0	—

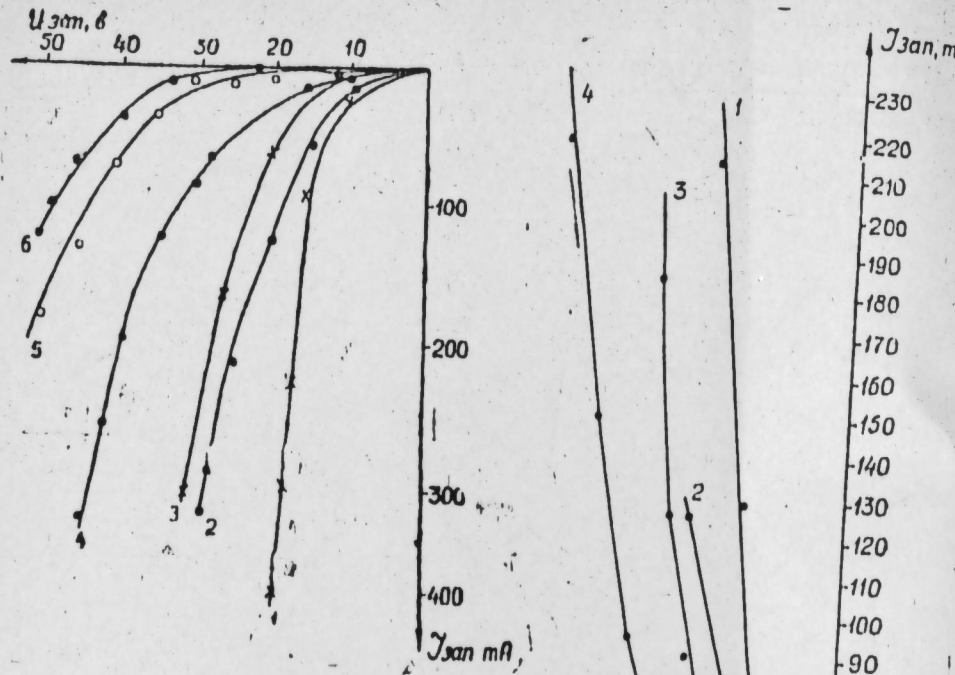


Рис. 1

Обратные вольтамперные характеристики селеновых выпрямляющих элементов при температуре жидкого азота:

- 1 — элемент с примесью галлия в селене;
- 2 — элемент с примесью сплава в селене;
- 3 — элемент с примесью серебра в селене;
- 4 — элемент с примесью железа в селене;
- 5 — элемент без примесей в селене; 6 — элемент с примесью кремния.

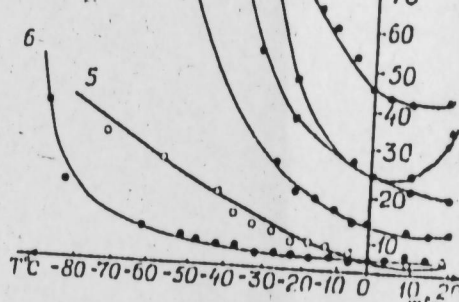
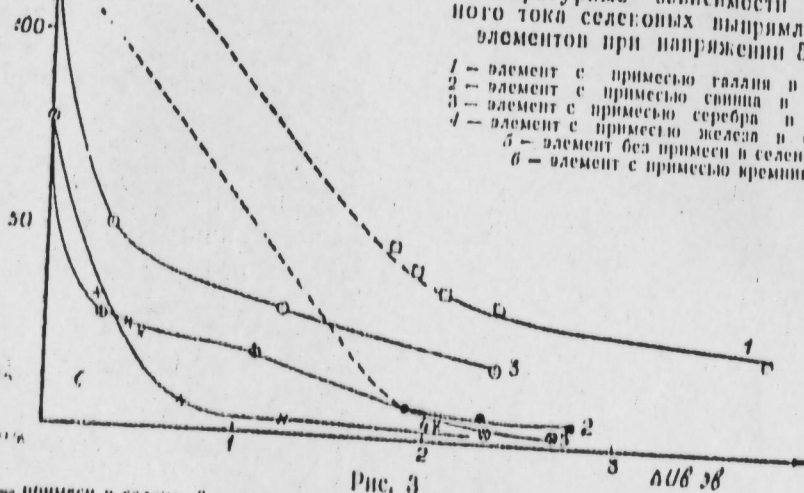


Рис. 2

Температурные зависимости запорного тока селеновых выпрямляющих элементов при напряжении 50 В:

- 1 — элемент с примесью галлия в селене;
- 2 — элемент с примесью сплава в селене;
- 3 — элемент с примесью серебра в селене;
- 4 — элемент с примесью железа в селене;
- 5 — элемент без примесей в селене;
- 6 — элемент с примесью кремния.



- 1 — примесь в селене;
- 2 — донары в кремнии;
- 3 — акцепторы в кремнии;
- 4 — донары в германии.

2. При постоянной температуре чем меньше первый ионизационный потенциал атома примеси и больше атомный радиус, тем ниже напряжение наступления ударной ионизации (рис. 1).

Следует заметить наличие корреляции также между ΔE атомным номером и плотностью вещества примесей (табл. 1). С уменьшением атомного номера и плотности примеси энергия активации растет. Данная корреляция не распространяется на примеси галлия, обладающего некоторыми аномалиями в свойствах.

Таблица 4
Доноры в кремнии

Примесь	Энергия активации ΔE , эВ	Первый ионизационный потенциал $U_{\text{иониз.}}$, эВ	Атомный радиус R_a , Å	$\Delta U_{\text{иониз.}}$, эВ	ΔR_a , Å	Литературный источник ΔE
Li	0,033	5,37	1,57	2,77	0,31	[3, 9, 11]
P	0,044	10,43	1,14	2,29	0,12	[2, 3, 9, 11]
As	0,049	10,05	1,314	1,91	0,054	[3, 9, 11, 13]
Si	1,21	8,14	1,26	0	0	—

Таблица 5
Акцепторы в кремнии

Примесь	Энергия активации ΔE , эВ	Первый ионизационный потенциал $U_{\text{иониз.}}$, эВ	Атомный радиус R_a , Å	$\Delta U_{\text{иониз.}}$, эВ	ΔR_a , Å	Литературный источник ΔE
In	0,16	5,76	1,56	2,38	0,3	[3, 9, 11, 13]
Zn	0,3	9,37	1,37	1,23	0,11	[2, 9]
Fe	0,5	7,83	1,28	0,31	0,02	[2]
Si	1,21	8,14	1,26	0	0	—

3. Энергии активации примесей зависят от разности первых ионизационных потенциалов атома селена и примесного атома— $\Delta U_{\text{иониз.}}$ и разности атомных радиусов селена и примеси— ΔR_a .

Чем меньше величины $\Delta U_{\text{иониз.}}$ и ΔR_a , тем большее значение ΔE (табл. 1).

Было интересно проверить существование наличия такой корреляции для других элементарных полупроводников.

Систематизация литературных данных показала, что указанные зависимости имеют место также для ряда примесей в германии и кремнии (табл. 2—5). На рис. 3 и 4 приводятся зависимости ΔE от $\Delta U_{\text{иониз.}}$ и ΔR_a , построенные на основе данных табл. 1—5.

Таким образом, для ряда примесей в полупроводниках можно формулировать следующее положение;

Чем ближе величина ионизационного потенциала и атомного радиуса примеси к соответствующим параметрам полупроводника, тем больше энергия активации примесей в данном полупроводнике.

Систематизация литературных данных показывает, что корреляция между указанными параметрами существует и в бинарных полупроводниковых соединениях.

Соответствующее правило можно сформулировать следующим образом:

В бинарных полупроводниковых соединениях металла с элементами одной и той же группы чем ближе ионизационные потенциалы и атомные радиусы компонентов, тем меньше ширина запретной зоны бинарного соединения.

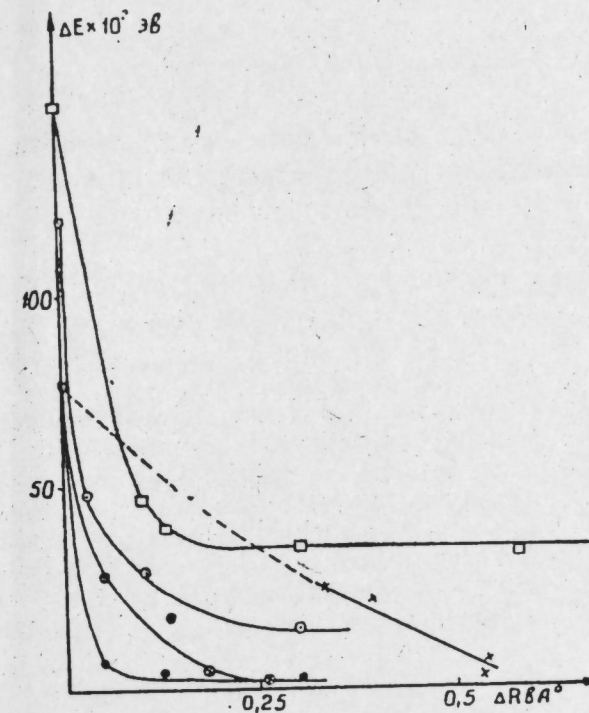


Рис. 4
1 — примеси в селене, 2 — доноры в кремнии, 3 — акцепторы в кремнии, 4 — доноры в германии, 5 — акцепторы в германии.

Справедливость этого положения подтверждается для сернистых, селенистых и теллуристых соединений берилля, цинка, кадмия и свинца; для бинарных соединений алюминия, галлия и индия с фосфором, мышьяком и сурьмой; для соединений магния с кремнием, германием и оловом.

Для селенидов и сульфидов в отдельности корреляция выражается следующим образом:

Чем ближе ионизационный потенциал и атомный радиус металла к соответствующим параметрам селена (или серы соответственно), тем больше ширина запретной зоны бинарного соединения.

Это положение подтверждается для селенидов и сульфидов берилля, цинка, кадмия, таллия и свинца.

Корреляция между шириной запретной зоны и разностями величин ионизационных потенциалов и атомных радиусов компонентов существует и в ряде тройных полупроводниковых соединений.

ЛИТЕРАТУРА

1. Абдуллаев Г. Б. Полупроводниковые выпрямители. Баку, 1958.
2. Данлэп У. Введение в физику полупроводников (пер. с англ. яз.) М., 1959.
3. Иоффе А. Ф. Физика полупроводников. Изд-во АН СССР, 1957.
4. Пенин Н. А. и Астахов К. В. Ж. техн. физ., 1946, т. 16, вып. 2, 5. «Полупроводники в науке и технике», т. 1, II. Изд-во АН СССР, 1957.
5. «Полупроводниковые вещества». Сб. ст. М., 1960.
6. «Полупроводниковые материалы». Сб. пер., М., 1954.
7. «Проблемы физики полупроводников», сб. ст. (пер. с англ. яз.), М., 1957.
8. Шалым С. С. Полупроводники в науке и технике. Изд-во АН СССР, 1957.
9. «Электрофизические свойства герmania и кремния». Сб. ст. Изд-во «Советское радио», 1956.
10. Вигтон J. A. Physica XX, 1954.
11. Mooser E., Pearson W. B. Journ. Chem. Phys., 1957, 26.
12. Mogil R. J. and Malta J. P. Phys. rev., 1951, 96, № 1.
13. Tyler W. and Woodbury H. H. Phys. rev., 1954, 95.

Институт физики

Поступило 3. I 1961

М. Э. Талиби, И. Б. Абдуллаев

Ярымкечиричиләрдә ашгарларын активләшмә енержиси, ионлашма потенциалы вә атом радиусу арасында корелјасија һагтында

ХҮЛАСӘ

Бир сырға ашгарларын ($0,1\%$, $0,01\%$) селенин вә селен әсасында $p-n$ кечидләрни ($Se-CdSe$) электрик хассәләрни тә'сири тәдгиг едилмиш вә ашағыдақы нәтичәләр алымышыдыр.

Ашгарлын биринчи ионлашма потенциалы нә гәдәр бөյүк вә атом радиусу нә гәдәр кичик олурса, сабит кәркинилдә зәрбә илә ионлашма температуру бир о гәдәр ашагы олур. Сабит температурда зәрбә илә ионлашма просесиниң башламасы кәркинилди дә ашгарлын ионлашма потенциалының азалмасы вә атом радиусунда артмасы илә азалыр.

Селенде ашгарларын активләшмә енержиси селен атомлары илә ашгар атомларының ионлашма потенциалларының вә атом радиусларының фәргләрни илә мүәјҗән едиллир. Ыемин фәргләр кичилдикчә активләшмә енержиси бөйүүр.

Бу чүр асылылыгын башга ярымкечиричиләрдә дә олуб-олмамасыны јохламаг мәгәсди илә әдәбијатда силисум вә керманиумда вид олган мә'луматлар системләшдирилmişdir. Мүәјҗән едилмиш ганунар удугулуг силисум вә керманиумда да бир сырға ашгарлар үчүн дөрүүр.

Беләликлә, ярымкечиричиләрдә бир сырға ашгарлар үчүн ашагыда күтәрүчө алыныр:

Ашгарлын ионлашма потенциалы вә атом радиусунун гифмәтләри ярымкечиричинин ўғун параметрләрни нә гәдәр яхын олса, ашгарлын һәмин ярымкечиричидә активләшмә енержиси бир о гәдәр бөйүк олур.

ГИДРОДИНАМИКА

А. М. ГАСАНОВ

РЕШЕНИЕ ОДНОМЕРНОЙ ЗАДАЧИ ФИЛЬТРАЦИИ ГАЗИРОВАННОЙ НЕФТИ НА ВЫЧИСЛИТЕЛЬНОЙ МАШИНЕ «УРАЛ-1»

(Представлено академиком АН Азербайджанской ССР З. И. Халиловым)

Основной задачей фильтрации газированной нефти является определение давления и насыщенности нефти в пласте, так как после этого легко определяются [1, 4] другие показатели разработки (дебит скважин, время эксплуатации и т. д.) нефтяных месторождений.

Основная задача фильтрации газированной нефти в наибольшей форме, насколько нам известно, впервые рассмотрена З. И. Халиловым, который применил два численных метода (метод последовательных приближений и метод сеток) к решению этой задачи, указал критерий сходимости процесса и доказал существование, единственность и устойчивость решения при определенных условиях [2, 3].

Настоящая работа посвящена численному решению основной одномерной задачи фильтрации газированной нефти, которая сводится к решению системы уравнений в безразмерных координатах:

$$\left. \begin{aligned} \frac{\partial p}{\partial t} &= \left[\frac{\mu_n}{\mu_r} (1-p)^2 + p^3 \right] \left[P \frac{\partial^2 P}{\partial x^2} + \left(\frac{\partial P}{\partial x} \right)^2 \right] + \\ &\quad + P_1 \left[2 \frac{\mu_n}{\mu_r} (p-1) + 3p^2 \right] \frac{\partial P}{\partial x} \frac{\partial p}{\partial x}; \\ \frac{\partial p}{\partial t} &= p^3 \frac{\partial^2 P}{\partial x^2} + 3p^2 \frac{\partial P}{\partial x} \frac{\partial p}{\partial x}, \end{aligned} \right\} \quad (1)$$

при граничных условиях:

$$P(x, t)|_{x=0} = P_r(t); \quad P(x, t)|_{x=1} = P_k(t) \quad (2)$$

и начальных условиях:

$$P(x, t)|_{t=0} = P_0(x); \quad \rho(x, t)|_{t=0} = \rho_0(x), \quad (3)$$

где $x = 0$ — галерея, $x = 1$ — контур питания.

$$0 \leq x \leq 1; \quad 0 \leq t \leq \infty.$$

Здесь P — давление, ρ — насыщенность нефтью порового пласта, μ_n, μ_r — вязкости, соответственно, нефти и газа, t — время, x — координата точки нефтяного пласта, $P_r(t), P_k(t), P_0(x), \rho_0(x)$ — заданные кусочно-непрерывные функции своих аргументов (предполагается, что $P_0(0) = P_r(0)$ и $P_0(1) = P_k(0)$).

Рассмотренная здесь одномерная задача фильтрации газированной нефти при конкретных данных доведена до числа, и тем самым определено распределение безразмерного давления и насыщенности нефтяного пласта в разных стадиях фильтрации.

На основе метода сеток система уравнений (1) заменена системой конечно-разностных уравнений следующего вида:

$$\begin{aligned} \rho_{i,j+1} = & \rho_{i,j} + \frac{\tau}{h^2} [\rho_{i,j}^3 (P_{i+1,j} - 2P_{i,j} + P_{i-1,j}) + 0,75\rho_{i,j}^2 (P_{i+1,j} - \\ & - P_{i-1,j}) (\rho_{i+1,j} - \rho_{i-1,j})] \end{aligned} \quad (4)$$

$$\begin{aligned} P_{i,j+1} = & P_{i,j} + \frac{\tau}{h^2} \left[\left[\frac{\mu_n}{\mu_r} (1 - \rho_{i,j})^2 + \rho_{i,j}^3 \right] \times \right. \\ & \times [P_{i,j} (P_{i+1,j} - 2P_{i,j} + P_{i-1,j}) + 0,25(P_{i+1,j} - P_{i-1,j})^2] + \\ & + 0,25P_{i,j} (P_{i+1,j} - P_{i-1,j}) (\rho_{i+1,j} - \rho_{i-1,j}) \times \\ & \times \left. \left[2 \frac{\mu_n}{\mu_r} (\rho_{i,j} - 1) + 3\rho_{i,j}^2 \right] \right] \quad (5) \\ i = & 1, 2, \dots, M-1 \end{aligned}$$

$h = \frac{1}{M}; \tau = \frac{1}{N}$, где M и N — целые положительные числа, большие единицы; $P_{i,j}$ и $\rho_{i,j}$ являются, соответственно, приближенными значениями давления и насыщенности в узлах сетки, т. е.

$$P_{i,j} \approx P(ih, j\tau), \quad \rho_{i,j} \approx \rho(ih, j\tau);$$

h и τ — шаги сетки, соответственно, по x и по t .

При помощи рекуррентных формул (4), (5) легко вычисляются

$P_{i,j+1}$ и $\rho_{i,j+1}$ ($i = 1, 2, \dots, M-1$), если известны

$$P_{i,j} \text{ и } \rho_{i,j} (i = 0, 1, 2, \dots, M).$$

Значения $P_{0,j}$ и $P_{M,j}$ заданы граничными условиями (2), именно:

$$P_{0,j} = P_r(j\tau) \text{ и } P_{M,j} = P_k(j\tau) (j = 0, 1, 2, \dots).$$

Для вычисления $\rho_{0,j+1}, \rho_{M,j+1}$ можно пользоваться, соответственно, формулами:

$$\rho_{0,j+1} = \rho_{0,j} + \frac{\tau}{h^2} [\rho_{0,j}^3 (P_{2,j} - 2P_{1,j} + P_{0,j}) + 0,75(P_{2,j} - P_{0,j})(\rho_{2,j} - \rho_{0,j})]; \quad (6)$$

$$\begin{aligned} \rho_{M,j+1} = & \rho_{M,j} + \frac{\tau}{h^2} [(P_{M,j} - 2P_{M-1,j} + P_{M-2,j}) \rho_{M,j}^3 + \\ & + 0,75(P_{M,j} - P_{M-2,j}) (\rho_{M,j} - \rho_{M-2,j})]; \\ j = & 0, 1, 2, \dots \end{aligned} \quad (7)$$

Для расчета было принято:

$$\left. \begin{aligned} P_r(t) &= 1; & P_k(t) &= 10, & (0 \leq t \leq \infty) \\ P_0(x) &= 10; & (0 < x < 1) \\ \rho_0(x) &= 1 & (0 < x < 1) \\ \frac{\mu_n}{\mu_r} &= 10^2; & h &= 10^{-1}; & \tau &= 10^{-4}. \end{aligned} \right\} \quad (8)$$

Указанной выше методикой данная конкретная задача была решена на машине "Урал-1" в Вычислительном центре Академии наук Азербайджанской ССР.

На основе численного решения одномерной задачи фильтрации газированной нефти на вычислительной машине "Урал-1" найдены распределения давления и насыщенности нефтью пласта в разных стадиях фильтрации которые показаны в виде ряда кривых на рис. 1 и 2.

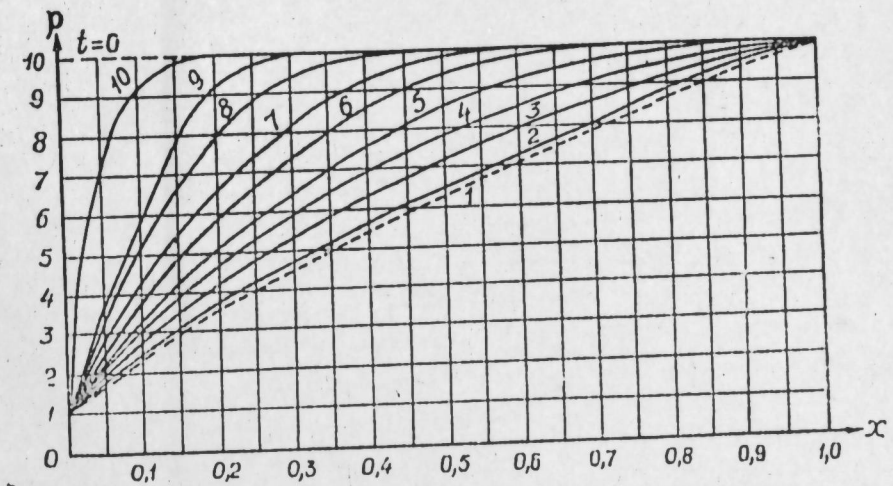


Рис. 1
Кривые распределения давления в пласте.
 $1-t=\infty, 2-t=0,015, 3-t=0,010, 4-t=0,007, 5-t=0,005, 6-t=0,003, 7-t=0,002,$
 $8-t=0,001, 9-t=0,0005, 10-t=0,0001.$

На рис. 1 показаны кривые распределения давления в пласте, в линейном потоке, имеющем начальную нефтенасыщенность, равную 1, с начальным давлением, равным 10; при $x=1$ давление поддерживается равным первоначальному, а при $x=0$ давление мгновенно снижается до 1, после чего оно поддерживается постоянно. На рис. 2 показаны кривые распределения нефтенасыщенности пласта в том же линейном потоке и при тех же условиях.

Как видно из кривых рис. 1 и 2, давление и насыщенность уменьшаются с течением времени, скорость уменьшения постепенно приближается к нулю, так что после $t = 0,015$ процесс практически устанавливается (относительная погрешность при вычислениях не превышает

шает 0,1%). Из этих же графиков также видно, что давление и насыщенность являются монотонными функциями от x -ов.

Замечание. Вычисление $\rho_{0,j}$ и $\rho_{m,j}$ по формулам (6) и (7) показывают, что $\rho_{0,j} = \rho_{1,j}$ и $\rho_{m,j} = \rho_{m-1,j}$. Следует отметить, что это не

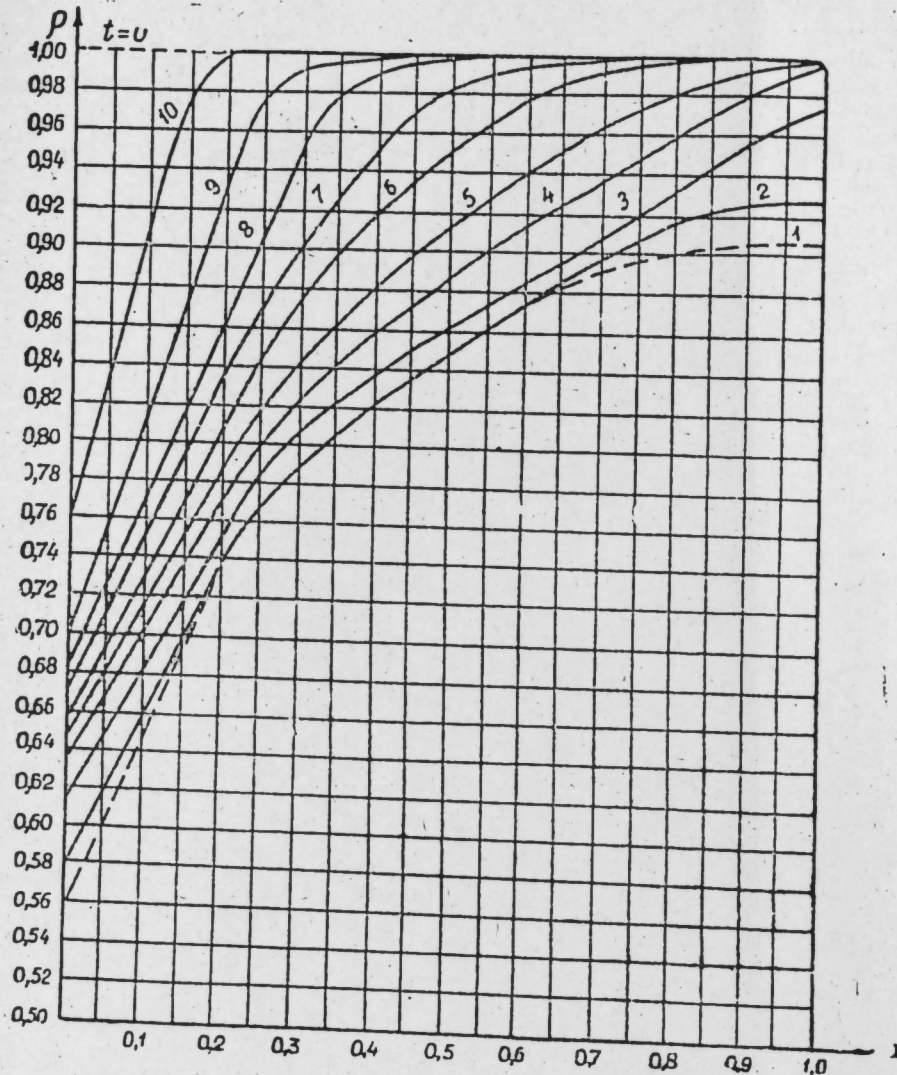


Рис. 2

Кривые распределения нефтенасыщенности в пласте.
 $1-t = \omega$, $2-t = 0,015$, $3-t = 0,010$, $4-t = 0,007$, $5-t = 0,005$, $6-t = 0,003$, $7-t = 0,002$,
 $8-t = 0,001$, $9-t = 0,0005$, $10-t = 0,0001$.

совсем точно, поэтому при составлении графиков нефтенасыщенности, мы не пользовались формулами (6) и (7), а построили графики в интервале $0,1 \leq x \leq 0,9$, затем кривые продолжались по касательному в точке $x = 0,1$ до $x = 0$ и в точке $x = 0,9$ до точки $x = 1$.

Подобная задача решена М. Мускатом [5] также численным путем, только при иных граничных условиях, а именно им вместо условий

$P_k(t)=10$ при $x=1$ принято условие $\frac{\partial P}{\partial x}=0$ при $x=1$.

Пользуясь случаем, хочу выразить признательность директору Вычислительного центра АН Азербайджанской ССР канд. техн. наук С. А. Алекскерову и мл. науч. сотр. Н. Джадаровой за оказанную помочь при проведении вычислений на машине „Урал-1“.

ЛИТЕРАТУРА

1. Мускат М. Физические основы технологии добычи нефти. Гостехиздат, 1953.
2. Халилов З. И. Решение общих задач о неустанавливающихся фильтрациях газированной жидкости. „ДАН Азерб. ССР“, 1954, т. X, № 8.
3. Халилов З. И. Решение задач фильтрации газированной нефти методом сеток. „ДАН Азерб. ССР“, 1956, т. XII, № 4.
4. Щелкачев В. Н. и Лапук Б. Б. Подземная гидравлика. Гостехиздат, 1949.
5. Myskat, M. and Meres M. W. The Flow of Heterogeneous Fluids Through Porous Media, Physics, vol. 7, 1936.

Институт математики и
механики

Поступило 20. XII 1960

Э. М. Ысәенов

Газлы нефтин бирөлчүлү мәсәләсінин „Урал-1“ несаблајычы машинында һәлли

ХУЛАСӘ

Мәгалә газлы нефтин бирөлчүлү әсас мәсәләсінин әдәди һәллине һәср олунур. Газлы нефтин әсас мәсәләси дедикдә, мүәјјән сәрһед вә башланғыч шәртләри дахилиндә нефтли лајда тәзілг— P вә нефтлә дојманын — ρ бүтүн истисмар мүддәтиндә гијмәтләринин тапылмасы нәзәрдә тутулур.

Һәмми мәсәләнин һәлли ријази олараг (2) сәрһед вә (3) башланғыч шәртләри дахилиндә (1) системине һәллине кәтирилир.

Сонлу фәргләр (шәбәкә) үсулу әсасында (1), (2), (3) мәсәләсінин һәлл етмәк үчүн (1) системи (4), (5), (6), (7) сонлу фәрг тәнликләр системи илә әвәз едилмишидир.

„Урал-1“ машинында несабламаны апармаг үчүн (4), (5), (6), (7) тәнликләр әсасында програм тәртиб едилмиш вә конкрет верилмиш (8) шәрти дахилиндә несаблама баша чатдырылыштыр.

Несабламаларын нәтичәсіндә истәнилән вахтда тәзілг вә нефтләдојманын лајда 1 вә 2-чи шәкил әјриләри илә кәстәрилән пајланма ганунлары мүәјјән едилмишидир. 1 вә 2-чи шәклини әјриләриндән мәлум олур ки, тәзілг вә нефтләдојма заман кечдикчә азалып вә азалма сүр'ети кет-кедә сыфра жаҳынлашып ки, бунун да нәтичәсіндә $t=0,015$ олдуғдан сонра процес практики олараг гәрарлашып. Һәмми графикләрдән тәзілг вә нефтләдојманы X -ин монотон функциясы олмасы да көрүнүр.

Несаблама Азәрбајҹан ССР Елмләр Академијасының Һесаблама Мәркәзинин „Урал-1“ машинында апарылыш вә әввәлчәдән мүәјјән етдијимиз бә’зи нәзәри мұлаһизәләр тәсдиғ едилмишидир.

Несабламалар өлчүсүз координатларда апарылдыры үчүн алымыш нәтичәләрдән тәчрүби әһәмијәтті олан бир чох мәсәләләри һәллиндә истифадә олуна биләр.

Ю. Г. МАМЕДАЛИЕВ, М. М. ГУСЕЙНОВ, Д. Д. КИЧИЕВА, С. М. МАМЕДОВ

ПОЛУЧЕНИЕ ГЕКСАХЛОРБЕНЗОЛА ТЕРМИЧЕСКИМ РАСПАДОМ
ПЕРХЛОРУГЛЕРОДОВ

Гексахлорбензол и его производные пентахлортифенол и биспентахлорфенилдисульфид могут быть рекомендованы как пластификаторы. Кроме того, дериваты гексахлорбензола используются в сельском хозяйстве как фунгициды, протравители, гербициды, дефолианты листьев хлопчатника, антисептики древесины и т. д. [2].

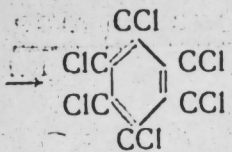
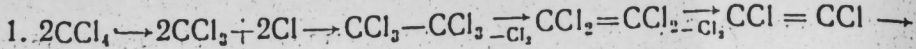
Из существующей литературы известно, что гексахлорбензол предпочтительно производят на базе хлорирования бензола и полихлорбензолов в присутствии различных катализаторов [1, 3].

Не меньший интерес представляет синтез хлорсодержащих ароматических соединений на основе алканов и хлоралканов. Хотя в литературе нет подобных сообщений по этому вопросу, однако существуют лабораторные данные о возможности синтеза гексахлорбензола хлорированием гексана в кипящем слое катализатора. Было выяснено, что при температурах 400—450° С, при молярном соотношении *n*-гексана к хлору, равном 1:14, выход гексахлорбензола доходит до 80% [6].

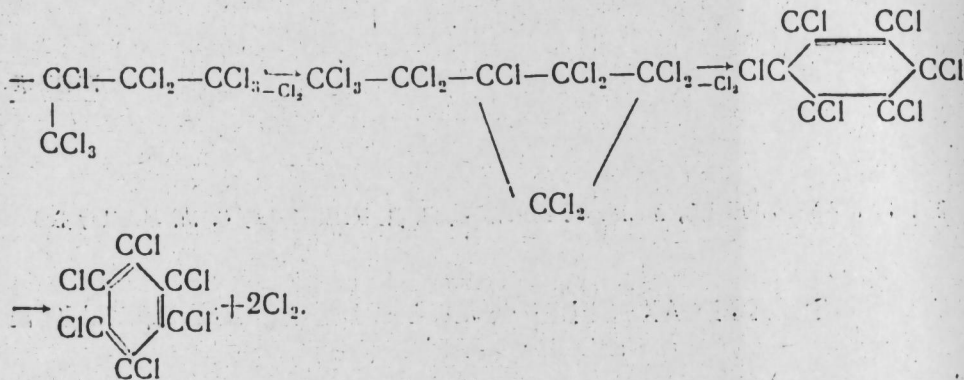
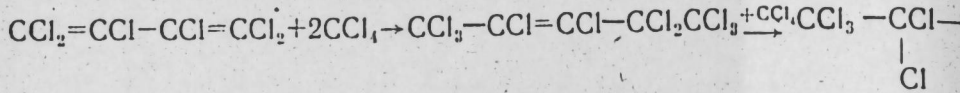
С целью выяснения механизма образования циклов при хлорировании алканов и алkenов нами, наряду с прямым хлорированием соответствующих углеводородов, проводилось также некоторое превращение синтезированных хлоруглеродов.

В предыдущих работах [5] выяснено, что при хлорировании алканов и алkenов протекают реакции дегидрохлорирования и дехлорирования, в результате чего образуются хлоруглероды непредельного и циклического строения.

В данном исследовании использованные компоненты состояли только из углерода и хлора, в результате реакции дехлорирования и комбинации радикалов, образовавшихся в системе, был получен перхлоруглерод с большим количеством углеродных атомов в молекуле, чем в исходных соединениях. Процесс протекал, по-видимому, по схеме:



2. В случае гексахлорбутадиена и четыреххлористого углерода:



Исходя из конечного продукта реакции, можно предположить, что из образовавшихся в реакционной зоне радикалов:

CCl'_3 , $\text{CCl}'_2\text{CCl}'_1$ и $\text{CCl} = \text{CCl} = \text{CCl}$ — самые устойчивые $\equiv \text{CCl}$ и $= \text{CCl} = \text{CCl}$.

Нами был изучен термический распад целого ряда перхлоруглеродов: в настоящем сообщении приводятся данные распада гексахлорбутадиена и четыреххлористого углерода и их совместное превращение.

В качестве исходного сырья были использованы гексахлорбутадиен, полученный нами хлорированием бутана в кипящем слое, и четыреххлористый углерод со следующими константами:

$\text{CCl}_4 - n_D^{20} - 1,4630$, $d_4^{20} - 1,5945$, темп. кип. $- 77^\circ\text{C}$

Литературные данные [7] $- n_D^{20} - 1,46305$, $d_4^{20} - 1,595$, темп. кип. $- 76,8^\circ\text{C}$

$\text{C}_4\text{Cl}_6 - n_D^{20} - 1,5540$, $d_4^{20} - 1,6818$, темп. кип. $- 213^\circ\text{C}$

Литературные данные [4] $- n_D^{20} - 1,5542$, $d_4^{20} - 1,6820$, темп. кип. $- 215^\circ\text{C}$.

Термический распад перхлоруглеродов проводился на лабораторной установке проточного типа.

Смесь четыреххлористого углерода и гексахлорбутана из burette Балландинна с определенной объемной скоростью пропускалась через полую кварцевую трубку диаметром 20 мм, нагретую на протяжении 500 мм до необходимой температуры. Катализат собирался в змеевиковом холодильнике, охлаждаемом льдом.

Кристаллы гексахлорбензола, образовавшиеся на стеклах реактора по выходе из реакционной зоны и в конденсационной системе, извлекались бензолом.

Было изучено влияние температуры, соотношения реагирующих компонентов и скорости подачи сырья на выход гексахлорбензола.

Условия, материальный баланс и результаты фракционированных разгонок катализаторов представлены в табл. 1.

Термический распад смеси исходных перхлоруглеродов осуществлялся при различных температурах в пределах 500—800° С.

Наилучшие результаты были достигнуты при температурном режиме 750° С, скорости подачи сырья 15 г/ч, при молярном соотношении реагирующих компонентов 1 : 1, причем выход гексахлорбензола достигал 54%. На взятый гексахлорбутадиен. Повышение температуры

Таблица 1
Результаты пиролиза смеси перхлоруглеродов в кварцевой трубке проточной системы

Условия опыта: молекулярное соотношение $\text{CCl}_4 : \text{C}_4\text{Cl}_6 = 1:1$, скорость подачи смеси 15 г/ч, взято в реакцию $\text{CCl}_4 - 19,2$ г, $\text{C}_4\text{Cl}_6 - 33$ г.

Характеристика	# опыта						
	7	8	13	20	17	18	39
Температура, °С	500	550	600	650	700	750	8000
Продолжительность, ч	3,30	3,35	3,25	3,50	3,45	3,35	3,3
Получено после реакции, г							
Катализат	48,8	46,5	39,0	38,2	35,1	34,15	25,3
Хлор		1,5	7,0	13,0	16,0	17,9	11,5
Потери	3,4	4,2	6,2	1,0		0,15	
Состав катализата, вес. %							
Четыреххлористый углерод	36,0	34,2	25,1	23,3	19,4	18,7	34,3
Гексахлорбутадиен	58,0	55,5	41,2	30,0	17,9		
Гексахлорбензол	—	3,2	17,9	34,0	45,0	52,4	45,4*
Тетрахлорэтilen	—	0,5	2,8	3,0	3,5	10,0	8,9
Гексахлорэтан	—	—	—	6,1	6,5	10,0	10,2
Пром. фр.	0,6	0,6	0,8	0,6	2,0	1,3	—
Остаток	4,5	4,0	9,0	1,4	3,4	5,0	—
Потери	0,9	2,0	3,2	1,6	2,3	2,4	1,4
Вход гексахлорбензола на взятый гексахлорбутадиен	—	4,5	21,2	40,0	48,4	54,0	34,6

Кристаллы темные, много угля, темп. пл. $- 220^\circ\text{C}$.

выше оптимальной (800°C) вызывает снижение выхода целевого продукта, что можно объяснить деструкцией перуглеродов, при этом наблюдалось сильное обугливание и интенсивное выделение хлора.

Необходимо отметить, что при термическом распаде смеси исходных перхлоруглеродов при 500°C образования гексахлорбензола не происходит.

Затем при найденной нами оптимальной температуре 750°C были поставлены опыты с изменением соотношения реагирующих компонентов и скорости подачи сырья.

Результаты этих опытов отражены в табл. 2.

Данные табл. 2 показывают, что при уменьшении соотношения четыреххлористого углерода к гексахлорбутадиену 2:1 до 0,5:1 происходит заметное уменьшение выхода гексахлорбензола на взятый гексахлорбутадиен от 57,5 до 44,8%.

Таблица 3

При увеличении скорости подачи сырья до 30 г/ч, при прочих идентичных условиях происходит незначительное уменьшение выхода целевого продукта.

Таблица 2

Характеристика	№ опыта					
	31	42	24	18	25	28
Температура, °С	750	750	750	750	750	750
Молекулярное соотношение реагирующих компонентов	—	—	0,5:1	1:1	2:1	1:1
Скорость, г/ч	15,0	15,0	15,0	15,0	15,0	30,0
Продолжительность, ч	2,20	3,08	3,0	3,35	4,15	1,50
Взято в реакцию, г	—	—	—	—	—	—
Четыреххлористый углерод	—	60,0	9,7	19,2	38,4	19,2
Гексахлорбутадиен	29,0	—	33,0	33,0	33,0	33,0
Получено, после реакции, г	—	—	—	—	—	—
Катализат	17,1	41,1	27,8	34,15	52,2	34,65
Хлор	11,5	0,9	14,8	17,9	19,0	17,25
Потери	1,9	—	0,1	0,15	0,2	0,3
Состав катализата, вес. %	—	—	—	—	—	—
Четыреххлористый углерод	13,3	52,8	16,5	18,7	27,2	—
Гексахлорбутадиен	—	—	—	—	—	—
Гексахлорбензол	55,0	2,2	53,2	52,4	36,3	49,4
Тетрахлорэтилен	18,1	17,2	9,3	10,0	1,9	—
Пром. фр.	3,3	1,9	2,5	1,3	0,7	—
Остаток	8,1	20,3*	2,5	5,0	—	—
Потери	2,2	0,6	2,9	2,4	0,9	—
Гексахлорэтан	40,0	—	13,1	10,0	33,0	—
Выход гексахлорбензола на взятый гексахлорбутадиен	40,0	—	44,8	54,2	57,5	52,2

* Неперегоняемый остаток — кристаллический с точкой плавления — 186°C

С целью изучения индивидуального поведения перхлоруглеродов были поставлены опыты с каждым из исходных компонентов при найденных оптимальных условиях, данные которых сведены в табл. 3.

Из табличных данных следует, что сам четыреххлористый углерод при температуре, соответствующей максимальному выходу гексахлорбензола, дает весьма незначительное количество последнего (2,2%), тогда как пиролиз гексахлорбутадиена в аналогичных условиях приводит к образованию гексахлорбензола порядка 40%.

При сравнении данных пиролиза смеси указанных перхлоруглеродов с данными пиролиза чистого гексахлорбутадиена видно, что наличие в смеси четыреххлористого углерода способствует значительному увеличению выхода целевого продукта, который достигает 54%.

Для полученного гексахлорбензола были определены нами следующие константы: молекулярный вес, точка плавления, % содержания хлора, которые почти совпадают с данными, имеющимися в литературе.

Темп. пл. — 227°C, M — 284, % содержания Cl — 75,8_{найд.}, 74,7_{теорет.}

Таким образом, изучены условия синтеза гексахлорбензола при термическом распаде гексахлорбутадиена и четыреххлористого углерода и выведены некоторые предположения о механизме образования ароматического цикла.

Характеристика	№ опыта				
	11	33	34	31	36
Температура, °С	600	650	700	750	800
Скорость, г/ч	15,0	15,0	15,0	15,0	15,0
Продолжительность, ч	4,0	2,10	2,16	2,02	2,10
Взято в реакцию, г	—	—	—	—	—
Гексахлорбутадиен	65,3	33,0	33,0	29,0	33,0
Получено, после реакции, г	—	—	—	—	—
Катализат	60,0	16,9	19,3	17,1	17,0
Хлор	—	5,0	10,0	11,5	14,0
Потери	—	—	3,7	1,9	2,0
Состав катализата, вес. %	—	—	—	—	—
Четыреххлористый углерод	—	7,4	26,4	13,3	—
Гексахлорбутадиен	92,2	56,6	10,8	—	—
Гексахлорбензол	—	22,8	51,8	55,0*	82,3*
Тетрахлорэтилен	—	—	—	18,1	—
Пром. фр.	—	—	2,5	3,3	—
Остаток	5,0	10,5	6,6	8,1	—
Потери	2,8	2,7	2,9	2,2	—
Выход гексахлорбензола на взятый гексахлорбутадиен	—	15,1	30,3	40,0	42,4

* Начиная с 700°C, образуются темные кристаллы, много угля, особенно при 800°C.

ЛИТЕРАТУРА

- Безобразов Ю. Н., Молчанов А. Б., Гар К. А. Гексахлоран. Госхимиздат, М., 1958.
- Вольфович С. И., Роговин З. А. и др. Общая химическая технология, т. II. Dells, Zwischenprodukte, 253.
- Ворожцов Н. Н. Основы синтеза промежуточных продуктов и красителей. Госхимиздат, М., 1955.
- Коган Л. М. Усп. хим., т. XXVIII, вып. 2, 1959.
- Мамедалиев Ю. Г., Гусейнов М. М. Международный конгресс по катализу во Франции, т. 122, 1960.
- Отчет лаборатории органического синтеза ИНХП АН Азерб. ССР за 1959 г.
- Handbook of Chemistry and Physics. Published by Chemical Rubber Publishing Co.

Институт нефтехимических процессов

Поступило 15. X 1960

Ж. И. Мамедалиев, М. М. Гусейнов, Д. Д. Кичиева, С. М. Мамедов

Дөрдхлорлу карбонун термики парчаланмасы иәтичәсинде һексахлорбензолун алынмасы

ХУЛАСЭ

Карбон вә хлордан ибарәт олан һексахлорбензол халг тәсәррүфатының мұхтәлиф саңаләрнәдә кениш сурәтдә тәтбиг олунур. Һексахлорбензолун түкәнмәз еңтијат мәнбәйинә малик олан алканларын әсасында алынмасы чох әльверишилди.

Апардығымыз тәдгигат да һексахлорбутадиен вә дөрдхлорлу карбон әсасында һексахлорбензолун синтезинә һәср әдилмишdir. Тәдгигатын иәтичәләри көстәрир ки, һексахлорбутадиенлә дөрдхлорлу карбонун бирликтә термики парчаланмасы 55% һексахлорбензол иерид.

Беләликлә, мүәյҗән әдилмишdir ки, һексахлорбутадиен вә дөрдхлорлу карбон айры-айрылығда термики парчаландығда һексахлорбензолун чыхымы ошларын гарышығындаң дафәләрлә аз олур.

ГАЗЫМА

А. Э. ШӘМСИЈЕВ

ГАЗЫМА ЗАМАНЫ ГУЈУ ДИВАРЫНЫН КИЛ ҺИССӘСИНИН
ПЛАСТИК ДЕФОРМАСИЈАДАН СОНРА ИСЛАНМАСЫ

(Азәрбајчан ССР ЕА академији С. М. Гулијев тәгдис етмешдир)

Габагы ишдә¹ көстәрилмишиди ки, гују диварыны тәшкүл едән килләр еластик деформасија вәзијјәтиндә оларкән тәбии нәмлијә гарышы исланимаг имканына малик дејилдир.

Бу мәгаләдә гују диварыны тәшкүл едән килләрин пластик деформасија уфрадыгдан сонра исланмалары мәсәләси шәрһ едилир.

Јер сәттиндәк Z дәринликдә јатан кил лајларында ашағыдақы кәркинилеклер олур:

$$\xi\sigma_z = \sigma_x = \sigma_y = -\xi\gamma_n Z \quad (1)$$

Бурада: ξ —лабораторија шәрәтиндә тапылмыш јан тәзјиг әмсалы;
 δ_z —шагули нормал кәркинилек;
 δ_x, δ_y —үфги нормал кәркинилекләрdir.

Килләрин әсас механики хассәләриндән бири дә кәркинилүүн релаксасијасыдыр ки, бу да әмәлә кәлән тохунан кәркинилүүн гијмәтийин сүрүшмәдә ахма һәдди K -дан бејүк олана баш верир. Буна көрә тәбииндир ки,

$$\tau = \frac{\sigma_z - \sigma_x}{2} = K \quad (2)$$

шәртиндән тапылмыш Z_1 дәринилийиндән ашағы килли сүхурларда релаксасија сүхурларын чөкмә вахты чох бејүк олдуғу үчүн гурттармышдыр вә шагули илә үфги кәркинилекләр бәрабәрләшмишдир. (2) ифадәси Z_1 дәринилийи үчүн ашағыдақы гијмәти верир:

$$Z_1 = \frac{2K}{(1-\xi)\gamma_n} \quad (3)$$

¹ А. А. Шамсиев. Об увлажнении пород при проводке скважины. АНХ, 1960, № 6.

Бурада γ_n —јухарыда жатан сүхурларын орта хүсуси чәкисидир. Мәсәлән, $\xi=0,8$ вә $K=40 \text{ кг}/\text{см}^2$ олан кил үчүн $Z_1=1740 \text{ м}$. Демәли, Z_1 дәрениликдән ашағыда кәркинилукләр белә олачаглар ($\xi=1$):

$$\sigma_x = \sigma_y = \sigma_z \quad (4)$$

$Z < Z_1$ дәрениликдә жатан килләрдә гују газылдыгдан соңра ашағыдақы кәркинилукләр алыначагдыш:

$$\left. \begin{aligned} R_r &= (\xi \gamma_n - \gamma_p) Z \frac{r_c^2}{r^2} - \xi \gamma_n Z \\ \theta_0 &= -(\xi \gamma_n - \gamma_p) Z \frac{r_c^2}{r^2} - \xi \gamma_n Z \\ Z_z &= -\gamma_n Z \end{aligned} \right\} \quad (5)$$

Бурада: R_r , θ_0 , Z_z —мұвағиг оларал радиал, танкенсаал вә шағули нормал кәркинилукләр; $\xi \gamma_n Z$, $\gamma_p Z$ —дағ сүхурунун жан тәзілги вә јујучу маєнин тәзілги;

r_c , r —гујунун вә бахылан елементті радиусларыдыр. Эн бөйк тохунаң кәркинилүү гијмәти ашағыдақы кими тапсылыр:

$$\tau = \frac{\theta_0 - Rr}{2} = -(\xi \gamma_n - \gamma_p) Z \frac{r_c^2}{r^2} \quad (6)$$

$\tau < K$ олдугда, еластик деформасия иәтичесинде дағылмајан пластик килләр пластик деформасияда уғрајараг, гујунун ичәрисине докру аха-чаглар. Пластик деформасия $\tau = K$ олдугда гурттарачагдыш.

Әкәр (6) ифадәсисинде τ әвәзиңдә K язсаг пластик деформасия са-һесиннен радиусуну тапарыг:

$$r'_1 = \sqrt{\frac{(\xi \gamma_n - \gamma_p) Z}{K}} r_c \quad (7)$$

Бу һалда гујунун радиусы

$$\Delta r = r_c \frac{(\xi \gamma_n - \gamma_p) Z}{2G}$$

гәдәр кичиләчәкдир ки, бу да газыма заманы бә'зән аләттін тутулма-сына вә аләттін ендирilmәси заманы даралмыши јерләрин кенишләндирilmәси мәчбурийетинә сәбәб олур.

Пластик деформасиядан соңра r'_1 радиусу саһәдә сүхурдақы кәр-кинилукләр ашағыдақы кими олур:

$$\left. \begin{aligned} R'_r &= (\xi \gamma_n - \gamma_p) Z \frac{r_c'^2}{r^2} - \xi \gamma_n Z \\ \theta'_0 &= \xi \gamma_n - \gamma_p Z \frac{r_c'^2}{r^2} - \xi \gamma_n Z - 2K \\ Z'_z &= -\gamma_n Z \end{aligned} \right\} \quad (8)$$

бурада: $r'_c = r_c - \Delta r$

Бу заман радиал кәркинилук— $\xi \gamma_n Z$ кәркинилүүндән $- (\xi \gamma_n - \gamma_p) Z \frac{r_c'^2}{r^2}$ гәдәр аз олур.

Радиал кәркинилүүн азалмасы килин исланмасы вә она көрә дә шишишмәсінә сәбәб олур.

r'_1 радиусу вә узунлугу вәнидә бәрабәр олан кил күтләсінин ис-ланмасы үчүн лазым кәлән сујун мигдары ашағыдақы ифадәдән тапы-лыр:

$$Q_1 = -2\pi Z r_c'^2 C_1 (\xi \gamma_n - \gamma_p) \int_{r_c}^{r'_1} \frac{dr}{r} = -2\pi Z r_c'^2 C_1 (\xi \gamma_n - \gamma_p) \ln \sqrt{\frac{(\xi \gamma_n - \gamma_p) Z}{K}} \quad (9)$$

Бурада C_1 — вәнид һәчмин, кәркинилук бир вәнид азаларкән, шишишмәсі үчүн лазым кәлән сујун мигдарыдыр (σ_x илә R_r арасында-кы орта гијмәт).

Танкенсаал кәркинилук ашағыдақы кими дәжишир.

Радиус

$$r_1 = \sqrt{\frac{(\xi \gamma_n - \gamma_p) Z}{2K}} r'_c$$

олан саһәдә танкенсаал кәркинилук— $\xi \gamma_n Z$ -дән

$$-(\xi \gamma_n - \gamma_p) Z \frac{r_c'^2}{r^2} + 2K \quad r_1 > r > r'_c$$

гәдәр аздыр ки, бу да килин шишишмәсінә сәбәб олачаг. Килин шиши-мәсі үчүн лазым олан сујун мигдары:

$$\begin{aligned} Q_2 = 2\pi Z C_1 [2K \int_{r_c}^{r'_1} r dr - (\xi \gamma_n - \gamma_p) r_c'^2 \int_{r_c}^{r'_1} \frac{dr}{r}] &= 2\pi Z C_1 [K(r_1 - r'_c)^2 - \\ &- (\xi \gamma_n - \gamma_p) r_c'^2 \ln \sqrt{\frac{(\xi \gamma_n - \gamma_p) Z}{2K}}] \end{aligned} \quad (10)$$

r_1 -дән r'_1 -ә гәдәр танкенсаал кәркинилук— $\xi \gamma_n Z$ -дән

$$(\xi \gamma_n - \gamma_p) Z \frac{r_c'^2}{r^2} - 2(\xi \gamma_n Z + K)$$

гәдәр аздыр ки, бу да килин ашағыдақы гәдәр су вермәсінә сәбәб олачагдыш:

$$\begin{aligned} Q_3 = 2\pi Z C_2 (\xi \gamma_n - \gamma_p) r_c'^2 \int_{r'_c}^{r'_1} \frac{dr}{r} - 4\pi C_2 (\gamma_n Z + K) \int_{r'_c}^{r'_1} r dr &= 2\pi C_2 (\xi \gamma_n - \\ &- \gamma_p) r_c'^2 \ln \frac{r'_1}{r'_c} - 2\pi C_2 (\gamma_n Z + K) (r_1'^2 - r_c'^2) \end{aligned} \quad (11)$$

Бурада: C_2 —вәнид һәчмин, кәркинилук бир вәнид артаркән, сыйыш-дырылан сујун мигдарыдыр (θ_0 -дан σ_y гәдәр орта гијмәт).

Танкенсаал кәркинилүү дәжишимәсі иәтичесинде килин шишишмәсі үчүн лазым олан сујун мигдары

$$Q_4 = Q_2 - Q_3$$

олачагдыш.

Кил шишидикдән соңра, гујунун радиусы кичилиб ашағыдақы гиј-мәти алачагдыш.

$$r'_c = \sqrt{r_c'^2 - \frac{Q_1 + Q_4}{\pi}} \quad (12)$$

Z_1 дәрнүлилдән ашагы кәркииликләри вә сујун мигдары юхарыда көстәрилән формулларда $\xi=1$ гәбул едиләрәк тапылыр.

Газыма заманы гују дивары ишләниркән онун радиусу r_c' -дән r_c гәдәр бөјүдүлүр, бу исә пластик деформасија сәһәси радиусунун бөјүмәсинә сәбәб олур. Нәтичәдә јени киң күтләси пластик деформасија вә шишишмәје мә'рүз галып ки, бу да гују диварының јенидән даралмасына сәбәб олур. Бундан әlavә килин исламасы, онун сүрүшмәдә ахмаһадди K гијмәти кичилир, бу исә өз нөвбәсииндә пластик деформасија сәһәси радиусунун бөјүмәсинә вә гују көвдәсииниң әlavә даралмасына сәбәб олур.

Гују газыларкән баш верән бир сырға чәтииликләр бу мәгаләдә көстәрилән сәбәбләрдән баш верә биләр.

Нәтичәдә гејд едәк ки, C_1 вә C_2 гијмәтчә чох кичик кәмијјәт олдуғундан, гују көвдәсииниң даралмасында килләрин исламасы бөյүк рол ојнамыр, әсас ролу ојнајан билаваситә пластик деформасијаның өзүдүр.

Нефт вә Газ Жатагларының
Ишләймәси Институту

Алымышдыр 17. XII 1960

А. А. Шамсиев

Увлажнение глинистой части стенок скважины при бурении в результате пластической деформации

РЕЗЮМЕ

Было сообщено, что глинистые породы, подверженные упругой деформации, в условиях стенок скважины лишены возможности увлажнения.

В настоящей статье показано, что после пластической деформации появляется возможность увлажнения глины, дается расчет количества воды, необходимого для набухания, а также сужения ствола скважины в результате пластической деформации.

ГЕОЛОГИЯ

А. К. ГЮЛЬ

О ПРИРОДЕ ФИЗИКО-МЕХАНИЧЕСКИХ СВОЙСТВ ГЛИН АПШЕРОНСКОГО ЯРУСА (НА ПРИМЕРЕ АПШЕРОНСКОГО ПОЛУОСТРОВА)

(Представлено академиком АН Азербайджанской ССР Ш. Ф. Мехтиевым)

Располагаясь на значительной части Апшеронского полуострова, за исключением его северо-западного района, глины апшерона служат основаниями крупнейших промышленных и гражданских сооружений Баку и его пригородов. Толщи апшеронских глин прорезают подземные трассы метро и нефте-газо-водопроводных магистралей. На глинах апшерона покоятся нефтепромысловые площади, через них проходят канавы сбросных вод, стволы буровых скважин. Их же используют для глинистых растворов, в кирпичном производстве, разрабатывая с этой целью карьерные выемки. Слоны Бакинского амфитеатра, сложенные апшеронскими глинами, подвержены оползневым процессам, причинявшим большой ущерб городскому хозяйству. Отсюда вполне понятен интерес к инженерно-геологическим свойствам апшеронских глин, к их поведению в условиях различной среды, под сооружением. Кроме того, освещение указанных особенностей глин целесообразно ввиду отсутствия публикаций, посвященных изучению природы физико-механических свойств глин апшеронского яруса¹. Пылеватые, реже песчанистые разности представляют основную массу глинистых пород апшерона. степень дисперсности которых изменяется в широких пределах от суглинков до тонкоотмученных глин (табл. 1).

Фациальная изменчивость их состава связана с депрессионными слабо возвышенными участками древней поверхности апшерона.

Исследования зависимости гранулометрического состава глин от глубины залегания обнаружили генетическую связь с условиями осадко-

¹ За исключением исследования набухания глин в частном случае, выполненного еще С. Е. Башинджагяном в довоенное время [1].

накопления, а не с измеряемой мощностью разреза. Интенсивные органические процессы ашеронского века способствовали переуплотнению осадков ашерона при одновременном доупрочнении их структурных связей в ходе [7] их седиментации (табл. 2).

Наибольшие величины плотности глин приурочены к зонам наибольших тектонических напряжений обычно в местах перегиба складок. Отклонения от указанной закономерности могут быть объяснены иными условиями залегания пород, в частности, дислокационной дислоцированностью глин.

Таблица 1

Средние и крайние значения гранулометрического состава и пластичности глин Ашерона

Значения 30 определений	Фракции, %			Верхний предел, %	Нижний предел, %	Числа пластич- ности
	Песок	Пыль	Глина			
Минимум	0,00	18,00	18,00	31	18	13
Среднее	9,89	39,83	43,20	45	22,8	21,5
Максимум	35,00	59,00	81,00	60	30	30

Таблица 2

Крайние и средние значения удельных весов и плотности глин

Значения 30 определений	Удельный вес, г/см ³	Объемный вес, г/см ³		Пористость, %	Коэффициент пористости	Показатель уплотненности
		влажный	сухой			
Минимум	2,70	1,81	1,50	29	0,405	0,54
Среднее	2,76	2,04	1,67	40	0,664	0,96
Максимум	2,80	2,19	1,92	46	0,870	1,38

Влажность ашеронских глин колеблется в довольно широких границах вблизи земной поверхности (табл. 3), становясь стабильной на глубине 15—20 м. Попеременное высыхание и увлажнение глин

Таблица 3

Крайние и средние значения влажностей глин Ашерона

Значения 30 определений	Естественная влажность, %	Коэффициент водонасыщенности	Полная влагоемкость, %	Максимальная молекулярная влагоемкость, %
				влагоемкость, %
Минимум	13,48	0,58	15,00	19,00
Среднее	23,19	0,93	24,21	23,90
Максимум	30,8	1,00	30,52	32,00

вызывает резкое разуплотнение, а вместе с тем и понижение их прочности. Обводненность склонов, сложенных глинями ашерона, вызывает возникновение оползневых процессов [8]. Высокая степень водонасыщенности ашеронских глин при малых значениях влажности, равно как и величины полной влагоемкости, объясняются их большой

плотностью (табл. 3). Определения максимальной молекулярной влагоемкости дали результаты, соответствующие слабой гидрофильности, а также и степени дисперсности глин (табл. 3). Несколько повышенные значения их в некоторых случаях объясняются привносом монтмориллонита за счет соседних пепловых толщ в период образования осадка. Естественная влажность ашеронских глин иногда оказывается ниже их максимальной молекулярной влагоемкости, что незамедлительно сказывается на их водопрочности.

Названные величины глин обнаруживают пропорциональную взаимосвязь с числами их пластичности (см. табл. 1). Однако эта пропорциональность подавляется жесткостью структурных связей глин и их плотностью. Невысокие показатели пластичности глин ашерона соответствуют слабой гидрофильности гидрослюдистого состава их минералов, что связано также и с малой емкостью поглощающего комплекса глин [4], равно как и с ограниченным содержанием обменных оснований (табл. 4).

Таблица 4

Крайние и средние значения анализа обменных катионов

Значения 30 определений	мг/экв			Емкость поглощения по сумме, экв
	Ca	Mg	Na+K	
Минимум	5,5	3,75	3,90	19,59
Среднее	7,49	7,54	7,71	20,65
Максимум	11,75	10,25	10,25	28,24

Удельные веса глин соответствуют их минералогическому составу (табл. 2), закономерно увеличиваясь в глубь яруса и по простиранию пластов в юго-восточном направлении.

Согласно исследованиям в глинах ашерона наибольшим распространением пользуется карбонат кальция (табл. 5). При этом количества карбоната мигрируют в верхних горизонтах породы, приобретая книзу более или менее постоянный характер.

Таблица 5

Крайние и средние значения карбонатности, щелочности и окислительно-восстановительного потенциала среды

Значения 30 определений	Карбонатность, %	pH	Eh, мв
Минимум	2,4	6,7	4,0
Среднее	9,5	7,73	87,43
Максимум	18,0	8,88	178,0

Порода ашеронских глин представлена пелитовым агрегатом, в массе которого в различном количестве присутствуют равномерно распределенные микрозернистые, реже пятнистые образования кальцита. Зна-

чительным распространением пользуются чешуйки и листы гидрослюдь, иногда имеющие ориентированное расположение, обусловливающие микроориентированную текстуру пород. Из терригенных примесей в глине содержатся мелкие зерна кварца, полевых шпатов, роговой обманки, слюды и хлорита, пирита. Отмечается растительный детрит и углефицированные участки. Термические исследования апшеронских глин выявили гидрослюдистый характер как тонкодисперсной фракции, так и всей породы в целом [7]. Электронно-микроскопические и иммерсионные методы, изучение глин также показали их принадлежность к гидрослюдистому типу с эпизодической примесью монтмориллонита, бендиолита, каолинита [9]. В целом, согласно силикатному анализу, апшеронские глины характеризуются совокупностью алюмосферрисиликатов с участием в их решетке щелочных и щелочно-земельных металлов. Изучение состава водорастворимых минералов выявило преимущественно хлоридно-натриевый характер засоленности глин (табл. 6).

Щелочность глинистых сред, а также величины электролитического потенциала, судя по присутствию закисно-окисных соединений и углеводородов, свидетельствуют об окислительно-восстановительной [2] обстановке периода седиментации глин апшерона (табл. 5).

Таблица 6
Крайние и средние значения результатов анализа водорастворимых солей Апшерона

Значения 30 определений	В г на 100 г породы					Сухой остаток при 105°C, г	
	Na + K	Ca	Mg	Cl	SO ₄		
Минимум	0,034	0,018	0,003	0,014	0,036	0,018	0,19
Среднее	0,46	0,11	0,03	0,691	0,36	0,043	1,67
Максимум	1,60	0,35	0,069	2,63	1,433	0,085	4,40

В соответствии с перечисленными физико-химическими особенностями глин оказались и их показатели механической и водной прочности. Глины апшеронского яруса в состоянии естественной влажности и ненарушенной структуры являются слабо-, либо средненабухающими и неразмокаемыми (табл. 7).

Таблица 7

Средние и крайние значения набухания глин Апшерона

Значения 60 определений	%		
	Дистиллированная вода	Шолларская вода	Морская вода
Минимум	1,50	0,75	0,20
Среднее	11,02	8,63	8,22
Максимум	23,60	23,35	19,50

Прочность цементационных связей, высокая плотность, а порой и эпигенетическая переуплотненность глин обуславливают их высокую сопротивляемость [5, 7] сдвигу (табл. 8) и сжатию (табл. 9).

Механическая прочность глин растет с увеличением плотности, карбонатности, засоленности, содержания полуторных окислов в породе.

Увлажнение глин, сопровождаемое набуханием, в несколько раз понижает их прочность (табл. 8, 9), а последующее уплотнение либо ограничение объема глин при водонасыщении ослабляет разрушающую силу влаги. Выветривание глин уменьшает их прочность при нарушении

Таблица 8

Средние и крайние значения сопротивления сдвигу глин Апшеронского яруса

Значения 60 определений	I схема, при естественной влажности		II схема, после свободного набухания		III схема, уплотненные после свободного набухания		IV схема, пасты	
	φ	C	φ	C	φ	C	φ	C
Минимум	12°10'	1,30	9°30'	0,17	12°41'	0,28	9°15'	0,28
Среднее	24°00'	1,59	20°38'	0,49	23°27'	0,81	11°53'	0,75
Максимум	35°00'	3,40	27°43'	1,73	30°12'	1,61	15°00'	1,08

Таблица 9

Средние и крайние значения сжимаемости глин Апшерона с ограничением объема

Значения 40 определений	I схема, при естественной влажности		II схема, после свободного набухания		III схема, с ограничением объема		IV схема, пасты	
	E $\frac{м.м}{м}$	a $\frac{с.м^2}{кг}$	E $\frac{м.м}{м}$	a $\frac{с.м^2}{кг}$	E $\frac{м.м}{м}$	a $\frac{с.м^2}{кг}$	E $\frac{м.м}{м}$	a $\frac{с.м^2}{кг}$
Минимум	11,96	0,001	14,98	0,003	12,12	0,002	51,2	0,009
Среднее	28,55	0,006	68,41	0,010	36,75	0,012	138,5	0,021
Максимум	76,08	0,007	137,4	0,022	74,6	0,018	206,4	0,046

их структурных связей и, наоборот, увеличивает вследствие их лимонитизации, либо засоленности [10]. Сопоставление большинства показателей инженерно-геологических свойств глин апшерона выявило их возрастную взаимосвязь с трехчленным делением яруса. Глины, залегающие на склонах с оползневым прошлым, не отличаются высокой прочностью, что также отмечается на дислокированных участках. Наименьшую деформируемость обнаружили глины в местах перегиба складок. Показатели физико-механических свойств глин не выявили зависимости от глубины залегания, увеличиваясь по площади их распространения в юго-западном направлении (в местах усиления тектонических напряжений).

Во избежание нежелательных для сооружения последствий строительные мероприятия следует проводить с учетом перечисленных особенностей апшеронских глин, избегая их переувлажнения и нарушения сплошности их масс.

ЛИТЕРАТУРА

1. Башинджагян С. Е., Дунин В. Д. Набухание глин ашхеронского полуострова (в связи с влиянием этого явления на сооружения), ч. I, Баку 1933.
2. Бушинский Г. И. Геохимия осадочного процесса. Спутник полевого геолога-нефтяника, т. I, М., 1954.
3. Гольдштейн М. Н. Механические свойства грунтов, М., 1952.
4. Горбунов Н. И. Поглотительная способность почвы и ее природа, М., 1948.
5. Гюль А. К. О сопротивлении сдвигу на Ашхеронском полуострове. Тезисы докл. Азово-Закавказской конференции молодых ученых геологов, Баку 1959.
6. Гюль А. К. О приуроченности давних оползней к морским террасам Ашхеронского полуострова. Уч. зап. АГУ им. С. М. Кирова, № 3, 1960.
7. Денисов Н. Я. Строительные свойства глинистых пород и их использование в гидротехническом строительстве, М., 1956.
8. Коновалов И. М., Гюль А. К. Обводненность оползневых склонов. «ДАН Азерб. ССР», 1956, т. XII, № 9.
9. Методическое руководство по петрографо-минералогическому изучению глин, ВСЕГЕИ, 1957.
10. Приклонский В. А. Грунтоведение, т. I, II, М., 1949.
11. Сенцов А. С. Физико-химические исследования коллоидно-дисперсных минералов третичного комплекса Ашхеронского полуострова. «Изв. АН Азерб. ССР», 1955, № 7.

Институт геологии

А. Г. Күл

Поступило 13. XII 1960

ГЕОЛОГИЯ

Ашхерон јарусу килләринин физики-механики хүсусијәтләри

ХУЛАСӘ

Ашхерон јарусу килләринин физики-механики хүсусијәтләринин ёјрәнилмәси ашағыдақылары айдынлашдырмаға имкан верир. Беләки, Ашхерон јарымадасында јајылмыш Ашхерон јашлы килләр чох дисперс килләрә иң олуб, јүксәк олмајан пластиклик, максимум молекулјар нәмлиг тутуму илә сәчијјәләнир. Нәмлиги аз олан килләрин структур әлагәләри мөһкәм олуб, биринчинин дәјишмәси илә бу әлагә кәскин зәифләјир. Ашынма һәмчинин бу килләрин сement әлагәләрини дә зәифләдир. Ашхерон јашлы килләрин јүксәк олмајан һидрофилии онларын һидромика тәркибләри илә уйғын кәлір. Килләрин дуз тәркибләринин ёјрәнилмәси дузлашманын натриум-хлорлу характеристики көстәрир. Физики-механики хүсусијәтләрина көрә Ашхерон јашлы килләр зәнф шишән вә суда дағылмаандыры. Қәсилмәјә вә сыйхылмаја гарышы мұғавимәтләри јүксәкдир.

Тикинти үчүн баш верә биләчәк тәһлүкәнин гарышыны алмаг үчүн Ашхерон килләринин јухарыда көстәрилән хүсусијәтләрини нәзәрдә тутмаг вә онларын јенидән нәмләшмәснин гарышыны алмаг ла-зымдыры.

Р. Г. СУЛТАНОВ, А. А. ГУСЕИНОВ, М. П. ГАДЖИЕВ

О ТОРФЯНЫХ ЗАЛЕЖАХ В КЕДАБЕКСКОМ РАЙОНЕ АЗЕРБАЙДЖАНСКОЙ ССР

(Представлено академиком АН Азербайджанской ССР В. Р. Волобуевым)

В условиях Азербайджанской ССР и вообще на Кавказе торфяные залежи разбросаны небольшими участками в горных и низменных областях. На это указывал в своих работах еще академик А. А. Гроссгейм.

Климатические, растительные, геоморфологические и другие предпосылки дают возможность предполагать наличие и образование торфяных залежей в различных областях республики.

Одним из таких районов является горный Кедабекский район, где экспедицией летом 1959 г. было установлено несколько торфяных залежей, приуроченных преимущественно к большим котловинным площадям, занимающим здесь значительное место на общем фоне горных сооружений.

Торфяные залежи выявлены в районе сел. Славянки, где отсутствуют какие бы то ни было леса, которые, по сведениям местных жителей, начали вырубаться с 1862 г. Вся окрестность, с включением сюда и площадок с торфяными залежами, покрыта травяно-луговой или культурной растительностью.

Общий характер пластики рельефа в этих котловинах, в том числе в котловине сел. Славянки, носит волнообразный характер. Эрозионные процессы в котловинах находятся в начальной стадии своего глубинного развития. Поэтому и пересеченность рельефа в них носит незначительный характер.

Поверхностный слой в котловинах представлен почвенным покровом черного цвета, мощностью до 0,6—1 м. Подстилающими почвенный покров отложениями являются суглиники и другие им подобные водонепроницаемые породы.

Такое соотношение слоев дает возможность грунтовым водам застывать на отдельных участках с произрастанием там водолюбивой луго-

вой растительности. Поэтому одновременно с современным почвообразованием (в данном случае мы не учитываем здесь два других погребенных почвенных слоя, установленных в общем разрезе четвертичных отложений сел. Славянки) были условия для образования и торфяных залежей.

Это подтверждается отчасти и тем, что по общим климатическим данным за последнее столетие выпадение атмосферных осадков в этом районе несколько увеличилось.

Выделенные торфяные залежи на 4-х участках в районе сел. Славянки были изучены и разведаны (глазомерная-компасная съемка, ручное бурение до глубины 1,6 м) с установлением запасов торфяной массы на них.

I участок расположен к югу в 200—300 м от нарезанного источника Гылыдж, на юго-западе 2—2,5 км от сел. Славянка, на правом берегу речки. Торфяная площадка вытянута вдоль берега речки, находится на террасовидной поверхности, ограниченной с востока склоном хребта и вытянутой в с.-в.-ю.-з. направлении.

Мощность торфяной массы по 20 заложенным скважинам колеблется в пределах от 0,05 до 1,6 м, местами больше, так как не было достигнуто основание. По общим данным весь участок подразделяется на две части: южную (большую) и северную (меньшую). Между выделенными частями наблюдается некоторое валообразное вздутие из глины и галечника, на юг и север от которого проходят углубления, выполненные торфяной массой.

Вся поверхность с незначительным уклоном на запад и север покрыта густой луговой растительностью. Средняя арифметическая мощность южной части (по 14 скважинам) = 0,75 м, северной (по 6 скважинам) = 0,45 м. Поверхность южной части = 1610 м², северной = 510 м². Отсюда объем торфяной массы южной части = 1210 м³, а северной = 230 м³. По всему же участку общий объем торфяной массы = 1430 м³.

Химические анализы торфяной залежи как органического удобрения, проведенные в лаборатории Института почвоведения и агрохимии Академии наук Азербайджанской ССР, дали следующие результаты (табл. 1, в миллиграммах на 1 кг торфа):

Таблица 1

	Скважины									
	1	3	4	5	9	12	16	17	18	19
N/NH ₃ водный раствор	2,3	1,1	1,7	2,6	1,5	1,3	8,9	2,6	2,6	1,3
P ₂ O ₅ водный раствор	7,5	6,7	7,7	7,1	5,6	6,3	5,2	6,9	5,8	6,2
N/OH ₃ поглощенные	24,2	36,4	20,8	72,7	22,4	20,1	20,8	22,3	34,2	44,7
P ₂ O ₅ щелочным методом	42	71	52	37	80	92	50	40	63	37

Эти данные представляют среднюю характеристику всей мощности торфяной массы по отдельным скважинам. Помимо этих исследований проведены испытания валовых проб в количестве двух по всем скважинам, результаты которых изложены в табл. 2.

II и III участки располагаются на восток от сел. Славянки, на правом берегу речки, притока Джагирчая. Этот берег представлен пологим, волнистым, террасовидным подгорным склоном горы Мосхит.

Участок II, расположаясь на склоне берега, размывается водами речки, где обнажается торфяная масса мощностью 1,8 м, подстилающаяся суглинками. Участок III отделен от второго на восток (200—300 м) и представляет собой пологонаклонную небольшую площадку.

Среднеарифметическая мощность торфяной массы: II участка (3 скв. и обнажение) = 1,5 м при площади = 275 м²; III участка (4 скв.) = 0,6 м при площади = 375 м². Отсюда объем торфяной массы: II участка = 400 м³; III участка = 250 м³.

Таблица 2

№ проб	Общее количество азота, %	Общее количество фосфора, %	Гумус, %	Зола, %	pH
1	1,62	0,12	39	50,2	5,5
2	1,39	0,27	30	54,4	5,4
Среднеарифметическое по всему участку	1,55	0,20	35	52,3	5,4

Вся торфяная масса по двум участкам составляет 650 м³. Общая химическая характеристика торфяной массы по валовому анализу двух этих участков дана в табл. 3.

Таблица 3

Общее количество азота, %	Общее количество фосфора, %	Гумус, %	Зола, %	pH
1,66	0,22	40	48,0	6,5

IV участок располагается в границах сел. Захмет, в 3—4 км севернее сел. Славянки. Поверхность представляет слабоволнистую местность, пологонаклонную на восток к р. Джагирчай, покрытую луговой растительностью. Вся площадь в 30 тыс. м² (3 га) обследована шахматно расположенным 23 скважинами со среднеарифметической мощностью торфяной массы в 0,80 м. Мощность эта изменяется в пределах 0,05 до 1,60 м при подстилающих суглинках.

Таким образом, общий объем торфяной массы на IV участке может быть выражен в 24 000 м³. Общие химические анализы по отдельным скважинам представлены на табл. 4, данные — в миллиграммах на 1 кг торфа.

Таблица 4

	Скважины									
	1	4	6	7	8	9	10	15	21	23
N/NH ₃ водный раствор	5,9	5,3	5,8	6,3	5,3	5,4	4,2	5,7	6,8	5,4
P ₂ O ₅ водный раствор	1,9	1,4	сл.	1,3	1,4	1,6	сл.	1,0	0,9	1,5
N/OH ₃ поглощение	—38,8	17,9	12,3	15,5	13,7	13,7	13,7	17,9	21,2	11,6
P ₂ O ₅ щелочным методом	11,1	9,1	сл.	6,0	9,4	10,0	6,0	8,0	5,0	5,7

Химические анализы двух валовых проб изложены в табл. 5.

В итоге по всем 4 участкам в окрестностях сел. Славянки общий запас торфяной массы может быть выражен в 26 000 м³. Поверхностный слой

торфяной массы на всех участках представляет собой довольно легкую, сильно водонасыщенную, переплетенную тонкими растительными волокнами бурюю массу.

В более глубинной части слоя торфяная масса представляет собой бурого цвета, вязкую с растительными остатками, водонасыщенную легкую массу.

Уместно отметить, что в изученных разрезах четвертичной толщи-местами можно наблюдать небольшие линзочки торфа, а также черные комочки железомарганцевых болотных руд.

Таблица 5

№ проб	Общее коли-чество азота, %	Общее коли-чество фосфо-ра, %	Гумус, %	Зола, %	pH
1	1,45	0,22	39	47,6	6,4
2	1,34	0,17	36	47,4	6,4

Вследствие технических ограничений не были проведены испытания на калорийность. Однако некоторые местные жители охотно используют торфы I участка как топливо. Но широкого применения в этом направлении торф не нашел. Это объясняется, возможно, тем, что печи у населения приспособлены к древесному топливу, угля которого широко используются, а зола от торфа неходит применения. Приведенные выше химические анализы при сопоставлении их с таковыми других местностей СССР дают возможность относить их к «переходным» между верховым и низинным типами, где общее содержание азота колеблется в пределах 1,2—2,5% (в изученных торфах 1,4—1,66); фосфора 0,15—0,25% (в наших —0,20—0,22); pH от 4 до 6 (в наших 5,5—6,5); зола 5—10% (в наших 47,5—54,4).

В приведенных сопоставлениях обращает на себя внимание повышенное содержание зольности в изученных торфах по сравнению с общепринятыми нормами.

С нашей точки зрения, это следует объяснить исключительно физико-географическими условиями в процессе образования торфа.

Общеизвестно, что на севере при большой увлажненности количество солнечных дней и средняя годовая температура значительно ниже, чем на юге. Южные условия способствуют активной деятельности микробиологического процесса с усвоением растительностью наибольшего количества минеральных солей из почвы и водных растворов с преобразованием части их в органику в условиях северо-восточного склона Малого Кавказа с умеренно влажным климатом. В то же время питание растительности на севере при ограниченности этих процессов происходит главным образом, из водных растворов.

В последующем при разложении торфяная масса в наших условиях становится богатой минеральными солями — несгораемым остатком, что и может служить причиной высокой зольности.

По общепринятым нормативам изученные торфяные массы могут найти практическое применение как топливо для проектирующегося санатория при нарезании источнике у сел. Славянки, при условии использования золы как удобрения. Одновременно следует указать, что выявленные небольшие участки торфа подтверждают словесные указания местного населения о наличии здесь в большом количестве подобных площадей с торфом. Они совершенно не изучены и, возможно, представляют определенный практический интерес в масштабе отдельных кохозов, санаториев, промышленных предприятий и районов.

ЛИТЕРАТУРА

1. Зила А. А. Торф в сельском хозяйстве. Сельхозгиз, 1953.
2. Султанов Р. Г., Гасанов М. М. К вопросу о происхождении болот в Азербайджанской ССР. Уч. зап. Азгосуниверситета, № 9, 1955.
3. Тюреминов С. И. Торфяные месторождения и их разведка. Госэнергоиздат, 1949.

Институт геологии

Поступило 23. VI 1960

Р. Г. Султанов, А. А. Ыссеинов, М. П. Ыачыев

Азэрбајҹан ССР-ин Кәдәбәј рајонундакы торф јатаглары һагында

ХУЛАСЭ

Азэрбајҹан ССР-дә торф јатаглары чох аз өјрәнилдијинә көрә әдәбијатда бу һагда аз мә’лumat верилир.

Республикамызын рајонларында тәбии шәрантин мүхтәлифлији торф јатагларынын илк әмәлә қәлмәси вә јаранмасы һагында мүәјјән фикир сөjlәмәjә имкан верир.

1959-чу илни яј експедицијасы заманы Кәдәбәј рајонунуң дағлыг һиссәләриндә кичик торф јатаглары өјрәнилмишdir.

Бу әразинин бә’зи саһәләринин сәтни 0,5—1,0 м галынылығында гараторпагла өртулудур. Бу заман торпаг өртују илә бирликдә торф јатаглары да әмәлә қәлмәjә башламышдыр. Гејд етмәк лазымдыр ки, иглим мә’лumatларына эсасән сон јуз илдә бурада атмосфер чөкүнүләринин мигдары иисбәтән артмышдыр.

Славянка кәнді әтрафында дәрд саһәдә торф јатаглары өјрәнилмишdir. Бунлардан Гызылча ҹајы јанындакы торф јатағынын орта галынылығы чәнубда 0,75 м, шималда исә 0,45 м-дир. Үмуми саһәси 2120 м², һәчми 1430 м³-дир. II—III саһә Җәирчайын сағ голу саһилинде Славянка кәнді әтрафында јерләшир. Бунларын да һәчми 650 м³-дир.

Дөрдүнчү саһә Зәһмет кәнді саһәсіндә јерләшир. Бу јатағын үмуми саһәси 30000 м²-дир; орта галынылығы 0,8 м, һәчми исә 24000 м³-дир.

Үмумијјәтлә, Славянка кәнді әтрафында олан торф јатагларынын үмуми сәтијаты 26000 м³-дир.

Торфларын кимјәви анализләрини иәтичәләрини үмуми нормативләрлә мүгајисе етпикдә ашағыда мә’лumat әлдә едилир: Азотун үмуми мигдары 1,2—2,5% (өјрәнилән саһәдә 1,4—1,66%); фосфор 0,15—0,25% (0,20—0,22%); pH=4—6 (5,4—6,5); күл 5—10% (47,5—52,3%)-дир.

Көстәрдијимиз торф саһәләринин кимјәви анализ иәтичәсіндә «кечид» формасында олдуғу айыллашдырылыр вә онлар ССРИ-нин башга јерләриндә олан торф јатагларына уйгуи кәлир.

Бурадакы торфун күлү қөстәрилән нормадан چохтур. Буна башлыча сәбәб физики-чографи шәрантин вә торфун әмәләкәлмә хүсусијәтләриди.

АГРОХИМИЯ

Д. М. ГУСЕПНОВ и Ю. К. КАХРАМАНОВ

ВЛИЯНИЕ НЕФТЯНОГО РОСТОВОГО ВЕЩЕСТВА
НА РОСТ КОРНЕЙ И УРОЖАЙ ОЗИМОЙ ПШЕНИЦЫ

Многочисленные опыты, проведенные в разных почвенно-климатических условиях Азербайджана за последние 7 лет, показали повышение урожайности сельскохозяйственных культур под влиянием применения нового стимулятора, выделенного из отходов нефтяной промышленности. В нашей статье приводятся результаты лабораторных и полевых опытов, показывающих влияние нового нефтяного стимулятора на рост корней, а также на урожай озимой пшеницы. Опыты проводились в период 1958—1960 гг.

В целях изучения влияния ростового вещества на рост корней озимой пшеницы в сентябре 1958 г. в условиях Нухинского района заложили лабораторные опыты. Брались пробы по 100 штук семян озимой пшеницы сорта «шарг» и в течение 6, 12, 24 ч выдерживались в растворах (0,005, 0,01 и 0,05 %-ном) нефтяного ростового вещества в количестве 25 см³, затем эти семена раскладывались на постоянно влажной фильтровальной бумаге, через 20 дней производилось измерение длины корней. Результаты измерений приводятся в табл. 1.

Проведенные опыты (почвенная культура) с намачиванием семян озимой пшеницы перед посевом в растворах 0,1, 0,2, 0,4 и 0,8% нефтяного ростового вещества из расчета 5 см³ раствора на 100 г семян показали заметное увеличение длины корней (до 92%) и сухого веса корней одного растения (до 60%). Наилучшие результаты получены от намачивания семян 0,4%-ным раствором ростового вещества.

В целях изучения влияния нефтяного ростового вещества на урожай озимой пшеницы в 1959 и в 1960 гг. заложен ряд полевых, деляночных и производственных опытов: в зерносовхозе им. Орджоникидзе, в колхозе «Коммунист» Нухинского района и в учебном опытном хозяйстве Нухинского сельскохозяйственного техникума. В полевых условиях действие ростового вещества изучалось путем внесения в почву в смеси с минеральными удобрениями, а также путем опрыскивания растений в фазе колошения.

Площадь полевых деляночных опытов равнялась 100 м². Опыты ставились в четырехкратной повторности.

Площадь каждой делянки производственных опытов составила в колхозе «Коммунист» 3 га, в зерносовхозе 2 га, эти опыты были двухкратной повторности. Почва зерносовхоза — каштановая, слабовыщелоченная. Содержание гумуса — 1,8%, азота — 0,12%, Р₂O₅ колеблется в пределах от 0,12% до 0,14%. По механическому составу — это средние су-

Таблица 1

Вариант опыта	6 ч		12 ч		24 ч	
	длина корней, мм	изменение, %	длина корней, мм	изменение, %	длина корней, мм	изменение, %
Контроль (вода)	115	100	132	100	185	100
Раствор р. в. * %						
0,005	193	168	178	135	215	116
0,01	264	229	296	224	316	171
0,05	229	199	295	222	347	188

* Р. в. — ростовое вещество

глиники.

Почва колхоза «Коммунист» сероземная, карбонатная, среднеглинистая, содержание гумуса колеблется от 1,9 до 3%. Почва учебного опытного хозяйства серолуговая, среднеглинистая, содержание гумуса — 1,2%.

Во всех опытных участках для посева взят сорт озимой пшеницы «шарг». Ростовое вещество нефтяного происхождения в смеси с минеральными удобрениями применяли в количестве 50 и 100 г/га.

В полевых деляночных опытах минеральные удобрения — азот в виде аммиачной селитры и фосфор в виде суперфосфата — вносились из расчета 90 кг/га.

Таблица 2

Вариант опыта	Урожай, ц/га			Прибавка	
	1959 г.	1960 г.	Средний за два года	ц/га	%
Зерносовхоз им. Орджоникидзе					
Контроль	21,6	19,8	20,7	—	—
NP	26,6	26,5	26,5	—	—
NP + р. в. 50 г	27,1	27,7	27,4	0,9	3
NP + р. в. 100 г	27,5	32,3	29,9	3,4	13
МД =	± 0,60	± 1,38			
Колхоз «Коммунист»					
Контроль	24,9	14,6	19,7	—	—
NP	26,2	25,0	25,6	—	—
NP + р. в. 50 г	30,7	29,3	30,0	4,4	17
NP + р. в. 100 г	31,5	30,9	31,2	5,6	22
МД =	± 0,50	= 1,80			

В табл. 2 приводятся данные, показывающие действие ростового вещества, внесенного в смеси с минеральными удобрениями, на урожай озимой пшеницы.

Как видно из приведенных данных, нефтяное ростовое вещество в малых дозах в смеси с минеральными удобрениями заметно повышает урожай озимой пшеницы. От применения ростового вещества в количе-

стве 50 и 100 г/га с минеральными удобрениями, средний за два года урожай зерна в зерносовхозе увеличивается соответственно на 0,9 и 3,4 ц/га (или 3 и 13%), а в колхозе «Коммунист» — соответственно на 4,4 и 5,6 ц/га (или 17 и 22%) по сравнению с урожаями, полученными с вариантов NP без ростового вещества.

В полевых условиях также изучено влияние на урожай опрыскивания растений в фазе колошения слабыми растворами нефтяного ростового вещества. Для опрыскивания растений брали 0,005%-ный, 0,01%-ный и 0,05%-ный растворы ростового вещества. Опрыскивание производили из расчета 1000 л/га, один раз. Полученные результаты приводятся в табл. 3.

Таблица 3

Вариант опыта	Урожай, ц/га			ц/га	%		
	Зерносовхоз им. Орджоникидзе	В учебном опыте					
		1959 г.	1960 г.				
Контроль (вода)	21,1	12,8	15,7	16,5	—		
Р. в. 0,005%	22,5	12,5	17,5	17,5	1		
Р. в. 0,01%	23,0	15,3	18,4	18,9	2,4		
Р. в. 0,05%	24,6	17,6	19,0	20,4	3,9		

МД = ± 0,90 ± 1,10 ± 0,90

Как видно из приведенных данных, наилучшие результаты получены от применения 0,05%-ного раствора ростового вещества. В этом случае урожай зерна озимой пшеницы в среднем из 3 опытов увеличивается на 3,9 ц/га, или 24% по сравнению с контролем. От применения сравнительно слабых растворов, т. е. 0,005%-ного и 0,01%-ного, ростового вещества урожай зерна озимой пшеницы увеличивается соответственно на 1 и 2,4 ц/га (или 6 и 15%) по сравнению с контролем.

В 1960 г. в тех же хозяйствах были заданы производственные опыты. Результаты опытов, проведенных в производственных условиях, приводятся в табл. 4.

Таблица 4

Вариант опыта	Урожай, ц/га			Прибавка	%		
	Повторности		Среднее				
	I	II					
Зерносовхоз им. Орджоникидзе							
Контроль	15,7	17,6	16,7	—	—		
N ₂₀ P ₂₀	21,2	19,2	20,2	—	—		
NP + р. в. 100 г/га	23,6	26,2	24,9	4,7	23		
NP + р. в. 0,05 (опрыскивания)	24,8	28,2	26,5	6,3	31		
Колхоз «Коммунист»							
Контроль	10,4	12,6	11,5	—	—		
N ₂₀ P ₂₀	14,1	13,3	13,7	—	—		
NP + р. в. 100 г/га	15,1	15,8	15,5	1,8	12		

Из данных табл. 4 видно, что с применением 100 г/га нефтяного ростового вещества в смеси с минеральными удобрениями урожай зерна

в колхозе и в зерносовхозе увеличивается соответственно на 1,8 и 4,7 ц/га (или 12 и 23%) по сравнению с вариантом NP.

Опыты показали, что от опрыскивания растений во время колошения 0,05%-ным раствором 1000 л/г нефтяного ростового вещества урожай озимой пшеницы увеличивается в производственных условиях зерносовхоза им. Орджоникидзе на 6,3 ц/га (или 31%) по сравнению с вариантом NP.

Фенологические наблюдения, проведенные на опытных участках, показали ускорение созревания зерен на 2—3 дня под влиянием опрыскивания растений раствором ростового вещества. Установлено увеличение абсолютного веса зерна (на 1,5—2,5 г) под влиянием опрыскивания растений слабыми растворами нефтяного стимулятора.

На основании проведенных опытов можно отметить следующее:

1. Под влиянием слабых растворов нефтяного ростового вещества заметно увеличивается длина корней озимой пшеницы (от 1,7 до 2,3 раза).

2. От применения ростового вещества в количестве 100 г/га в смеси с минеральными удобрениями урожай зерна увеличивается в зерносовхозе на 3,4 ц/га, в колхозе «Коммунист» 5,6 ц/га по сравнению с контролем.

3. От опрыскивания растений слабым раствором нефтяного ростового вещества в фазе колошения наблюдается заметное повышение урожая зерна озимой пшеницы. Наилучшие результаты получены от применения 0,05%-ного раствора ростового вещества. Урожай зерна в среднем из 3 опытов увеличивается на 3,9 ц/га (или 24%) по сравнению с контролем.

4. Опыты, проведенные в производственных условиях, показали увеличение урожая зерна от применения ростового вещества из расчета 100 г/га в смеси с минеральными удобрениями в среднем (из двух опытов) на 3,2 ц/га, или 19%, а от опрыскивания растения 0,05%-ным раствором ростового вещества — на 6,3 ц/га, или 31%.

Институт почвоведения и агрохимии

Поступило 10.VIII 1960

Ч. М. Ыссеинов, Я. Г. Гәирәманов

Нефт мәншәли бој маддәсиини пајызлыг бүгданын көкүнүн бој атмасына вә мәһсүлдарлыгына тә'сирі

ХУЛАСӘ

Мәгаләдә нефт мәншәли бој маддәсиини пајызлыг бүгданын мәһсүлдарлыгына тә'сирин өјрәнмәк мәгсәди илә лабораторија, тарла вә истеңсалат шәрантиндә апарылмыш тәчруубәләри иәтичәләри верилмишdir. Лабораторија шәрантиндә апарылмыш тәчруубәләр нефт мәншәли бој маддәсиини зәнф мәһлүлларында 6, 12, 24 saat мұддәтиндә исладылмыш бүгда тохумларынын, ади суда исладылмыш тохумлара иисбәтән, 2,3; 2,2 вә 1,7 дәфә узун көкләр әмәлә кәтирдикләри мүшанидә едилмишdir.

1959 вә 1960-чы илләрдә апарылмыш тарла тәчруубәләриндә бүгда алтында олан торнаглара минерал күбрәләрлә гарышыг бој маддәси верилдикдә, јалиыз минерал күбра верилмиш варианта иисбәтән, Орчоникидзе адына тахылчылыг совхозунда һәр нектардан 0,9 вә 3,6 сен, «Коммунист» колхозунда исә 4,4 вә 5,6 сен артыг мәһсүл алымышдыр.

Бој маддәсиини 0,005%; 0,01% вә 0,05%-ли мәһлүлу, бүгда биткисиин сүнбулләшмә фазасында һәр нектар 1000 л несабы илә онларын үзәринә чиләндикдә, мұвағиғ гајдада һәр нектардан 1 сен-дән 3,9 сен-ә гәдәр мәһсүл артымы алымышдыр.

Апарылмыш истеңсалат тәчруубәләриндә нефт мәншәли бој маддәси күбрәләрлә гарышыг торнага верилдикдә, Орчоникидзе адына совхозда һәр нектардан 4,7 сен (вә ja 23%), «Коммунист» колхозунда исә 1,8 сен (вә ja 12%) артыг мәһсүл алымышдыр.

Совхозда апарылмыш истеңсалат тәчруубәләриндә, бој маддәсии 0,05%-ли мәһлүлу биткиләри үзәринә чиләндикдә, һәр нектардан 6,3 сен (вә ja 31%) мәһсүл артымы алымышдыр.

ПОЧВОВЕДЕНИЕ

К. Г. ТЕЙМУРОВ

**НОВЫЙ КОМПЛЕКСНЫЙ МЕЛИОРАНТ
ДЛЯ ФОРСИРОВАННОЙ МЕЛИОРАЦИИ
СОЛОНЦОВ И СОДОВО-СУЛЬФАТНЫХ
СОЛОНЧАКОВ**

(Представлено академиком АН Азербайджанской ССР Г. А. Алиевым)

На территории Кура-Араксинской низменности солонцеватые почвы и содово-сульфатные солончаки занимают значительную территорию.

Особенно в Карабахской степи на орошающей из Верхне-Карабахского канала зоне после резкого повышения водообеспеченности территории в результате изменения режима движения грунтовых вод и появления биологического спада сульфатов на больших территориях обнаружена вспышка содового засоления, причиняющая большой ущерб сельскому хозяйству. Поэтому борьба с солонцеватостью и содовым засолением почво-грунтов должна стоять на первом плане мелиоративных мероприятий.

Солонцеватые почвы обладают плохими водно-физическими свойствами и питательным режимом. Поэтому они характеризуются плохими производственными свойствами и низким эффективным плодородием.

Для улучшения солонцовых почв предложены различные приемы, направленные на их оккультуривание и повышение урожайности сельскохозяйственных культур.

Окультуривание солонцовых почв может быть осуществлено лишь при условии применения комплекса агрономических и мелиоративных приемов: гипсование, навоз, минеральные удобрения, углубление пахотного слоя, травосеяние и др. Ведущим звеном в комплексе приемов оккультуривания солонцовых почв пока является гипсование. Применение других агрономических приемов без гипсования дает незначительный и кратковременный эффект. Это объясняется тем, что основной причиной низкого плодородия этих почв является их бесструктурность, уплотненность и плохие водно-физические свойства. Внесение гипса на бесструктурные почвы, обладающие плохими вод-

но-воздушными свойствами и содержащие в коллоидном комплексе натрий, дает некоторые положительные результаты. Обычно количество потребного гипса для мелиорации солонцовых почв, в зависимости от почвенной реакции, количества поглощенного натрия, ёмкости поглощения и замедленного и слабого мелиоративного эффекта гипса, получается громадным: 20—40 и более т/га.

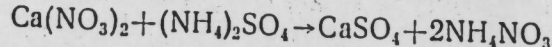
Растворимость гипса очень низкая (0,204 г на 100 мл воды) и сильно подавляется в условиях присутствия соды и содово-сульфатного засоления. Поэтому эффект обменного вытеснения поглощенного натрия с кальцием осуществляется крайне медленно, причиной этого является образование на поверхности кристаллов гипса "защитной" пленки из углекислого кальция, что обнаружено в микроскопических исследованиях И. И. Фиофаровой на образцах некоторых почв Азербайджана.

На плохую растворимость и замедленный эффект гипса указывают и другие авторы: А. М. Можейко [3], И. Н. Антипов-Каратеев [1], К. Г. Теймуров [6], А. М. Граниченко и В. А. Пелепец [2] и др.

Благодаря дороговизне приема гипсования почв (высокой стоимости перевозки), а также огромным затратам воды и труда при крайне замедленном эффекте гипса, это мероприятие не нашло широкого применения.

На основе проведенного в почвенно-мелиоративной лаборатории АзНИИГиМ исследования по вопросам физико-химического воздействия на солонцеватые почвы и почвы содово-сульфатного засоления, путем кислования и гипсования их, найден новый комплексный мелиорант, содержащий гипс, нитрат кальция и азотную кислоту, полученный на базе двух азотных удобрений — сульфата аммония и нитрата кальция при простом их перемешивании.

При перемешивании таких удобрений, благодаря сильной гигроскопичности $\text{Ca}(\text{NO}_3)_2$, смесь солей достаточно увлажняется, и происходит реакция обменного разложения по уравнению:

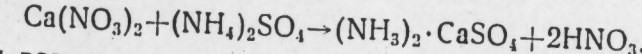


При этом с образованием гипса ($\text{CaSO}_4 \cdot 2\text{H}_2\text{O}$) гигроскопичность смеси, и он становится рассыпчатым и удобным для внесения.

Таблица
Результаты анализа приготовленного комплексного мелиоранта

Соотношение $\text{Ca}(\text{NO}_3)_2$ $(\text{NH}_4)_2\text{SO}_4$	Щелочность водного раствора		SO_4^{2-} на 1 г вещества		Ca^{2+} на 1 г вещества		Нерастворимый остаток г на 1 г вещества			
	м/экв	г/%	расчетный	аналитический	расчетный	аналитический	от $\text{Ca}(\text{NO}_3)_2$	от $(\text{NH}_4)_2\text{SO}_4$	от смеси солей	от CaSO_4
$\text{Ca}(\text{NO}_3)_2 \cdot 4\text{H}_2\text{O}$	1,600	0,097	—	—	0,169	0,177	00	—	—	—
$(\text{NH}_4)_2\text{SO}_4$	1,500	0,091	0,727	0,685	—	—	—	—	—	—
$\text{CaSO}_4 \cdot 2\text{H}_2\text{O}$	1,200	0,073	0,558	0,139	0,232	0,081	—	00	—	—
1 : 1	1,460	0,088	0,363	0,255	0,084	0,060	—	—	—	0,752
1,25 : 1	1,060	0,064	0,320	0,200	0,093	0,065	—	—	0,258	—
1,5 : 1	1,200	0,073	0,290	0,137	0,101	0,059	—	—	0,274	—
1,7 : 1	0,880	0,053	0,268	0,129	0,106	0,065	—	—	0,311	—
							—	—	0,318	—

Расчеты и полученные аналитические данные (таблица) показали, что продуктом реакции является не чистый гипс, а сернокислый аммиакат кальция — $(\text{NH}_3)_2 \cdot \text{CaSO}_4$, т. е. реакция обменного разложения, представляется в следующем виде:



Имеется возможность регулировать соотношение солей так, чтобы в составе смеси оставалось некоторое количество легкоподвижного кальция в форме $\text{Ca}(\text{NO}_3)_2$, что форсированно действует на реакцию почв и на коллоидный комплекс. Например, при соотношении $\text{Ca}(\text{NO}_3)_2$ ($\text{NH}_4)_2\text{SO}_4$ равном 1,77 г : 1 г (или грамм-молекула 236 : 132), смесь нейтрализуется полностью, легкоподвижного кальция не остается. При соотношении, равном 2 : 1, в составе смеси остается до 10% свободного $\text{Ca}(\text{NO}_3)_2$.

Комплексный мелиорант выгодно отличается от гипса тем, что стоимость его не превышает стоимости гипса. Стоимость тонны смеси составляет 410 руб., при этом в составе смеси вносится в почву около 0,5 т NH_4NO_3 , что стоит для хозяйства 29 руб. (в старых ценах). Следовательно, для мелиоративных целей на каждую тонну смеси расходуется 410 — 29 = 116 руб. При применении хозяйством комплексного мелиоранта отпадает необходимость закупки и перевозки NH_4NO_3 .

Действия комплексного мелиоранта на реакции почв проявляются сразу после внесения, благодаря наличию избытка легкорастворимого кальция в форме $\text{Ca}(\text{NO}_3)_2$.

Ввиду содержания большого количества гипса (45%) мелиоративный эффект смеси является продолжительным. Ввиду содержания аммиачного азота осенне внесение комплексного мелиоранта не снижает его удобрительного качества.

Доза комплексного мелиоранта зависит от потребного для мелиорации кальция и на много меньше дозы гипса, ввиду форсированного мелиоративного эффекта и лучшей растворимости комплексного мелиоранта.

ЛИТЕРАТУРА

- Антипов-Каратеев И. Н. Мелиорация солонцов в СССР. 1953.
 - Гринченко А. И. и Пелицец В. А. Новый метод применения малых доз гипса на солонцовых почвах. Харьков, 1958.
 - Можейко А. М. Взаимодействие гипса с коллоидным комплексом солонцовых почв. Зап. Харьковского ин-та с. х-ва, т. V (VIII), 1946.
 - Теймуров К. Г. Освоение щелочных "рисовых" почв под культуру (VIII), путем кислования. "ДАН Азерб. ССР", 1951, т. VII, № 5.
 - Теймуров К. Г. Действие кислого гудрона на физико-химические свойства тяжелых рисовых почв. "ДАН Азерб. ССР", 1951, т. VII, № 6.
 - Теймуров К. Г. О шкале промывных норм в зависимости от градации засоления и состава солей. "Соц. с. х-ва Азербайджана", 1957, № 9.
- АзНИИГиМ

Поступило 25. IV 1960

К. Г. Теймуров

Шоракэт торпаглары вә сода илә шорлашмыш торпаглары мелиорасија етмәк учун яни комплекс мелиорант

ХУЛАСӘ

Шоракэт торпаглары мелиорасија етмәк учун ишләдилән кипс суда пис һәлл олдуғуна көрә, жаҳы мелиоратив эффект вермир.

Азәрбајҹан Елми-Тәдгигат ҟидротехника вә Мелиорасија Институту тунун торпаг-мелиорасија лабораторијасы тәрәфиидән јени комплекс мелиорант тәклиф олунур.

Тәркибиндә кипс вә азот олан јени мелиорант ики күбрәнин— $\text{Ca}(\text{NO}_3)_2$ вә $(\text{NH}_4)_2\text{SO}_4$ гарышдырылмасындан алыныр. Бу гарышыбы ишләтмәк чох әлверишилдир.

Торпаглар јени мелиорант васитәси илә мелиорасија едиләркән, мелиорасија вә мүнбитетлијин артырылмасы кими ики вачиб мәсәлә бир дәфәдә һәлл олунур.

Лабораторија шәрантиндә апарылан ишләр јени мелиорантны мелиоратив тә'сиринни кипсә нисбәтән хејли артыг олдуғуну көстәрмишdir

ВЕТЕРИНАРИЯ

М. И. ГАСАНОВ

ПРОЕКЦИОННАЯ ТОПОГРАФИЧЕСКАЯ АНАТОМИЯ
КОСТНОЙ ОСНОВЫ ПОЯСНИЦЫ У ОВЕЦ

(Представлено академиком АН Азербайджанской ССР Ф. А. Меликовым)

Овцеводство в нашей стране расширяется быстрыми темпами, повышается его продуктивность, вводятся новые породы высокоценных тонкорунных животных. Разработка вопросов, связанных с сохранением поголовья и повышением продуктивности овец имеет в настоящее время весьма актуальное значение в народном хозяйстве. Между тем, до самого последнего времени не уделялось внимания различного рода незаразным болезням овец и, в частности, хирургическим заболеваниям.

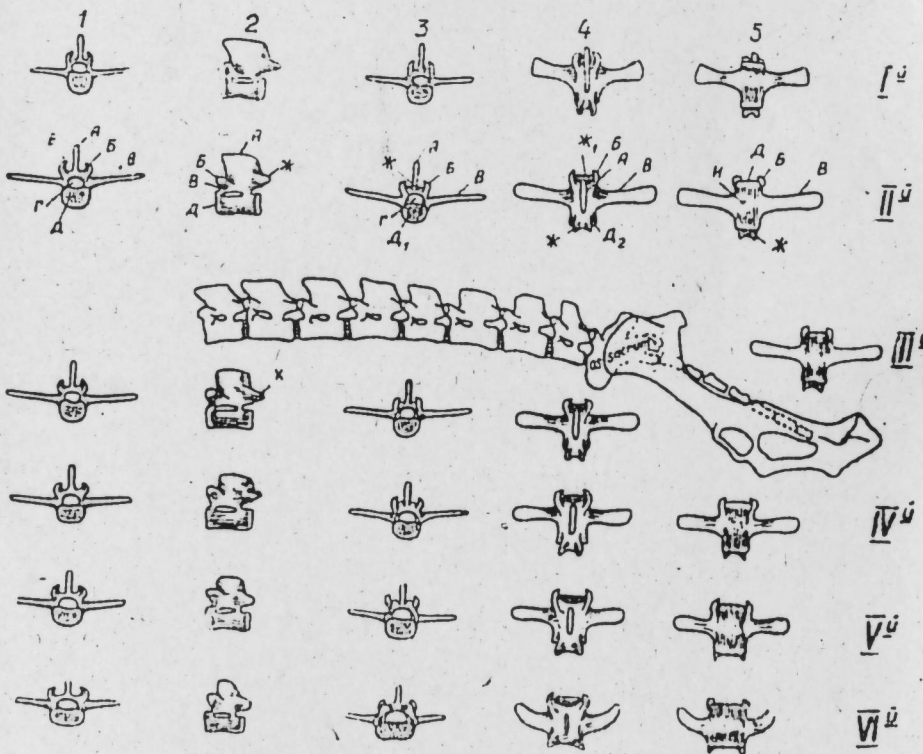
Костная основа поясницы овец является важной областью для прикрепления мышц и связок. Кроме того, в костном канале поясничных позвонков расположен такой важный орган, спинной мозг, имеющий большое значение при проведении спинно-мозгового обезболивания. Костная основа области поясницы состоит из 5—7 поясничных позвонков — *vertebrae lumbales*, причем количество поясничных позвонков не у всех овец одинаково: в 25 случаях из 40—6, в 10 случаях 7, в 5 случаях — 5 позвонков. Общий вид отдельных позвонков и поперечных отростков 1-го поясничного позвонка у овцы породы азербайджанский горный меринос и базах наиболее распространен и имеет краинальную наклонность. Иногда краинальный угол даже присоединяется к заднему краю 13-го ребра. Такое соединение наиболее ярко выражено в тех случаях, когда имеется 5 поясничных позвонков. Ширина поперечного отростка 1-го поясничного позвонка больше ширины остальных поперечных отростков поясничных позвонков, длина же его относительно короче.

Особенно характерен у овец последний поперечный отросток поясничного позвонка, он становится совсем тонким, толщиной не более 2—4 мм. Сначала он идет несколько латерально, а потом направляется своим концом в краинальную сторону, образуя серпообразную форму, и

почти прилегает к каудальному краю предыдущего поперечного отростка.

Длина поперечного отростка последнего поясничного позвонка одинакова с 1-м и меньше 2-го, 3-го, 4-го и 5-го. Среди всех поперечных отростков поясницы второй является самым длинным. Общая длина от конца левого до конца правого поперечного отростка, включая тело позвонка, варьирует от 9 до 12 см. Ширина его по сравнению с 1-м меньше, а с 3-м больше. Длина поперечного отростка 3-го поясничного позвонка больше по сравнению с 1-м и 4-м на 1,3 см, с 6-м — на 0,7 см и с 5-м — на 0,8 см.

Ширина поперечного отростка 3-го поясничного позвонка в его начальной части меньше 1-го на 0,3—0,5 см, второго — на 0,1—0,2 см, четвертого — на 0,1—0,2 см, пятого — на 0,1—0,2 см, шестого — на 0,4—0,6 см. Поперечный отросток 3-го поясничного позвонка в середине уменьшается, а в конце несколько расширяется. Длина поперечного отростка 4-го поясничного позвонка с 3-м почти одинакова; если и бывает разница, то только в пределах 0,3 см. Длина поперечного отростка 5-го поясничного позвонка по сравнению со 2-м, 3-м и 4-м короче, а по сравнению с 6-м и 1-м длиннее.



Поясничные позвонки овцы

1—вид спереди, 2—сбоку, 3—зади, 4—с дорзальной поверхности, 5—с центральной поверхности
А—остистый отросток, Б—краинальный суставной отросток, В—поперечно-реберный отросток,
Г—позвоночный канал, Д—тело позвонка, Д₁—ямка позвонка, Д₂—головка позвонка, Е—сосцевидные отростки, Ж—первая лужка, Ж₁—первая дужка спереди.

Тела поясничных позвонков у овец представляют собой непарные сегментные кости; соединяясь друг с другом, они образуют костную основу поясницы. Тело каждого поясничного позвонка имеет с краинальной стороны головку, а с каудальной — ямку. Головка имеет ширину 19—30 мм, высоту 12—21 мм.

Ширина и высота ямок отдельных позвонков различны. Например, ширина ямки всегда бывает больше ширины головки позвонка. Наибольшей ширины достигают головка и ямка последнего позвонка, наименьшей — первого. Наибольшую высоту имеет головка первого, а наименьшую — головка последнего поясничного позвонка. Диаметр тела позвонка в средней части уменьшается, а в краинальной и каудальной — увеличивается. С вентральной поверхности тела позвонка в самой его середине имеются два отверстия для сосудов (рис.).

В середине дорзальной стороны тела позвонка находятся также два отверстия для сосудов, питающих поясничные позвонки. Над телом каждого поясничного позвонка располагается нервная дужка *arcus neuralis* имеющая у своего основания вырезки. При сочленении одного позвонка с другим невральные дужки образуют междужковые отверстия (*foramen interarcuale* — рис. Ж).

Межпозвоночные вырезки, соединяясь, образуют межпозвоночное отверстие — *foramen intervertebrale*, на каждом поясничном позвонке имеются краинальные и каудальные суставные отростки. Из них краинальный суставной отросток — *processus articularis cranialis* расположен на расширенном основании остистого отростка; направляясь своим концом в краинальную сторону, он становится бугристым, и в середине этого бугра образуется покрытая хрящом вогнутая фасетка для сочленения с каудальным суставным отростком соседнего позвонка. На краинальном суставном отростке имеется сосцевидный отросток, поэтому толщина его несколько больше каудального суставного отростка. Характерной чертой краинального суставного отростка является наличие на его конце двух крючков, посредством которых отдельные позвонки прочно сочленяются между собой. Такие крючки особенно хорошо выражены в краинальных суставных отростках 3-го и 4-го поясничных позвонков.

Каудальный суставной отросток располагается на расширенном основании остистого отростка поясничного позвонка. Концы его становятся меньше, затем сочленяются с краинальным суставным отростком позади лежащего поясничного позвонка.

На вентральной поверхности каждого позвонка имеются два диаметром в 1 мм овальных отверстия для проникновения кровеносных сосудов. Внутренняя стенка всего поясничного отдела позвоночника канала выстлана соединительной тканью и жировой клетчаткой. Диаметр поясничного канала неодинаков. На уровне 1-го поясничного позвонка он имеет 0,9—1,1 см, а на уровне 7-го — 1,5—1,7 см. По дорзальной поверхности тела позвонков проходит дорзальная продольная связка позвоночника.

Длина поясничного отдела позвоночника, измеренного по остистым отросткам поясничных позвонков, бывает неодинакова. Она варьирует, минимально — 23, максимально — 27, в среднем — 24,7 см.

Исследуемые нами величины остистых отростков поясничных позвонков у 25 объектов были неодинаковыми, они варьируют следующим образом.

Остистый отросток 1-го поясничного позвонка:

в длину	минимально	— 20,	максимально	— 29,	в среднем	— 24,36	м.м;
в ширину	.	2,	.	4,	.	2,57	м.м;
в высоту	.	18,	.	24,	.	20,78	м.м.

Остистый отросток 2-го поясничного позвонка:

в длину	минимально	— 20,	максимально	— 27,	в среднем	— 23,6	м.м;
в ширину	.	2,5,	.	4,	.	3,16	м.м;
в высоту	.	10,	.	22,	.	19	м.м.

Остистый отросток 3-го поясничного позвонка:

в длину минимально — 17,	максимально — 29,	в среднем — 22,64 мм:
в ширину 3, 4,5, 3,18 мм;
в высоту 15, 20, 18,44 мм;

Остистый отросток 4-го поясничного позвонка:

в длину минимально — 18,	максимально — 25,	в среднем — 21,04 мм:
в ширину 3, 4, 3,43 мм;
в высоту 14, 19, 17,18 мм.

Остистый отросток 5-го поясничного позвонка:

в длину минимально — 17,	максимально — 27,	в среднем — 19,75 мм;
в ширину 3, 5, 3,58 мм;
в высоту 13, 19, 16,4 мм;

Остистый отросток 6-го поясничного позвонка:

в длину минимально — 12,	максимально — 25,	в среднем — 17,8 мм;
в ширину 3, 4,5, 3,85 мм;
в высоту 12, 17, 15,6 мм;

Остистый отросток 7-го поясничного позвонка:

в длину минимально — 12,	максимально — 17,	в среднем — 13,7 мм;
в ширину 3,3, 6, 4,8 мм;
в высоту 10, 15, 13,08 мм.

Таким образом, на основании вышеприведенных цифровых показателей можно прийти к заключению, что среди остистых отростков поясничных позвонков наибольшую длину имеют 1-й и 3-й, которые варьируют в пределах:

минимально от 17 до 20 мм,
максимально от 27 до 29 мм,
в среднем от 22,64 до 24,36 мм;

а начиная с 4-го и 7-го поясничного позвонка, длина, постепенно уменьшаясь, доходит:

минимально от 12 до 18 мм,
максимально от 17 до 27 мм,
в среднем от 13,7 до 21,04 мм.

Ширина остистых отростков поясничных позвонков варьирует в пределах от 2,5 до 6 см. Из них наибольшую ширину имеют остистые отростки 6-го и 7-го поясничных позвонков, которые варьируют в пределах:

минимально 3 до 3,3 мм,
максимально от 4,5 до 6 мм,
в среднем от 3,8 до 4,8 мм.

На основании выполненных наблюдений можно сказать, что среди междужковых отверстий самым большим является пояснично-крестцовое отверстие. Его максимальная длина достигает 14, ширина 15 мм. Такая величина предоставляет нам возможность считать, что пояснично-крестцовое отверстие является самым удобным местом для проведения спинномозгового обезболивания.

Необходимо отметить, что максимальную длину и ширину имеет междужковое отверстие, образованное 6-м крестцовым и 1-м поясничными позвонками, которое доходит до 5—10 мм в длину и 3,5—10 мм в ширину. Поэтому указанные величины дают нам возможность сказать, что через все междужковые отверстия можно производить пояснично-спинномозговое обезболивание.

Таким образом, можно заключить, что наибольшее расстояние находится между поперечными отростками 3-го и 4-го позвонков, наименьшее — между 1-м—2-м позвонками. Такое измерение имеет большое значение при блокаде дорзальных и вентральных поясничных нервов.

Гојунларда бел-сүмүк эсасынын проекцион топографик анатомијасы һағында

ХУЛАСЭ

Гојунларда бел-сүмүк эсасынын проекцион топографик анатомијасы һәләлик өјрәнилмәмишdir. Она көрә дә биз өз тәдгигатымызы бу мәсәләнин өјрәнилмәсинә һәср етдик. Бу мәгсәдә наил олмаг үчүн 25 баш Азәрбајҹан даф мериносу вә бозах чинсли гојун үзәриндә тәдгигат апарылышдыр. Белә ки, һәмин һејванлар үзәриндә әvvәлчә бел наһијәсиин өлчүсү, бел фәгәрәләринин тин чыхынтыларының һәчми, фәгәрәрасы дәликләри диаметри мүәjjән едилемишdir. Бундан әlavә бел фәгәрәләринин яңи чыхынтылары арасындақы мәсафә вә иәнајәт, бел фәгәрәләринин гејри һиссәләри тәфриги шәкилдә өјрәнилмишdir.

Жухарыда көстәрилән мүрәккәб топографик-анатомик тәдгигат эн дүзкүн вә мүасир үсул олан диоптографики мүајинә үсулу илә апарылышдыр.

Апарылан тәдгигатлар иәтичесинде ашағыдақы иәтичәләр әлдә едилемишdir:

1. Бел-сүмүк эсасынын проекцион топографик анатомијасыны өјрәнәркән ајдын олмушdur ки, бел фәгәрәләринин гөвсарасы дәликләри ичәрисинде эн бөյүк дәлик бел-омба дәлијидир. Һәмин дәлик 14 мм максимал узунлуға, 15 мм исә максимал енлилијә маликдир.

2. Бел фәгәрәләри ичәрисинде I вә II фәгәрәләр эн јүксәк тин чыхынтыларына маликдир. Бунларын максимал узунлуғу 27—29 мм, минимал 17—20 мм, орта һесабла исә 22,54—24,36 мм-э чатыр. IV вә VII бел фәгәрәләринин тин чыхынтылары әvvәлкиләр инсбәтән хејли гысадыр. Белә ки, онларын узунлуғу: минимум 12—18 мм, максимум 17—27 мм, орта һесабла исә 13,7—21,04 мм-э кими чатыр.

3. Бел фәгәрәләринин көндәлән чыхынтылары арасында олан мәсафәләр ejни дејилдир. Саф вә сол тәрәфдә олан көндәлән чыхынтыларын ара мәсафәси: минимум 26, максимум 31, орта һесабла исә 28,22 мм олур. Нисбәтән кениш саһәј малик олан һәмин дәлик мұхтәлиф мәгәсдәләр үчүн апарылан шырынгалара әлверишли шәрант јарадыр.

4. Гојунларда бел-сүмүк эсасынын проекцион топографик анатомијасыны диоптографик үсулла өјрәнмәкә дүзкүн иәтичәләр әлдә едилир вә беләликлә дә бел синирләрини мұхтәлиф мәгсәдләрлә кеједишиләр үчүн асанлашыр.

HYDROBIOLOGIA

Ә. Н. ГАСЫМОВ, Һ. Б. БАБАЕВ

**МИНКӘЧЕВИР СУ АНБАРЫНЫН АШАҒЫ БЛЕФИНИН
БЕНТИК ФАУНАСЫ**

(Azərbaycan SSR EA akademiki A. N. Dəržavini təqdim etmişdir)

Күр чајынын бентик фаунасы чох зәиф тәдгиг едилмишdir. В. И. Жадин [6] вә А. А. Садовски [7] өз ишләrinidә Күр чајынын Күрчүстән әразисинидә олан һиссәсии өјрәнәрәк бир сырға марагы литерофил формалар гејд етмишләр. Бу чүр формалара баһарчылар, булагчылар, күндәчәләр вә мыгмығылар аиддиirlәр. Күр чајынын Азәрбајҹан республикасында олан һиссәси үчүн А. Н. Державин [2—5] тәрәфиnidән ашағыдақы нөвләр гејд едилмишdir: *Piscescola geometra* L., *Cystobranchus respirans* Trosch., *Paramysis kowalewskyi* Cz., *Dikerogammarus haemobaphes* Eichw., *Pontogammarus robustoides* O. Sars, *P. sarsi* Sov., *Astacus leptodactylus* Esch., *Potamon potamios* Oliv.

А. Н. Державин „Азәрбајҹаның һевиат аләми“ китабында илк дәфә олараг Азәрбајҹанын ширин су һөвзәләринин вә о чүмләдән Күр чајы фаунасынын инициаф тарихини вермишdir. Күрүн Минкәчевир шәһәри һиссәсийдә Р. С. Деникина [1] тәрәfinidән 15 нөв бентик һевианы гејд едилмишdir ки, бунларын да ичәрисинидә ашағыдақы һевианлар биринчи йеритутур: *Domphus flavipes* Charp., *D. vulgarissimus* L., *Heptagenia perflava* Brod., *Palingenia longicauda* Ol., *Hydropsyche acuta* Mägk. вә *Melanopsis praerosa* L.

Бентик һевианларын максимал инициафына чынгылларда вә сујун сакит ахан јерләrinidә раст кәлмәк олур. Бурада бентофаунанын бир квадрат метр саһәдә биокутләси 19,3 г-а, сајы исә 48 әдәдә бәрабәр олмушdur.

Күр чајынын бентофаунасы бизим тәрәfimizdәn 1955—1956-чы илләрдә Минкәчевир бәндидән Варвара кәндидә гәдәр олан саһәдә өјрәнилмишdir.

Һидрологи вә өкология хүсусијәтләре көрә Күр чајының иұмынә көтүрдүйүмүз јердә үч һиссәје бөлүгүк. Бу һиссәләр Күрүн бентофауна тәркибинидә дә әкс етдирилир.

Биринчи һиссә (Минкәчевир бәндидән Минкәчевир кәндииә гәдәр) дидинин тамамилә даш, чыңғыл вә гум өртүй, һәмчинин һидра вә су илбизләринин үстүнлүй илә характеристизә олуңур.

Иккичи һиссә (Минкәчевир кәндидән Күрәкчаја гәдәр) иисбәтән сујун җаваш ахмасы, чај саһилиндә макрофитләри олмасы вә тендиңдән сүрфәләринин үстүнлүй илә характеристизә олуңур.

Үчүнчү һиссәдә (Күрәкчајдан Варвара кәндииә гәдәр) лил торпагыны үстүнлүй илә әлагәдар олараг азгыллы гурдлар бөյүк рол ојнајыр. Күруң бентофаунасының җаялмасы вә онуң нөв тәркиби торпагыны характеристикалән, чајын ахма сүр'етиндән вә башга амилләрдән асылыдыр.

Лакин Минкәчевир су анбарының әмәлә кәлмәсендән соңра сујун шәффафлашмасы бентик организмләрни иикишафында әсас амил олмушудур. Күруң бизим тәдгигат етдијимиз рајонда олан һиссәсендә дид биосенозларына тез-тез раст кәлирик ки, буиларын да тәркибләрнән бә'зән һәм өзү үчүн вә һәм дә онда олан биотоплар үчүн тамамилә гејри-ади организмләрә тәсадүф едилмишdir.

Мәсәлән, Күр чајында типик литореофил *Simulium kurensae* Rubz. вә пелореофил *Aulodrilus limnophilus* Bret. раст олуңмалары чох марагылдыр. Буилара чајда тапылмыш будагларын, дашларын, чыңғылларын сәтиләрнән раст кәлмәк олур. Она көрә дә Күр бентосунун дид һеванларыны оиларын биотик әламәтләрни көрә еколожи груплара бөлмәк иши чох чәтиндир.

Күр чајында бизим тәрәфимиздән 25 нөв бентик һеваны тапылышдыр. Буилардан 3 нөвү аз гыллы гурдлар аиддир: *Nais communis* Ruge et., *Tubifex tubifex* (Müll.), *Aulodrilus limnophilus* Bret. Буилар үмуми бентофаунаның 12%-ни тәшкүл едир.

Күр чајы бентосунда иөвләрнің сајына көрә биринчи јери тендиңдид сүрфәләри тутур ки, бу да бүтүн фаунаның 28%-ни тәшкүл едир.

Тәдгигат иәтичесинде Күр чајы үчүн 4 биосеноз гејд едилмишdir. Литореофил биосенозу. Бу биосеноза Күр чајының биринчи һиссәсендә раст кәлинмишdir ки, бу да орадакы саһәнин 85—90%-ни тәшкүл едир. Күр чајының дикәр һиссәләрнән, дашлы торпаг олмадыры үчүн, литореофил биосенозуна раст кәлмәк олмур.

Гејд етмәк лазымдыр ки, литореофил биосенозу өз җаялмасында даш биотопу илә мәһдудлашмыр. Бу биосенозун тәркибинә фрагмент олараг ағач будагларының вә габыгларының үзәрнән тапылан һеванлар да дахил едилмишdir. Литореофил биосенозуны әсас иұмајәндәләри ашағыдақылардыр: *Hydra vulgaris* Pallas., *H. grisea* L., *Plumatella emarginata* Allm., *P. punctata* Hand., *Radix auricularia* (L.), *Melanopsis praerrosa* (L.) вә *Simulium kurensae* Rubz. Бу биосенозда бентик фаунаның 1 м² саһәдә орта биокүтләси 300 әдәдә бәрабәрdir. Бентос биокүтләсеннин әсас һиссәсеннин су илбизләри тәшкүл едир.

Псаммореофил биосенозу. Бу биосеноз Күр чајының биринчи һиссәсеннин медиал зонасының кичик бир саһәсениң тутур ки, бурада да сујун ахма сүр'ети һисбәтән зәифdir. Псаммореофил биосенозунда *Corbicula fluminalis* (Müll.), *Hydropsyche acuta* Mäk., *Tanytarsus* ex gr. *mancus* V. D. Wulp., *Cryptochironomus* ex. gr. *defectus* Kieff. үстүнлүк тәшкүл едир. Тәмиз гум биотопунда һеванларын 1 м² саһәдә орта мигдары 200 әдәдә, биокүтләси исә 0,8 г-а бәрабәрdir. Бу һиссәсеннин рипалиндә бә'зән *Astacus pylzowi* (Scor.) вә *Notonecta lutea* Müll. һеванларына раст кәлинмишdir.

Пелореофил биосенозу. Бу биосеноз Күр чајының үчүнчү һиссәсеннин вә иккичинин медиал саһәсениң әнатә едир. Бу биосенозда суда асылы һалда олан гум һиссәчиләри дайма дибә чөкдүкләри үчүн бентик һеванлар чох зәиф иикишаф етмишdir. Бурада 1 м² саһәдә

биокүтләси 0,08 г-а, орта сајы исә 120 әдәдә бәрабәр олан аз гыллы гурдлара тәсадүф едилмишdir.

Фитофил биосенозу. Күр чајының иккичи һиссәсеннин рипал зонасында фитофил һеванларын максимал иикишафына раст кәлмәк олур. Бу биосенозда тендиңедид сүрфәләринин бир сыра фитофил формаларына раст кәлмәк олур. Мәсәлән, *Cryptochironomus ex. gr. pararostratus* Lenz., *Psectrocladius ex. gr. psilopterus* Kieff., *Orthocladius semivirens* Edw., *Cricotopus ex. gr. silvestris* F., *Cricotopus latidentatus* Tsherg. Көстәрилән һеванлардан башга макрофитләр арасында һәмчинин *Ischnura rutilio* Chag., *Gerris lacustris* (L.), *gyrus suffriani* Seg. вә *Dytiscus circumflexus* F. йығылмышдыр.

Фитофил биосенозунда организмләрни орта сајы ухарыда көстәриджимиз биосенозларда тапылмыш һеванларын орта сајындан хејли чохдур. Фитофил биосенозунда һеванларын 1 м² саһәдә орта сајы 700 илә 900 әдәд арасында дәјишишdir. Буиларын биокүтләси һәр јердә 1—1,4 г/м² олмушудур.

Ухарыда дејиләнләрә әсасән гејд етмәк олар ки, Күр чајының Минкәчевир рајонунда, Минкәчевир су анбарының тикинтисиндән соңра зообентосун нөв тәркиби хејли дәрәчәдә артышдыр. Бу да әсас е'тибары илә сујун шәффафлашмасы илә әлагәдардыр.

Күр чајында бентик һеванларын максимал иикишафына сајча фитофил, лакин биокүтләчә литореофил биосенозунда раст кәлмәк олур.

ӘДӘВИЛДАР

1. Деньгина Р. С. К фауне осетровых перестилищ в Мингечауре. Изв. АзФАН СССР*, 1943, № 4, 2. Державин А. Н. Разведение осетровых рыб в Куре. Труды 13 съезда естествоиспыт. в Тифлисе. 1913. З. Державин А. Н. Севрюга, биологический очерк. Изв. Бакин. ихтиолог. лабор.*. 1922, № 1, 4. Державин А. Н. Каспийские Malacastraca в фауне рек южного Каспия. Русск. гидробиолог. журн.*. 1923, № 2. 5. Державин А. Н. Животный мир Азербайджана. Изд-во АН Азерб. ССР. 1951. 6. Жадин В. И. Fauna рек и водохранилищ. Труды Зоолог. ин-та АН СССР, № 3—4, 1940. 7. Садовский А. А. Материалы по кормовой базе промысловых рыб в бассейне верхней и средней Куры. Труды Зоолог. ин-та АН Груз. ССР, VI, 1946.

Зоологија Институту

Алымышдыр 6. II 1960

А. Г. Касымов и Г. Б. Бабаев

Донная фауна нижнего бьефа Мингечаурского водохранилища

РЕЗЮМЕ

Гидрофауна Куры нами исследована в 1955—1956 гг. от района Мингечаурской плотины до сел. Варвары, протяженностью около 18 км.

В Куре найдено 25 видов донных организмов, распределющихся по 4 биоценозам.

Литореальный биоценоз. Здесь встречены *H. vulgaris*, *H. grisea*, *P. emarginata*, *P. punctata*, *R. auricularia*, *M. praerrosa*, *S. kurensae*. Средняя численность донной фауны равнялась 300 экз./м², при биомассе 7,86 г/м². Основную часть биомассы бентоса составляют моллюски.

В псаммореальном биоценозе преобладают *C. fluminalis*, *Ph. acicula*, *T. ex gr. mancus*, *Cr. ex gr. defectus*. Количество организмов в биотопе чистого песка равнялось 200 экз./м², при средней биомассе 0,8 г/м². В рипали Куры встречаются *A. pylzowi* и *N. lutea*.

Пелореофильный биоценоз состоит из следующих видов олигохет *N. communis*, *T. tubifex*, *A. limnophilus*, биомасса которых была 0,08 г/м² при средней численности 120 экз./м².

В фитофильном биоценозе найдено *Cr. ex gr. paragrostratus*, *P. ex gr. psilopterus*, *O. semivirens*, *C. ex gr. silvestris*, *C. latidentatus*, *T. ruminlio*, *G. lacustris*, *G. suffracta*, *D. circumflexus*. Средняя численность биоценоза по сравнению с предыдущими биоценозами значительно больше и колебалась в пределах 700—900 экз./м². Биомасса везде равна 1—1,4 г/м².

Видовой состав зообентоса Куры в районе Мингечаура после постройки Мингечаврского водохранилища значительно увеличился, что связано, главным образом, с осветлением воды.

АЗЭРБАЙЖАН ССР ЕЛМЛӨР АКАДЕМИЯСЫНЫН МӘРҮЗӘЛӘРИ
ДОКЛАДЫ АКАДЕМИИ НАУК АЗЕРБАЙДЖАНСКОЙ ССР
ТОМ XVII

№ 2

1961

ФИЗИОЛОГИЯ

А. Г. ТАГИЕВА

ИНТЕРОЦЕПТИВНЫЕ ВЛИЯНИЯ С ЖЕЛЧНОГО ПУЗЫРЯ
НА ПРОНИЦАЕМОСТЬ КОЖИ

(Представлено академиком АН Азербайджанской ССР А. И. Каравым)

Проницаемость как одна из важных функций кожи, привлекала внимание исследователей. Эта способность кожи зависит от различных факторов.

И. П. Павлов и его последователи неоднократно указывали на то, что изменение функциональной способности кожи зависит от состояния центральной нервной системы. Многочисленными работами ряда исследователей также доказано взаимоотношение между внутренними органами и кожей.

В доступной нам литературе не освещен вопрос зависимости проницаемости кожи от влияния раздражения различных внутренних органов. Поэтому, по предложению акад. А. И. Каева, мы поставили перед собой задачу изучить поглотительную способность кожи при раздражении различных интерорецепторов.

В настоящей статье приводятся результаты наших работ по влиянию раздражения рецепторов желчного пузыря на проницаемость кожи.

Методика и результаты исследования. Наши исследования проводились в условиях хронического опыта на собаке Алабаш, имеющей фистулу желчного пузыря по Шваниу и выведенных мочеточников по Орбелли. Всасывательная способность кожи изучалась нанесением на кожу 2-х г 20%-ной салициловой мази, которая держалась на коже в течение 5 ч. Определение салициловой кислоты в моче производилось по методу Фридрехсена, модифицированному Толкачевской.

Для проверки всасывательной способности кожи без раздражения рецепторов желчного пузыря мы предварительно провели исходную серию опытов за май и по одному опыту в остальные месяцы.

Во время основных опытов с целью изучения влияния раздражения рецепторов желчного пузыря на проницаемость кожи в желчный пузырь вводился резиновый баллончик, который оставлялся в течение 30 мин

для адаптирования животного к раздражителю. Раздражение желчного пузыря производилось давлением в 60 мм рт. ст. в течение 3-х мин.

Сравнительное изменение проницаемости кожи без раздражения и при раздражении рецепторов желчного пузыря показано в таблице.

Таблица

Динамика выделения салициловой кислоты (мг %)
мочой у собаки Алабаш

Время взятия мочи, ч	без раздражения рецепторов желчного пузыря, № опыта								При раздражении желчного пузыря, № опыта									
	Опыт 8, май				41, июль				42, август				53, сентябрь				После новоканизации слизистой желчного пузыря	
	9, май	10, май	11, май	12, май	41, июль	42, август	43, сентябрь	53	39	40	42	43	53	44	55	52		
1	нет	—	—	—	—	—	—	—	0,24	—	0,16	0,21	0,13	—	—	—	—	
2	—	—	—	—	0,15	0,15	0,12	0,34	0,11	0,28	0,25	0,20	0,11	0,15	—	—	—	
3	0,13	0,11	0,12	0,11	0,13	0,32	0,34	0,31	0,44	0,18	0,46	0,25	0,38	0,26	0,30	0,14	—	—
4	0,15	0,15	0,18	0,22	0,24	0,34	0,38	0,31	0,56	0,28	0,51	0,36	0,38	0,27	0,36	0,16	—	—
5	0,26	0,15	0,30	0,32	0,36	0,40	0,46	0,50	0,66	0,36	0,57	0,48	0,56	0,42	0,48	0,27	—	—
Всего:	0,54	0,41	0,60	0,65	0,73	1,22	1,33	1,24	2,24	0,93	1,98	1,55	1,65	1,65	1,29	0,57	—	—

Из приведенных показателей видно что во время исходных опытов без раздражения рецепторов желчного пузыря, которые проводились в весенние месяцы, в течение первых 2 ч после нанесения салициловой мази на кожу салициловая кислота в моче отсутствует. Лишь после 2 ч салициловая кислота выделяется мочой. Причем на 3-м ч она выделяется в умеренном количестве, а в последующие 4-й и 5-й ч выделение ее несколько возрастает. По-видимому, она очень медленно и в ничтожных количествах проникает через кожу в подкожную клетчатку и в лимфо-капиллярную систему организма.

С целью уточнения влияния наружной температуры на всасывательную способность кожи для салициловой кислоты мы в течение остальных месяцев провели по одному опыту без раздражения рецепторов желчного пузыря.

Из таблицы видно, что в жаркие месяцы выделение салициловой кислоты в моче без раздражения рецепторов желчного пузыря со 2-го ч по количеству больше, чем в весенние месяцы. Если во время весенних месяцев в течение 5 ч в среднем выделялось 0,58 мг% салициловой кислоты, то во время летних месяцев ее количество равняется в среднем 1,28 мг%.

Таким образом, в жаркие месяцы выделение салициловой кислоты мочой ускоряется. Это явление свидетельствует о том, что проницаемость кожи зависит от степени нервно-рефлекторного расширения кожных капилляров и всей капиллярной системы организма под влиянием внешней температуры.

Если без раздражения рецепторов желчного пузыря салициловая кислота первые 2 ч в моче отсутствует, то после раздражения желчного пузыря в 1-й ч ее выделяется 0,24 мг%, во 2-й ч 0,34 мг%, а в остальные часы — в 1,5—2 раза больше, чем при исходных опытах.

Из показателей, полученных в опытах второй серии, видно, что раздражение рецепторов желчного пузыря, так же как и раздражение рецепторов желудка, стимулирует всасывание в кожу салициловой кислоты, и выделение ее начинается с 1-го ч после нанесения на кожу. Но нараст-

ание количества салициловой кислоты по часам в различные дни опыта неодинаково.

Из опытов 39 и 42 видно влияние инteroцептивного рефлекса на проникновение салициловой кислоты, причем прогрессирующий рост количества выделившейся салициловой кислоты резко выражен по сравнению с опытами, проведенными в весенние месяцы, без раздражения. Но опыты 43 и 53 показали некоторые индивидуальные особенности, а именно выделение с мочой по часам салициловой кислоты и ее нарастание происходит скачкообразно.

Результаты опыта 53 показывают, что стимулирующее влияние на всасывание салициловой кислоты при раздражении желчного пузыря возрастает после 1-го ч в течение 2-го и 3-го ч, но в течение 4-го ч выделение салициловой кислоты остается на том же уровне, что и в 3-й ч. В 5-й ч количество ее несколько увеличивается.

Несмотря на то, что во время опыта 40 также производилось раздражение рецепторов желчного пузыря, выделение салициловой кислоты с мочой начинается со 2-го ч, а нарастание салициловой кислоты по остальным часам значительно меньше, чем в других опытах этой серии. Представляет большой интерес еще и тот факт, что общее количество выделившейся салициловой кислоты в течение 5 ч в этом опыте меньше, чем в опытах, проведенных без раздражения рецепторов желчного пузыря. Это явление может быть связано с торможением деятельности коры головного мозга собаки, о чем свидетельствовало сонливое состояние ее на станке. Отсюда можем утверждать, что стимулирующее влияние с желчного пузыря на проницаемость кожи в отдельные моменты опыта не всегда одинаково. С другой стороны, это зависит от функционального состояния коры головного мозга.

Для выяснения природы полученных данных были проведены опыты с новоканизацией слизистой желчного пузыря. Для этой цели слизистая желчного пузыря орошалась 2%-ным раствором новокaina, а затем на рецепторы желчного пузыря наносилось раздражение.

Результаты проведенных опытов после новоканизации мало отличаются от данных, полученных при отсутствии раздражения рецепторов желчного пузыря, что доказывает рефлекторный характер полученного явления.

Выводы

1. Выделение салициловой кислоты с мочой без раздражения рецепторов желчного пузыря в весенние месяцы начинается с третьего часа после нанесения салициловой мази на кожу.

2. Проницаемость кожи одновременно зависит и от степени нервно-рефлекторного расширения кожных капилляров под влиянием внешней температуры.

3. Раздражение рецепторов желчного пузыря стимулирует проницаемость кожи, салициловая кислота выделяется с мочой с первого часа после нанесения мази на кожу.

4. Влияние раздражения рецепторов желчного пузыря на проницаемость кожи в отдельные моменты опыта не всегда одинаковое.

5. Проницаемость кожи зависит от функционального состояния коры головного мозга.

ЛИТЕРАТУРА

1. Павлов И. П. Полное собрание сочинений, т. II, кн. 2, М., 1951. 2. Толкачевская К. Количественное определение салициловой кислоты. «Лабор. практика», 1931, № 10.

Поступило 17. VII 1960

Сектор физиологии

Өд кисәси ресепторларынын гычыгандырылмасынын
дәринин кечиричилијине тә'сири'

ХУЛАСЭ

Тәчрубләримиз хроник шәрантдә өд кисәси фистуласы вә сидик гхарлары дәријә тикилмиш бир ит үзәриндә апарылыштыр.

Дәринин кечиричилик габилиjjетиниң өјрәнмәк мәгсәди илә тәмизләнмиш 8—9 вә 10-чу дөш фәгәрәләри наһиijәсиини дәрисине 20%-ли салисил туршусу мәліеминдең 2 г сүртүлүр. Салисил туршусунун сидикдә мигдары мәліемин дәријә сүртүлмәсендән 1 saat кечмиш Фридreichsenin Толкачевскаја тәрәфиндән дәжишдирилмиш үсулу илә 5 saat мүддәтиндә тә'јин едилүр.

Өд кисәси ресепторлары назик диварлы резин говугчугла 3 дәғигә мүддәтиндә 60 ми чивә сүтунуна бәрабәр тәзјигдә гычыгандырылдырылды.

Ади шәрантдә апарылан тәчрубләр көстәрди ки, салисил туршусу мәліемин дәријә сүртүлмәсендән 2 saat кечмиш сидиклә ифраз олумат бащаляйыр.

Өд кисәси ресепторлары гычыгандырылдыгда исә салисил туршусу дәријә мәліемин сүртүлмәсендән бир saat кечмиш сидиклә ифраз олунур.

Бу һадисиниң рефлектор тәбиәти өд кисәсиини селикли гишаасыны 2%-ли новакани мәһлүлүү илә ислатдыгдан соира гычыгандырмагла исбат едилди.

А. Д. МАИЛОВА-КАСУМОВА

СОСТОЯНИЕ ВЕГЕТАТИВНОЙ НЕРВНОЙ СИСТЕМЫ
ПРИ ПОЗДНИХ ТОКСИКОЗАХ БЕРЕМЕННОСТИ

(Представлено академиком АН Азербайджанской ССР А. И. Караваевым)

За последние годы уделяется большое внимание роли нервной системы в патогенезе позднего токсикоза беременных. Многочисленными исследованиями ряда авторов [5, 10, 12 и др.] показано, что наиболее ранней при поздних токсикозах беременности является вегетативная нервная система; однако роль этой системы в этиопатогенезе поздних токсикозов беременности пока еще достаточно не выяснена, а вопрос о значении симпатико-адреналовой системы в этиопатогенезе поздних токсикозов беременности в литературе не освещен. Гельгорн [4] отмечает, что симпатико-адреналовая система играет доминирующую роль в приспособительных реакциях, осуществляющихся в организме. А одним из показателей функциональной деятельности симпатико-адреналовой системы является направленность обмена адреналина и продуктов его превращения.

Мы занялись исследованием некоторых биохимических показателей состояния симпатико-адреналовой системы при данной патологии: содержания адреналиноподобных веществ в крови, определяемого по Шоу [16] в модификации С. Г. Жислиши и Н. А. Смажновой, коэффициента специфичности, являющегося показателем качественных сдвигов в отношении адреналиноподобных веществ, характера гликемических кризовых после нагрузки глюкозой и интенсивности алиментарной гипергликемии (по Гесену), которая, как указывает М. М. Эйдельман (14), в известной мере отражает функциональное состояние симпатико-адреналовой системы, поглотительной способности белков крови по отношению к аскорбиновой кислоте до и после нагрузки организма витамином «С» (по 0,25 г витамина «С» 4 раза в день регос в течение пяти дней), который, благодаря симпатикотропному действию использован нами в качестве функционального теста для изучения изменения состояния симпатико-адреналовой системы при токсикозах беременности.

Как указывает А. М. Утевский [11], аскорбиновая кислота является чувствительным «проявителем» характера и нарушения обмена адреналина в организме человека и вместе с тем может служить одним из тестов для выявления функционального состояния симпатико-адреналовой системы.

Под нашим наблюдением находилось 49 беременных, из них 16 клинически здоровых беременных во второй половине (контрольная группа) и 33 — с поздним токсикозом (4 беременные с отеком беременных, 16 — с нефропатией и 13 — с преэклампсией).

В результате проведенных исследований выяснилось, что у здоровых беременных во второй половине содержание адреналиноподобных веществ в крови колебалось в пределах от 0,8 до 6,8 мкг%, с преобладанием 1,6—4,5 мкг%. У беременных, страдающих поздним токсикозом беременности, содержание адреналиноподобных веществ в крови колебалось в пределах от 0,0 до 4,3 мкг% с преобладанием 1,0—3,5 мкг%.

Сравнение наших данных о содержании адреналиноподобных веществ в крови у беременных здоровых и с токсикозом второй половины с данными о содержании этих веществ в крови здоровых людей [16, 15, 6, 2] показало, что как у здоровых, так и у беременных, страдающих поздним токсикозом беременности, содержание адреналиноподобных веществ находилось в пределах нормы, причем у беременных с токсикозом второй половины пределы колебания содержания адреналиноподобных веществ несколько ниже, чем у здоровых беременных тех же сроков.

После нагрузки аскорбиновой кислотой у 8 из 12 повторно обследованных женщин с нормально протекающей беременностью содержание адреналиноподобных веществ в крови повысились и стало равным 1,6—5,9 мкг% с преобладанием 2,1—5,9 мкг%. У 14 из 20 беременных, страдающих поздним токсикозом различной степени тяжести, после нагрузки аскорбиновой кислотой так же, как и у большинства здоровых беременных, наступило повышение содержания адреналиноподобных веществ, оно стало равным 0,8—7,0 мкг% с преобладанием 1,6—5,9 мкг%. Однако анализ изменения коэффициента специфичности позволяет выявить наличие изменений в симпатико-адреналовой системе при поздних токсикозах.

Так, коэффициент специфичности у здоровых беременных второй половины до нагрузки аскорбиновой кислотой колебался в пределах от 0,4 до 1,45 с преобладанием 0,9—1,18; после нагрузки аскорбиновой кислотой у 2/3 обследованных наступило снижение этого показателя, который стал равным 0,64—1,25 с преобладанием 0,64—1,08, что может рассматриваться как показатель повышения тонуса парасимпатического отдела или как проявление изменения тонуса того и другого отдела вегетативной нервной системы одновременно. О повышении тонуса парасимпатического отдела вегетативной нервной системы здоровых беременных во второй половине говорят также результаты ранее проведенных нами исследований кожно-сосудистых реакций.

У беременных, страдающих поздним токсикозом беременности, коэффициент специфичности колебался в пределах от 0,0 до 1,44 с преобладанием 0,31—1,06, т. е. был ниже, чем у здоровых беременных таких же сроков. После нагрузки аскорбиновой кислотой у 14 из 20 повторно обследованных беременных с поздним токсикозом наступило повышение коэффициента специфичности, который стал равным 0,3—1,7% с преобладанием 0,71—1,5.

Повышение содержания адреналиноподобных веществ одновременно с повышением коэффициента специфичности у большинства беременных с поздним токсикозом указывает на то, что под влиянием аскорби-

новой кислоты происходит повышение тонуса симпатического отдела вегетативной нервной системы, находившегося в состоянии некоторого угнетения до нагрузки аскорбиновой кислотой.

Об изменении состояния симпатико-адреналовой системы при поздних токсикозах беременности говорят также результаты исследования поглотительной способности белков крови по отношению к аскорбиновой кислоте у беременных при этой патологии в связи с нагрузкой аскорбиновой кислотой.

У здоровых беременных во второй половине поглотительная способность белков крови до нагрузки аскорбиновой кислотой колебалась в пределах от 30 до 62% с преобладанием 36—58%, а у беременных, страдающих поздним токсикозом, — в пределах от 26 до 85% с преобладанием 29—54%; т. е. как у здоровых беременных, так и у беременных с токсикозом второй половины поглотительная способность белков крови находилась в пределах верхней границы нормы и выше ее.

После нагрузки аскорбиновой кислотой у 13 из 16 здоровых беременных наступило снижение этого показателя, у беременных же, страдающих поздним токсикозом, поглотительная способность изменяется различно, в зависимости от степени его выраженности. Так, у 3-х из 4-х повторно обследованных беременных с отеком после нагрузки аскорбиновой кислотой поглотительная способность, так же как у здоровых беременных, снизилась, тогда как у 8 из 12 беременных с нефропатией и у 7 из 9 беременных с преэкламсией в связи с нагрузкой аскорбиновой кислотой наступило ее повышение.

Повышение поглотительной способности белков крови по отношению к аскорбиновой кислоте у беременных с поздним токсикозом может быть проявлением изменений функции симпатико-адреналовой системы при этой патологии, а также оценивается как показатель «С»-витаминного дефицита у беременных при поздних токсикозах. Последнее подтверждается исследованиями ряда авторов [9, 13 и др.], а также и нашими [8].

Исследование интенсивности алиментарной гипергликемии также выявляет изменение не только в функциональном состоянии вегетативной нервной системы, но и позволяет судить о способности организма беременной потреблять углеводы в норме и патологии.

Интенсивность алиментарной гипергликемии у здоровых беременных во второй половине колебалась в пределах от 15 до 42, у беременных, страдающих поздним токсикозом, — в пределах от 6 до 74, причем чем более выражена степень тяжести токсикоза, тем шире предел колебания у них интенсивности алиментарной гипергликемии, что, по-видимому, связано с повышенной лабильностью вегетативной нервной системы, установленной ранее проведенными нами исследованиями [7].

После нагрузки аскорбиновой кислотой у 11 из 16 повторно обследованных здоровых беременных наблюдалось снижение интенсивности алиментарной гипергликемии, которая стала равной 4—10 и, по-видимому, также является проявлением повышения тонуса парасимпатического отдела вегетативной нервной системы.

У большинства беременных с поздним токсикозом также в связи с нагрузкой аскорбиновой кислотой наступило снижение интенсивности алиментарной гипергликемии, но оно выражено более резко, чем у здоровых беременных, и находится в прямой зависимости от тяжести токсикоза.

Снижение интенсивности алиментарной гипергликемии у беременных с поздним токсикозом после нагрузки аскорбиновой кислотой, по-видимому, связано как с угнетением функции симпатико-адреналовой системы, так и с повышением толерантности организма к углеводам.

Таким образом, нейрогуморальные нарушения, возникающие при

поздних токсикозах беременности вызывают многообразные реакции организма беременной. Полученные данные показывают, что поздний токсикоз беременных различной степени выраженности сопровождается изменением функции вегетативной нервной системы, выражющимся в повышении тонуса как симпатического (адреналиноподобные вещества, коэффициент специфичности), так и парасимпатического отдела ее (интенсивность алиментарной гипергликемии).

Как показывают наши исследования, при ранних токсикозах беременности эти изменения выявляются более резко, чем при токсикозах второй половины. Последнее, по-видимому, объясняется тем, что механизм развития токсикозов второй половины отличается от токсикозов ранних сроков, которые характеризуются усилением и извращением пищевых рефлексов, и, следовательно, более грубым нарушением регуляции обмена веществ, чем это имеет место при поздних токсикозах, при которых преобладают сосудистые расстройства [3].

На основании изложенного считаем нужным обратить внимание на то обстоятельство, что некоторая пестрота, трудная выявляемость, а иной раз противоречивость биохимических данных о состоянии вегетативной нервной системы при токсикозах второй половины беременности не только не исключают необходимость проведения этих исследований или оценки их значения для клиники, но, напротив, предполагают эту необходимость, так как именно эта пестрота и является показателем сложности нарушения функции при токсикозах второй половины беременности, определяющейся индивидуальными особенностями организма.

Использование результатов биохимических исследований функционального состояния вегетативной нервной системы в комплексе с другими клиническими данными будет способствовать не только выбору правильной терапии, но и индивидуализированной терапии, наиболее соответствующей каждому отдельному случаю.

ЛИТЕРАТУРА

1. Бакшт Г. А. Беременность и обмен веществ. Госмедиздат, 1929.
2. Барер А. С. «Бюлл. эксперим. биол. и мед.» 1958, 7, 3.
3. Гармашева Н. Л. «Вест. АМН СССР», 1957, 4.
4. Гельгорн Э. Регуляторные функции автономной нервной системы. Харьков, 1950.
5. Зубрицкая Е. В. Объед. науч. сессия Свердл. НИИ, ОММ и Моск. НИИ акуш. и гинекол. 1—3 дек. 1958 г., реф. науч. раб. 1958.
6. Каган Д. Э., Спивак Р. Я. «Врач. дело», 1949, 7.
7. Майлова О. Д. Тезисы докл. второй науч. сессии, посвящ. итогам науч.-исслед. работ в республике за 1955—1956 гг., Баку, 1957.
8. Майлова О. Д. Труды науч.-исслед. ин-та ОМД, т. IV, 1958.
9. Петченко А. И. Сб. раб. Ленингр. акуш. гинекол. об-ва, 1943.
10. Решетова Л. А. Тезисы докл. юбил. науч. сессии, ЦИАГ, 1947.
11. Утевский А. М. Витамины, 1953.
12. Ховбазур Р. Ж., 1957, 13.
13. Шуб Р. Л. «Вопросы материнства и младенчества», 1941.
14. Эйдельман М. М. о взаимодействии между адреналином и аскорбиновой кислотой при некоторых физиологических и патологических состояниях животного организма. Докт. дисс., Харьков, 1959.
15. Raab. Biochem. J. vol. 37, Okt. 1943, № 4.
16. Shaw. Biochem. J. 1938, 32, № 1.

НИИ охраны материнства
и детства им. Н. К. Крупской

Поступило 5. X 1960.

А. Д. Майлова-Гасымова

Намиләлијин икинчи јарысы токсикозлары заманы векетатив
синир системиниң вәзијјәти

ХУЛАСӘ

Намиләлијин икинчи јарысы токсикозларының өјрәнилмәси бөյүк
елми-тәчрүби әһәмијәтә маликдир, чүки бу патолокија намиләлијин

башга фәсадларына иисбәтән тез-тез һамиләлијин еркән позулмасына, ана бәттүндә дөлүн өлмәсінә вә ја ананы мұхтәлиф дахили үзвләрнін дә мүәјжән дәжишикликләри әмәлә қәлмәсінә сәбәб олур.

Бу патолокија заманы әсаң позгуилуг векетатив синир системинде кедир, анчаг бу системин ролу токсикозларын етиопатогенезинде һәлә киша жағдайда тәжірибелі табиғаттағы әсерлердің әсерінен өзгөрді.

Биз һамиләлијин икинчи јарысы токсикозлары заманы векетатив синир системиниң фәалијјәтини хүсуси оларғ өјрәнмәк мәгсәди илә ашағыдағы бир нечә биокимјәви көстәричиләрдән истифадә етмишик: гана адренергик маддәләрнің мигдары, спесифик әмсал, гана аскорбин туршусунун мигдары, зұлалларын аскорбин туршусунуң үдмә габилюїјәти, «С» витаминиң гадына беш күн мүлдәттіндә верәндән әввәл вә сонра тә'јини, гликемик әжри, Кенес әмсалы.

Мүшәнидә алтына 49 һамила гадын алынышдыр; онлардан: 16 һамиләлә нормал инициаф едән һамиләликлә—контрол группада 33 һамиләлијин икинчи јарысы токсикозлары илә.

Апарылан мұајинәләр иәтичәсіндә мәлүм олмуштур ки, һамиләлијин икинчи јарысы токсикозлары заманы векетатив синир системиниң функционал вәзијјәти позулур ки, бу да онун һәм симпатик, һәм дә парасимпатик синир системи тонусуну артмасы илә өзүнү қөстәри.

Апарылан мұајинәләр көстәрир ки, һамиләлик токсикозларының мұаличесіндә аді үсулларла жанаши, бириңи нөвбәдә векетатив синир системиниң функционал вәзијјәтіндә әмәлә қәлмиш позгуилуглары арадан галдырымаг лазымдыр. Бунун үчүн векетатив синир системиниң функционал вәзијјәтини јохламаг мәгсәди илә биокимјәви үсуллардан да истифадә етмәк лазымдыр.

МЕДИЦИНА

Г. А. ТАГИЕВ

**ФИТОНЦИДОТЕРАПИЯ НЕКОТОРЫХ ФОРМ
ВНЕЛЕГОЧНОГО ТУБЕРКУЛЕЗА**

(Представлено академиком АН Азербайджанской ССР М. А. Топчибашевым)

Одним из актуальных и еще не вполне решенных вопросов медицины остается лечение нагноившихся туберкулезных процессов.

Для лечения нагноившихся туберкулезных лимфаденитов, холодных абсцессов и туберкулезных поражений кожи предложено много медикаментозных способов. Однако, несмотря на бесчисленные антисептические вещества и антибиотики, ни один из них пока не является поливалентным и универсально действующим на все гноеродные бактерии, а также на бациллы Коха.

На основании литературных данных и собственных клинических наблюдений, мы убедились в том, что в связи с устойчивостью туберкулезных палочек к известным нам антибиотикам нередко результаты лечения остаются без эффекта. Туберкулезные палочки (бациллы Коха) по сравнению с другими микробами очень устойчивы к внешним воздействиям. Установлено, что выделяемые туберкулезные бациллы в мокроте больного остаются живыми на открытом воздухе в течение 3—8 месяцев. Напомним также, что в 5%-ном растворе карболовой кислоты они остаются живыми от 12 до 24 ч, в 10—15%-ной серной кислоте от 10 до 30 мин. Устойчивость туберкулезных бацилл, по всей вероятности, связана с биологическими свойствами их воскообразной оболочки.

Было испытано действие многих медикаментов на туберкулезные бациллы, но прямодействующего на туберкулезную бациллу медикамента еще до сих пор не найдено.

После открытия антисептиков растительного происхождения — фитонцидов Б. П. Токиным в 1928 г. их начали применять в хирургической практике. М. А. Топчибашев применял их при лечении инфицированных ран в эксперименте и наблюдал хорошие результаты.

В хирургической клинике Азербайджанского института усовершенствования врачей, руководимой засл. деят. наук проф. Г. К. Алиевым,

мы, начиная с 1949 г., применяем фитонцидотерапию при лечении гнойных заболеваний и упорно незаживающих язв с хорошим результатом.

С целью изучения действия фитонцидов до применения их в клинике мы провели опыты на 100 кроликах и морских свинках. Методики применения фитонцидов в эксперименте и клинике были идентичными.

Результаты экспериментальных исследований по действию фитонцидов показали, что фитонциды чеснока и лука, вводимые с лечебной целью в организм, действуют положительно: улучшают морфологию, биохимию крови, ускоряют регенеративный процесс. Кроме того, фитонциды чеснока и лука действуют на нервно-сосудистую систему, обладают биологическим стимулирующим действием на весь организм.

Для лечения инфицированных ран и гнойных заболеваний мы располагаем нижеследующими препаратами фитонцидов чеснока:

1. Солалсат (солюцио—раствор, аллиумсативум—чеснок. Солюцио—аллиумсативум—сокращенно солалсат—раствор из чеснока; наше название. — Г. Т.).

2. Парообразные фитонциды, извлекаемые аппаратом «Фитонцидоизвлекатель» (нашей конструкции).

3. Эмульсии фитонцида чеснока с нафталаном по М. А. Топчибашеву.

4. Фитонцидовая мазь в следующем составе: солалсат — 10,0+витамин С — 5,0 + дерматол — 6,0+анестезин или новокайн — 1,0+деготь 8,0+рыбий жир — 100,0.

Для получения указанных препаратов фитонцидов мы брали чеснок совершенно без признаков гниения. После очищения кожуры долек чеснока обмывались в физиологическом растворе или дистиллированной воде, затем опускались в спирт на 3 мин. Из очищенных долек чеснока в фарфоровой ступке или другим механическим путем в стерильных условиях приготавлялась кашица, которая процеживалась через двухслойную салфетку. Из полученного очищенного натурального сока чеснока приготавлялись растворы, эмульсии с нафталаном и мазь.

Для приготовления солалсата 1 мл сока чеснока растворяется в 10 мл физиологического раствора или дистиллированной воды. Полученный таким образом раствор применяется при лечении инфицированных ран, туберкулезных нагноительных процессов.

Парообразные фитонциды получаются с помощью аппарата «Фитонцидоизвлекатель». Для получения фитонцидо-чафталановой эмульсии берется чистый сок чеснока, профильтрованный через марлю, в количестве 1 мл и разводится в 10 мл нафталана.

Фитонцидową мазь — можно приготавлять 10%-ной или 20%-ной в вышеуказанном составе.

Нами проводилась фитонцидотерапия некоторых форм внелегочного туберкулеза. Аналогичную работу в литературе мы не нашли.

Под нашим наблюдением был 41 больной со специфическими нагноившимися лимфатическими железами шеи, паха, холодными абсцессами, туберкулезными поражениями кожи, хроническими свищами. Из них: мужчин — 33, женщин — 8; до 15 лет — 18, до 20 лет — 8, до 30 лет — 5, до 35 лет — 7, до 50 лет — 2, до 55 лет — 1 человек. По характеру локализации процесса: нагноившийся шейный лимфаденит — 14, нагноившийся паховый лимфаденит — 7, холодный абсцесс паховой области — 4, поясничной области — 2, туберкулезное поражение кожи затылка — 3, хронические специфические свищи — 11 случаев. Давность заболевания: до 1 года — 9, до 2—8, до 3—4, до 4—4, до 5—3, до 10—5, больше 10—8 случаев.

Указанные больные до нас лечились почти всеми существующими способами терапии. Некоторые из них многократно подвергались оперативному лечению, но без особого эффекта.

Наших больных мы распределили на 3 группы.

К первой группе отнесено 12 больных, которые нами были оперированы. У этих больных после вскрытия гнойника полость раны орошалась солалсатом. В дальнейшем эти раны лечились парообразными фитонцидами. После ежедневного воздействия парообразными фракциями на 10 мин на поверхность ран накладывали повязки с примочкой солалсата. Во второй фазе заживления ран после воздействия парообразными фитонцидами на поверхность ран накладывали повязки с фитонцидовой мазью до окончательного заживления.

Ко второй группе отнесено 8 больных с обширными, длительно незаживающими туберкулезными язвами, которые лечились по аналогичному методу, но без оперативного вмешательства.

Результаты вышеуказанного метода лечения показали, что парообразные фракции фитонцидов чеснока и лука являются самыми мощными фитонцидами, обладающими наиболее выраженным действием на нервно-сосудистую систему. Это подтверждается быстрым изменением характера и цвета ран и язв. Благодаря сосудорасширяющему действию фитонцидов раны и язвы, начиная со второго же дня, приобретают свежий розовый цвет, покрываются зернистыми грануляциями, быстро эпителилизируются с последующим гладким рубцеванием.

К третьей группе отнесен 21 больной со специфическими нагноившимися лимфаденитами и хроническими специфическими свищами. Этим больным после отсасывания гноя шприцем вводили 5—10 мл солалсата.

В зависимости от давности заболевания и обширности поражения удлинялся срок лечения этих больных, иногда инъекции солалсата повторялись до 10 раз через день.

ЛИТЕРАТУРА

1. Баланчук Л. Д. Об антисептическом действии сока чеснока и других растений на туберкулезную палочку. «Проблемы туберкулеза», 1948, 3. 2. Тагиев Г. А. Значение фитонцидов в жизни человека. Азернешир, 1951. 3. Его же. Некоторые экспериментальные данные по фитонцидотерапии ран. «Аз. мед. ж.», 1956, 5. 4. Его же. Некоторые биохимические данные при фитонцидотерапии. Труды АзИУВ, т. II, 1956.
5. Его же. Некоторые клинические данные по фитонцидотерапии инфицированных ран и гнойных заболеваний. «Аз. мед. ж.», 1957, 4. 6. Его же. Аппарат «Фитонцидоизвлекатель». Тезисы докл. 1-й Респ. конф. изобрет. и рационал. в области медицины, 1957. 7. Его же. Некоторые клинические данные о лечении нагноившихся туберкулезных лимфаденитов холодных абсцессов фитонцидами. Тезисы докл. науч. сессии АН Азерб. ССР, 1957. 8. Его же. Материалы по фитонцидотерапии инфицированных ран и некоторых гнойных заболеваний в клинике и эксперименте. Автореф., 1958. 9. Его же. Фитонцидотерапия длительно незаживающих язв. Труды АзИУВ, т. IV, 1960.
10. Его же. Фитонцидотерапия внелегочного туберкулеза. Тезисы XIX юб. сессии АзИУВ, 1960. 11. Токин Б. П. Фитонциды. М., 1948. 12. Его же. Губители микробов—фитонциды. М., 1951. 13. Топчибашев М. А. Опыт лечения инфицированных ран эмульсией. «Вестн. АН Азерб. ССР», 1948, 8.

Азербайджанский институт усовершенствования врачей

Поступило 1. IX 1960.

Г. Э. Тағыев

Аг чијэрдә кәнар вәрәмин бә'зи формаларынын
фитонцидләрлә мүаличәси

ХУЛАСӘ

Иринләмиш лимфоденит, вәрәм абсесләrinin вә дәри вәрәminin мүаличәsi назырда чәрраһијәnin эсас мәсәләләrinдән бири һесаб олунур.

Көстәрилән хәстәликләри мүаличә етмәк мәгсәди илә тәклиф едилмиш бир чох дәрманлар, антибиотикләр вә ja антиспецик маддәләриниң һеч бириңи ириилядичи микроблара вә о чүмләдән Кох басилләриниң елдүрүчү тә'сир етмир.

Биз фитонсидләриң үмуми тә'сирини 100 довшан вә 25 дәниз донузы үзәриндә өјрәндикдән сонра, онлардан чәрраңијә клиникасында истифадә етмәјә башладыг. 1949-чу илдән башлајараг ирии хәстәликләриң, сағалмајан јараларын фитонсидләрлә мүаличәсендән јахши иетичә әлдә едирик. Бу мәгсәдлә биз сарымсаг фитонсиди олан ашағыдақы препаратлардан истифадә едирик:

1. Солалсат (солујусио—мәһилул, аллиумсативум—сарымсаг, солалсат—сарымсаг ширәси мәһилулу; адлар бизимдир—*H. T.*).

2. Бухарланан фитонсидләр. Бу нөв фитонсидләри алмаг үчүн «фитонсид һасыл едән» апаратдан истифадә едирил (бизим конструкция).

3. Фитонсид нафталан емулсијасы (акад. М. А. Топчубашовун үсулу илә).

4. Ашағыдақы тәркибдә фитонсидлә һазырланмыш јағ: солалсат—10,0+C витамины—5,0+дерматол 6,0+анестезин вә ja новокайн—1,0+гәтран—8,0+балыг јағы—100,0.

Бизим мушаһидәмиз алтында 41 нәфәр вәрәм ириилюи олан хәстә олмушдур. Бојун нахијәси лимфа вәзифәләринин ирииләмәси 14; гасыг нахијәси лимфа вәзиләринин ирииләмәси 7; гасыг нахијәсинин сојуг абсеси 4; бел нахијәсинин абсеси 2; эисә нахијәси дәрисинин вәрәми 3; хроники вәрәм фистуласы 11 нәфәрдә олмушдур.

Хәстәлик 1 илә гәдәр 9; 2 илә гәдәр 8; 3 илә гәдәр 4; 4 илә гәдәр 4; 5 илә гәдәр 3; 10 илә гәдәр 5; 10 илдән јухары 8 нәфәрдә давам етмишdir.

Һәмин хәстәләр бизә гәдәр терапијасын мә'лум олан бүтүн үсуллары илә мүаличә едилмиш, лакин еффектли иетичәләр алымамышдыр.

Мушаһидәмиз алтында олән хәстәләр 3 группа айрылмышды.

Биринчи группа 12 нәфәр дахил иди. Һәмин хәстәләрин вәрәм ириилюи чәрраңијә үсулу илә јарылдыгдан сонра јара бошлукуна солалсат јеридилирди. Сонralар исә һәмин јаралар бухарланан фитонсидләрлә күндә 10 дәгигә әрзиндә бухарландырылдыгдан сонра опларын үзәринә солалсатла исладылмыш сарғы гојулурду. Јаранын сағалмасынын иккичи дөврүндә бухарланан фитонсидләрлә тә'сирдән сонра јаранын үзәринә фитонсидлә һазырланмыш јағда исладылмыш сарғы гојулурду.

Иккичи группа вәрәм јарасы узун мүддәт сағалмајан 8 нәфәр анддир. Бүнлар да әмәлийјат олмадан биринчи группда олан хәстәләр кими мүаличә едилмишләр.

Үчүнчү группа хроники вәрәм фистулу олан 21 нәфәр хәстә анддир. Бу хәстәләрин фистулуидан шприте васитәси илә ирии чәкилдикдән сонра, онун дахилинә 5—10 мл солалсат јеридилирди. Бу нөв мүаличә хәстәлијин даваметмә мүддәтиндән асылы олараг бир күндән бирдән 10-а кими тәкrap едилди.

Јерли вәрәм просесләриңиң мүаличәсендә фитонсидләриң сон до-рачә јахши иетичә вермәсииң бахмајараг, үмуми гәбул едилмиш үсуллар, санаторија-курорт мүаличәси вә комплекс мүаличә дә нәзәрдә туулмалыдыр.

ИСКУССТВО

П. А. ГАДЖИЕВ

ИЗ ИЛЛЮСТРАТИВНОГО НАСЛЕДИЯ НАРОДНОГО
ХУДОЖНИКА А. АЗИМ-ЗАДЕ.

(Представлено академиком АН Азербайджанской ССР М. А. Усейновым)

В статье, посвященной А. Азим-заде — мастеру политического плаката, мы указали на насущную необходимость постановки вопроса специального исследования различных областей многогранного творчества художника¹. Азим-заде — мастера книжной иллюстрации, безусловно, ярко характеризует его известная серия цветных литографий к «Хопхоп-намә» М. А. Сабира, о которой написано специалистами относительно много. Однако необходимость введения в научный обиход ранее неизвестных иллюстративных циклов художника диктуется не только целесообразностью создания общей картины наследия его в исследуемом жанре графических искусств, но быть может, в большей степени, определением стиля, основных закономерностей, присущих творческой индивидуальности А. Азим-заде.

В этом смысле характерна антирелигиозная серия к повести «Пир» («Святынице», 1930) Н. Нариманова. В ней пять страничных рисунков А. Азим-заде, два из них относятся к иллюстрациям действия или декоративно-сопроводительным, остальные три — к типу психологической иллюстрации. Все они выполнены карандашом с последующей перовой штриховкой и выдержаны в спокойной, повествовательной манере произведения; они последовательно, фрагментарными акцентами раскрывают сюжетную линию повести. Н. Нариманов, суровыми реалистическими красками изобличает ложь и лицемерие, предательство и страх, на которых основана жизнь тунеядцев, представителей религии². В первой иллю-

¹ П. А. Гаджиев. Народный художник А. Азим-заде — мастер политического плаката. «ДЛН Азерб. ССР», 1960, № 7.

² Н. Нариманов. Сочинения. Азербайжан, 1956, вступ. ст. М. Ибрагимова (на азерб. яз.). Исчерпывающая характеристика данной иллюстративной серии дана в канд. дисс. «Азербайджанская советская графика» (1920—1940), подготовленной наим в Институте архитектуры и искусства АН Азерб. ССР в 1956—1960 гг.

страции, помещенной на обложке, дана сцена обмана муллой Джадар-кули простодушного сельского чабана. Это начало иллюстративного цикла. Концевая страничка иллюстрация изображает некогда забитую и слабую Гюльбадам, которая, спасая свое измученное дитя, разоблачает перед народом тайну «святыни». Основные персонажи наделены в композиции острой психологической характеристикой, которая дает ясное представление о происходящем. Эту серию иллюстраций отличает тонкое чувство художником стиля писателя.

Значительна серия иллюстраций к повести «Письма из ада» А. Ахвердиеva (1930), которая насчитывает 22 рисунка. В основном это иллюстрации действий. Удачны по глубине психологической характеристики пять форматных рисунков к сборнику рассказов того же автора «Мои олени» (1927). Полными юмора, изящными заставками-иллюстрациями оформлены заглавные страницы сборника рассказов «Авось да возвратят» Дж. Мамедкулизаде (1927). К числу лучших портретных иллюстраций Азим-заде относятся рисунки к поэме Г. К. Санылы «Борьба за честь» (1927) и страницы композиций к повести «Пламя души» А. Дивашибекоглы.

А. Азим-заде принадлежит специальная книга-альбом «Силиниши келгеляр» («Тени прошлого», 1937), в которой художник в 26 рисунках ведет рассказ о дореволюционном Баку. В отличие от красочных акварелей из знаменитой серии «Сто типов», «Тени прошлого» выполнены отмыткой, в них почти не применен линейный, первоый рисунок. Используя специфические возможности композиции иллюстрированного разворота, создавая единую изобразительную плоскость и нечто цельное и взаимосвязанное, художник показывает сцены старого быта. Зритель видит в основном однофигурные композиции, изображающие различных представителей дореволюционного общества. А. Азим-заде нашел логическую связь между тремя основными элементами иллюстрированного разворота — текстом, рисунком и полем. В каждом отдельном случае эта связь носит особый характер. Краткие надписи к иллюстрациям («Куче молласы», «Фалчи», «Чайчи» и др.) художник использует как активный элемент композиции разворота; своим расположением к рисунку тексты усиливают его эмоциональное воздействие. Поля в качестве нетронутой белой поверхности, обрамляя рисунки, контрастируют с их светло-голубым оттенком.

В книге «Старый Баку» Г. К. Сарабского Азим-заде выступил как художник-иллюстратор и вместе с тем оформитель³. Серьезное внимание художник уделил элементам ее внешнего, декоративного оформления: иллюстрированная обложка по-своему лаконична и проста. Исполненный цветной акварелью листовой фронтиспис изображает старую бакалейную лавку в ее характерном убранстве. Из шести внутритекстовых страничных рисунков по выразительности композиционного решения, по смелости и свободе исполнения следует особо отметить сцену обручения, которая дает яркое представление об этом народном обычаяе. Этот лист является собой вершину достижений Азим-заде — мастера первого рисунка! Не только характерные типажи, яркие драпировки, блеск и богатство, общее радостное настроение, собравшихся в этой маленькой и тесной комнатае женщин, но и ритм темпераментного народного танца и музыки великолепно прочувствованы и переданы художником.

Эта книга по единству, по согласованности внутренних и внешних элементов оформления является замечательным памятником содружества

³ Г. К. Сарабский. Старый Баку. Азернешр, 1939 (на азерб. яз.); второе издание, Изд-во АН Азерб. ССР, 1958. В последнем издании его редактором А. Г. Сарабским использованы и другие рисунки, по всей вероятности, в свое время созданные Азим-заде по мотивам «Старого Баку».

писателя и художника-иллюстратора. Она была последней серьезной работой А. Азим-заде в «большой» книге⁴.

До сих пор нам была известна лишь одна детская книга Азим-заде, созданная на основе народной сказки «Петух» (1942). Ныне мы можем констатировать, что иллюстрации для маленьких занимали художника и в ранние годы. В 1927 г. он создал многокрасочную серию иллюстраций к детским сказкам в стихах «Буйный вол» Г. К. Санылы. Этот крупноформатный альбом на каждой странице имеет по 3—4 рисунка, в лаконичной и увлекательной форме, без особых детальных проработок, передающих сюжет каждого рассказа.

Творческую индивидуальность А. Азим-заде — интерпретатора образов азербайджанской литературы пополняют и его труды в области декоративного оформления изданий художественной литературы. Это книги «Вавейла», «Шейх Шабан», «Горькие воспоминания», «В тени дерева», «Письма из ада», «Мои олени» А. Ахвердиева, «Авось да возвратят», «Избранные сочинения» Дж. Мамедкулизаде, «Лиса-паломница» А. Шанка, «Эрек Тукезбани», «Сорок ударов» Б. А. Талыблы, антирелигиозная брошюра «Фанатизм и религия» Г. Джабиева.

А. Азим-заде, как классик и один из видных основоположников азербайджанского советского изобразительного искусства, отличался большой разносторонностью интересов, универсальностью творческих исканий. Как лииза собирает в фокус все световые лучи, так и творчество народного художника собрали и преломило в себе наиболее интересные и ценные тенденции азербайджанской советской книжной графики первых двух десятилетий ее становления и развития.

Институт архитектуры и искусства

Поступило 28. XI 1960.

Л. Э. Іачыјев

Халг рәссамы Эзим Эзимзәдәниң китаб иллүстәрләре ирсәндән

ХУЛАСЭ

Классик рэссамымыз Э. Эзимзадэниң чохчөйтли јарадычылығының айры-айры саһәләрини мүкәммәл тәдгиг етмәк мәсәләси мәгаләләри-миздән бириндә ирәли сүрүлмүшдү. Бу мәгаләдә исә Э. Эзимзадә китаб иллүстрасијасы устасы кими сәчијјәләндирilmиш, рэссамын идијә гәдәр намә'лум иллүстрасијалары силсиләснидән нұмунәләр верилмишdir. Э. Эзимзадә јалиның халг шаири М. Э. Сабириң күллијатына чәкдији рәнкلى литографија рәсмләри илә («Һоп-һопнамә»нин 1914 вә 1922-чи илләрдәкى нәшрләри) кифајәтләнмәшиш, көркәмли јазычыларыныздан Н. Нәrimанов, Ч. Мәммәдгулузадә, Э. Һагвердиев, Н. К. Салылы, А. Диванибәјөглу, Б. А. Талыбылы, А. Шаиг вә С. Һүссејин да әсәрләрине иллүстрасијалар вермишди.

⁴ За год до смерти Азим-заде создал серию иллюстраций к детской книге-альбому «Петух» (1942).

АРХЕОЛОГИЯ

О. Ш. ИСМИЗАДЕ

ГЛИНЯНЫЕ МАСЛОБОЙКИ ИЗ МИЛЬСКОЙ СТЕПИ

(Представлено академиком АН Азербайджанской ССР А. А. Ализаде)

Осенью 1958 г. вела работу археологическая экспедиция по раскопкам холма Каратепе, расположенного в Мильской степи. Этот холм представляет собой небольшое поселение, относящееся к первому тысячелетию до новой эры. Результаты обследования холма показали, что он образовался вследствие искусственного насыщения земли, остатков разрушенных стен, золы, угля, фрагментов керамики и других предметов человеческой деятельности на протяжении многих столетий.

В процессе раскопок во втором культурном слое холма, начинающемся с глубины 0,8 м от вершины и доходящем до глубины около 2,3 м, выявлены остатки стен небольших прямоугольных помещений, сложенных из сырцовых кирпичей крупных размеров. По углам этих помещений, непосредственно у основания стен, отмечены очажные места с большим скоплением золы и древесного угля около них. За кладками стен были тендиры, верхняя часть которых почти совсем разрушена. Встречаются хозяйствственные, выгребные ямы и водяной колодец. Большой интерес представляют вещественные памятники второго слоя. Они состоят из каменных зернотерок, терочников и пестов, предметов украшений из меди и бронзы и большого количества глиняных изделий. Керамические сосуды, выявленные во втором слое Каратепе, имеют свои аналогии в глиняных изделиях, присходящих из Джавархана, Ялойлутепе, Мингечавура, Алазани и других районов распространения ялойлутепинской культуры.

К ним относятся вазы на высоких цилиндрических ножках, заканчивающихся расширяющимся дисковым основанием, чаши с наклонными насечками по периметру утолщенного венчика, кувшины с трехлепестковым венчиком, имеющим желобчатый слив, зооморфная керамика с налепным изображением животных и др. По залеганию пластов и характеру материалов второй культурный слой холма относится, примерно ко II половине I тысячелетия до н. э.

Среди выявленных бытовых сосудов были также глиняные маслобойки и их фрагменты. Эти маслобойки отличаются довольно крупными размерами и хорошим ложением поверхности. Одна из маслобоек обнаружена при расчистке большой хозяйственной ямы, открытой на глубине 1,8 м. Она лежала в северном срезе ямы и представляла собой фрагменты. Маслобойка реставрирована. Она имеет грушевидный корпус, суживающийся к основанию. На широкой части корпуса горизонтально расположена ручка круглого сечения, имитирующая витую ручку. С левой стороны ее имеется круглое отверстие (диаметр — 3 см) для трубочки. Горловина имеет круглую форму, расширяющуюся кверху и заканчивающуюся отогнутым наружу венчиком. Плечо сосуда украшено тремя резными линиями, опоясывающими верхнюю часть маслобойки со всех

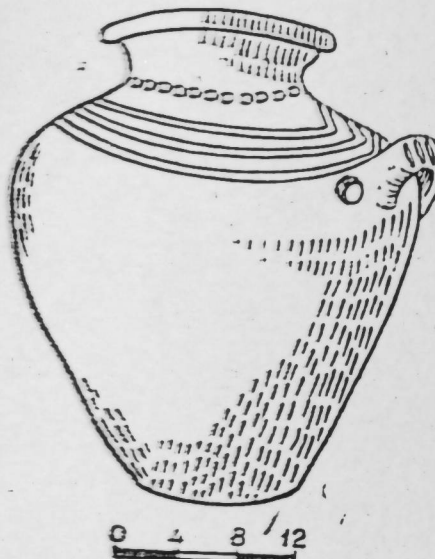


Рис. 1

сторон. Над этими линиями проведен поясок точечных углублений в один ряд. Маслобойка изготовленаручным способом без использования гончарного станка. Размеры: высота — 41, большой диаметр — 37,5, диаметр венчика — 14, днища — 13 см (рис. 1).

Другая глиняная маслобойка на Каратепе была обнаружена на глубине 1,5 м. Она лежала у основания скопления золы и древесного угля. Кладки сырцовой стены в большом скоплении золы и древесного угля. Поверхность маслобойки тщательно защищена. Петлевидная ручка круглого сечения расположена на большом диаметре корпуса. Тулово маслобойки грушевидное, расширяющееся кверху. Венчик отогнут наружу. С левой стороны ручки расположено маленькое круглое отверстие для трубочки. По своим размерам эта маслобойка несколько меньше предыдущей. Размеры: высота — 33, большой диаметр — 31,6, диаметр венчика — 13,5, диаметр днища — 10,5 см (рис. 2).

Фрагменты глиняных маслобоек серого и черного цвета на Каратепе были обнаружены и раньше. Среди них два плоских днища маслобоек красно-бурового цвета. С внутренней стороны в центре одного днища

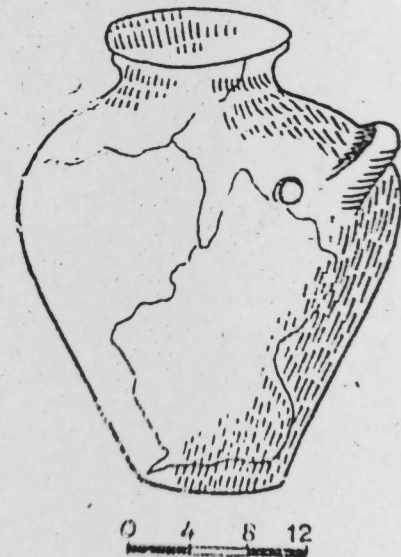


Рис. 2

расположены два цилиндрических выступа с отбитыми вершинами. На другом фрагменте днища сохраняется один только выступ тоже с отбитой вершиной. Нам кажется, что эти типы маслобоек с выступами на днище относятся к несколько позднему периоду. Выступы на днище маслобойки служили, вероятно, для ускорения процесса изготовления масла. Указанные фрагменты лежали в завале золы и угля, выявленного на глубине 1,5 м. Недалеко от этого скопления золы было открыто прямоугольное помещение, стены которого идут с северо-востока на юго-запад.

Глиняные маслобойки обнаружены также в Мингечауре¹, Варданлы², Хайларе³, Кировабаде⁴, Човдер⁵ и других местах Азербайджана. Некоторые из них отличаются от каратепинских маслобоек сравнительно маленькими размерами. С. М. Казиев варданлинскую маслобойку датирует VIII—VII вв. до н. э.⁶.

Однако каратепинские маслобойки к этому периоду не относятся. Они имеют несколько более крупные размеры и очень маленький бортик отверстия для трубочки. Это различие в конструкции сосудов, форма корпуса, широко отогнутого наружу венчика и целый ряд других признаков, а также стратиграфия залегания пластов дает основание отнести каратепинские маслобойки примерно к V—III вв. до н. э. Другие материалы, выявленные в этом слое, характерны также для указанного периода.

Как известно, изготовление молочных продуктов имеет очень глубокую историю. Сравнение археологических материалов с данными этнографии позволяет найти корни этого процесса, ведущие к седой древности.

Найдка глиняных маслобоек и других материалов дает также возможность иметь некоторое представление о хозяйстве древнего населения Мильской степи и об изготовлении молочных продуктов в прошлом.

Для выяснения процесса изготовления молочных продуктов в древности большую помощь оказывает нам этнография. Этнографические параллели позволяют воссоздать культуру и быт наших далеких предков.

Известно, что в настоящее время в районах Азербайджана все еще встречаются случаи, когда масло взбивают в глиняных маслобойках (неңрә) таким же способом, каким приготавливали его тысячу и более лет тому назад.

Говоря о маслобойках, обнаруженных в других районах Азербайджана и относящихся к более древнему периоду, следует отметить, что в отношении маленьких размеров глиняных маслобоек, происходящих из Варданлов, С. М. Казиев высказывает предположение, что масло в то время взбивали не из кислого молока, как это делается в настоящее время, а из сливок⁷.

Количество найденных фрагментов глиняных сосудов, в том числе и маслобоек, во втором культурном слое холма гораздо больше, чем в первом. Вместе с тем наблюдается и некоторое увеличение размеров

¹ Г. И. Ионе. Глиняные сосуды-сапожки из Мингечаура. МКА, т. 3, 1953, стр. 49, табл. V, рис. 8. Арх. фонд Ин-та истории АН Азерб. ССР, № 11, 0662, 1947 г.

² С. М. Казиев. Археологические раскопки в Вартишевском и Куткашенском районах. Сб. эксп. АН Азерб. ССР, Баку, 1947, стр. 143—147.

³ Я. И. Гуммель. Раскопки поселения на запад от Хайлара. КСИИМК, вып. 23, 1948, стр. 76.

⁴ ОАК, 1903, л. 42, рис. 36.

⁵ Хранится в Ленинграде, в Музее антропологии и этнографии СССР, инв. № 2049-70.

⁶ С. М. Казиев. Ук. раб., стр. 145.

⁷ Там же.

этих маслобоек. Такой заметный рост количества маслобоек с одновременным увеличением их размеров объясняется, по нашему мнению, развитием самого скотоводства в Мильской степи в этот период. Развитие же скотоводства вызвало, в свою очередь, значительное увеличение производства молочных продуктов.

Указывая на развитие скотоводства у населения Мильской степи в древности следует обратить внимание на соотношение различных видов домашних животных. Большой интерес представляет остеологический материал. В процессе раскопок на Каратепе вместе с вещественными памятниками было обнаружено и большое количество костей животных. Костный материал второго слоя весьма разнообразен. Здесь встречаются кости крупного и мелкого рогатого скота, лошади, свиньи, птицы, рыбы, рога оленя и в одном только случае — трубчатая кость грифа.

Кости животных попадаются, в основном, в заполнениях мусорных ям, в скоплениях золы и древесного угля около очагов, за кладками сырцовых стен, а также разбросанными по всей площади раскопа. Подсчет найденных костей показывает, что их подавляющее большинство является костями мелкого рогатого скота⁸. Это обстоятельство дает основание думать о том, что скотоводство в Мильской степи в этот период было очень развито и главное место в нем занимал мелкий рогатый скот. По своему характеру это скотоводство, вероятно, было полукочевым. В жаркие летние месяцы скот перегонялся на яйлаги, расположенные в нагорьях Малого Кавказа. Зато всю зиму, за редким исключением, скот содержался на подножном корму, не требуя специальной заготовки кормов. Действительно благоприятные климатические и природные условия Мильской степи способствуют развитию скотоводства в больших масштабах.

Находка на Каратепе глиняных маслобоек дает основание говорить о том, что во II половине I тысячелетия до н. э. население Мильской степи уже умело перерабатывать продукты домашних животных.

Вместе с тем необходимо отметить, что указанные маслобойки являются пока что первыми сосудами такого рода, происходящими из Мильской степи и относящимися примерно ко II половине I тысячелетия до н. э.

Крупные размеры этих малобоек свидетельствуют о том, что изготовление молочных продуктов производилось тогда в довольно большом количестве. Этот факт был связан с развитием самого скотоводства.

Большое значение имеют названные находки для этнографии Азербайджана, в частности для изучения истории изготовления молочных продуктов населения Мильской степи в указанный период. Как известно, степные районы Азербайджана в этом отношении обследованы и изучены очень мало.

Музей истории Азербайджана

Поступило 4. IV 1960

Ф. Ш. Исмизадэ

Мил дүзүндөн тапылан килдән һазырланмыш неһрәләр

ХУЛАСЭ

1958-чи илни пајыз мөвсүмүндә Гаратәпә адланан јашаыш јериндең икى неһрә тапылмышдыр. Гаратәпә Мил дүзүндә, Жданов району-

⁸ Кости животных определены канд. геол.-минерал. наук Н. А. Алекперовой.

иун әразисинде, Өрәнгала шәһәр харабаларынын 4 км шимал-гәрбинең дә јерләшир.

Икинчи мәдәни тәбәгәни галынылығы тәхминән 1,5 м-дир. Бу тәбәгә 0,8 м дәринликдән башлајараг 2,3 м дәринлијә гәдәр давам едир. Археологи тапынты чәһәтдән бу тәбәгә башга тәбәгәләрдән чох зәнкүндири. Элдә едилән материаллара көрә бу тәбәгәни ерамыздан әvvәл 1-чи миниллијин икинчи јарысына аид олдуғуны сөјләмәк олар.

1958-чи илин пајыз мөвсүмүндә тәпәни 2-чи мәдәни тәбәгәсіндән икى әдәд килдән һазырланмыш неһрә тапылмышдыр. Неһрәни бири 27 №-ли квадратда ачылмыш бөјүк тәсәррүфат гујусундан тапылмышдыр. Бу неһрә орта бичимли олуб боз рәңкли килдән һазырланмышдыр.

2-чи неһрәни үзәри чох көзәл сурәтдә чилаланмышдыр. Бу неһрә бириңиңдән бир гәдәр кичикдир. Икинчи неһрә 23 №-ли квадратын 1,5 м дәринлијинде, галын күл лајындан тапылмышдыр.

Гаратәпәндән тапылан һејван сумукләри, килдән гајрылмыш тојун кәлләләри, вә неһрәләр гәдимдә Мил дүзүндә малдарлығын инкишәфыны вә јерли әһалинин иғтисадијатында бу саһәни мүһүм јер тутдуғуны көстәрир.

Гејд етмәк лазымдыр ки, көстәрилән дөврә аид олан неһрәләр Мил дүзүндә бириңи дәфә олараг тапылмышдыр. Енни заманда бу неһрәләр јерли әһалинин һејвандарлыг мәһсулларындан кениш сурәтдә истифадә етдиини бир даһа субут едир.



Т. М. ДАДАШЕВ

ЭСКИЗНЫЕ ПРОЕКТЫ ТИПОВЫХ ВОСЬМИЛЕТНИХ
ОБЩЕОБРАЗОВАТЕЛЬНЫХ ТРУДОВЫХ ПОЛИТЕХНИЧЕСКИХ
ШКОЛ

(Представлено академиком АН Азербайджанской ССР М. А. Усейновым)

Законом Верховного Совета СССР «Об укреплении связи школы и о дальнейшем развитии системы народного образования» определены новые типы восьмилетних общеобразовательных трудовых политехнических школ. В этих школах должны быть созданы наиболее благоприятные условия для всестороннего образования учащихся, воспитания у них высоких моральных качеств, обеспечения физического и эстетического развития школьников и подготовки их к практической деятельности в различных отраслях народного хозяйства.

В соответствии с новыми требованиями намечено массовое строительство восьмилетних школ. Последнее требует всенародного ускорения темпов и снижения стоимости строительства, что может быть обеспечено лишь дальнейшей типизацией проектов и более широким внедрением индустриальных методов строительства.

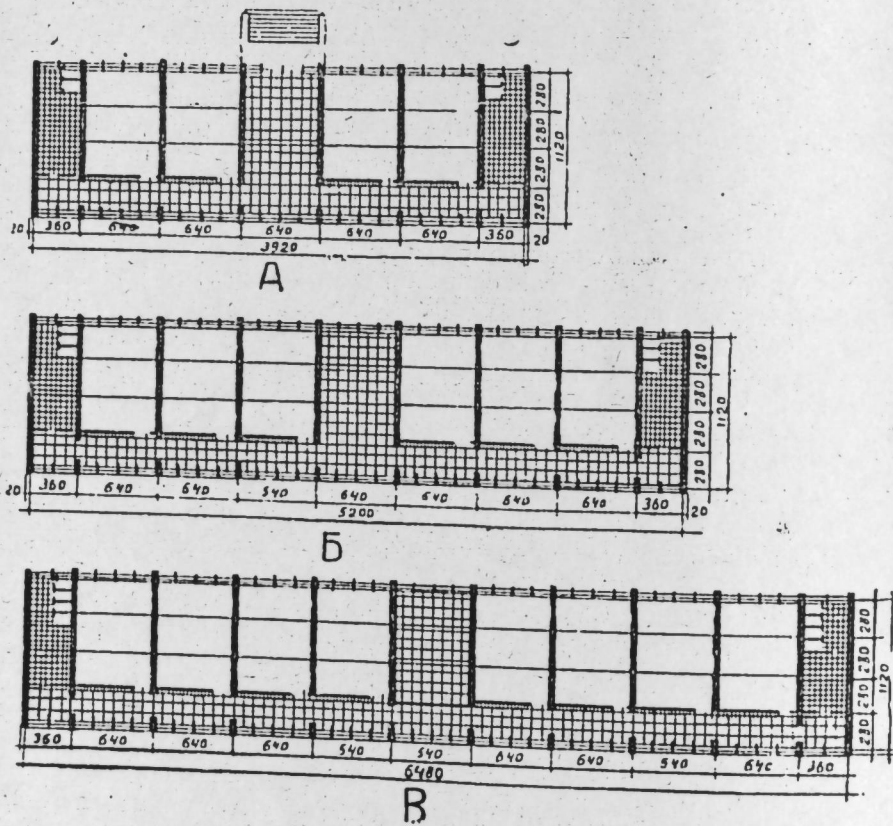
Наряду с новыми педагогическими, санитарно-гигиеническими, экономическими и другими требованиями, предъявляемыми к школьному строительству по всему Советскому Союзу, к строительству школ в условиях юга предъявляется ряд дополнительных требований, связанных со спецификой климата.

При обследовании существующих школ в южных районах выявлено, что их важным недостатком является то, что при проектировании не учитывалось влияние климата. Планировочная структура школьных зданий, принятая в средней и северной полосах Советского Союза, также остается неизменной и для южных районов. Например: многоэтажность (3–5 этажей) школьных зданий, объединение всех школьных помещений в одном объеме с целью сокращения наружных ограждающих стен. Сложная конфигурация планов, длина которых порою доходит до 60–70 м, затрудняет привязку проектов в ограниченных земельных

участках со сложным рельефом. При этом приходится устраивать высокие цокольные этажи, подпорные стены, что увеличивает объем земляных работ. В архитектурном решении фасада повторяется так называемая «поклассная структура» т. е. проектируется три оконных проема на один класс. При этом не учитывается положительное влияние естественного света как важнейшего фактора для жизнедеятельности подрастающего поколения. В зарубежных странах, даже несмотря на суровый климат, вместо наружных стен в зданиях школ устраивают сплошное остекление.

Климатические условия южных районов вполне благоприятствуют проведению некоторых учебных занятий и отдыха учащихся на открытом воздухе. В наибольшей степени это удовлетворяется планировкой школьных зданий, состоящих из отдельных блоков.

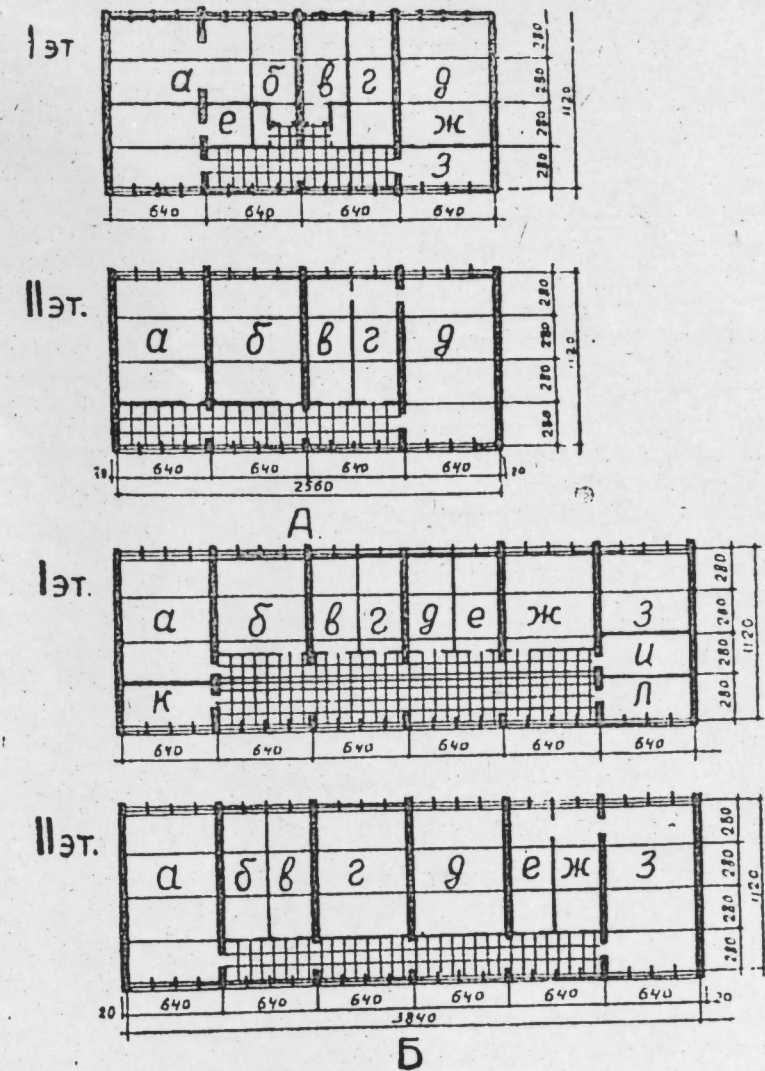
В основу типовых проектов восьмилетних общеобразовательных трудовых политехнических школ положен «блочный тип» школы. Это школа, расчлененная в соответствии с функциональными назначениями на несколько блоков: блок I — учебные классы; блок II — лаборатории и вспомогательные помещения; блок III — мастерские; блок IV — актовый и гимнастические залы.



Plac. I

Блок I – учебные классы

Первый вариант—8-классный: А—2-этажный, В—1-этажный;
второй вариант—12-классный: Б—2-этажный, А—3-этажный;
третий вариант—16-классный: В—2-этажный;
четвертый вариант—24-классный: В—3-этажный.



Plac. 2

Блок II—лаборатории и вспомогательные помещения
А—для школы на 8 классов:

1 эт.: а—мастерская, б—кабинет директора, в—кабинет врача, г—учительская и комната учебных пособий, д—квартира сторожа, е—инструментальная, ж—бенчера, з—комната общественных организаций.

II эт.: а-компакта ручного труда, б-кабинет домоводства, в-лаборантская, г-лаборантская, д-лаборатория естествознания.

Б—для школы на 12—16—24 класса:

Б-для школы на 12—19-21.000.
эт.: а—библиотека, б—учительская и комната учебных пособий, в—кабинет зав. учебной частью, г—кабинет врача, д—кабинет директора, е—кашевария, ж—комната общественных организаций, з—квартира сторожа, и—комната технического персонала, к—кабинет зубного врача, л—уборная.
II эт.: а—лаборатории химии, б—лаборантская, в—комната учебного воспитания, г—комната ручного труда, д—кабинет домовладства, е—лаборантская, ж—лаборантская, з—лаборатория естествознания.

Блок I — учебные классы (рис. 1)

Для школы на 320 ученических мест предлагается блок А—2-этажный или блок В—1-этажный.

Для школы на 480 ученических мест предлагается блок типа Б—2-этажный или А—3-этажный.

Для школы на 640 ученических мест предлагается блок типа В—2-этажный.

Для школы на 960 ученических мест предлагается блок типа В—3-этажный.

Во всех учебных блоках размещены классные комнаты.

Централизованные гардеробы в существующих школах предлагается рассредоточить, расположив их поэтажно в шкафах, устроенных в рекреационных коридорах. По нашему мнению, такое решение более соответствует условиям южного климата; так как централизованные гардеробы при эксплуатации здесь себя не оправдали. Кроме того, рассредоточение гардеробов по этажам дает возможность лучше осуществить принцип самообслуживания учащихся.

В каждом блоке поэтажно в соответствии с количеством учащихся устроены санитарные узлы, обеспеченные естественным проветриванием (кроме вытяжной вентиляции).

Высота этажей принята в 3,3 м (от пола до пола вышележащего этажа). Связь между блоком I и II осуществляется обходным балконом с лестницами.

Блок II — лаборатории и вспомогательные помещения (рис. 2)

Блок А предлагается для школы на 320 учеников, а Б для школ на 480, 640, и 960 учеников.

В первом этаже размещаются вспомогательные помещения: канцелярия, кабинет директора, учительская, кабинет зав. учебной частью и т. д. Высота этажа принята в 2,8 м.

Во втором этаже располагаются лаборатории и учебные кабинеты. Высота этажа 3,3 м.

Блок III — мастерские (рис. 3)

В блок входят мастерские по обработке металла и дерева и инструментальная. Он предлагается для школ на 480, 640 и 960 ученических мест¹.

Блок IV — актовый и гимнастические залы (рис. 4)

Блок состоит из актового и гимнастического залов, а также обслуживающих их вспомогательных помещений. Вспомогательные помещения располагаются между залами.

Высота актового зала — 4,2 м, гимнастического зала 5 м (для зала размером 12×24 — 6 м). Высота вспомогательных помещений принята в 3,3 м.

Блочный тип школы отличается большой гибкостью и свободной планировкой. Независимо от ориентации участка блок учебных классов при всех случаях может быть ориентирован на южную половину горизонта (за исключением юго-западной и западной). При этом в классных комнатах создается равноценный инсоляционный режим и однообразная ориентация.

¹ Для школы на 320 ученических мест помещение мастерской располагается при блоке II.

Изолированность учебного блока от общешкольных и других вспомогательных помещений, связь учебного блока с рекреационным двором, где учащиеся во время перемены могут отдохнуть на открытом воздухе, считаются вполне приемлемыми в южных районах. Экспериментальные работы врачей-гигиенистов показывают, что отдых школьников на открытом воздухе способствует повышению их внимания и работоспособности во время занятий.

Этажность блоков проектом предусматривается не менее 3-х. Состав и площади помещений приняты по программному заданию, утвержденному Госстроем СССР. Во всех блоках принята односторонняя застройка коридора, что создает возможность увеличить кратность воздухобмена в помещениях.

Проектом предусматривается применение типовых элементов, построенных на едином конструктивном и планировочном шаге. С этой целью все учебные, вспомогательные и другие помещения (за исключением актового и гимнастического залов) во всех проектах имеют глубину с единым пролетом перекрытий. Пролеты актового и гимнастического залов приняты однотипными.

Принятая планировочная сетка позволяет достигнуть большей взаимозаменяемости панелей и полной унификации типоразмеров конструкций.

Проектом предусматривается замена традиционной в школьном строительстве системы с продольными стенами — системой с поперечными несущими стенами. Конструкция с поперечными несущими стенами

Таблица

Школа	Строительная кубатура			
	по программному заданию		по проекту	
	м ³	%	м ³	%
8-классная (на 320 учеников)	7500	100	6188	82
12-классная (на 480 учеников)	10000	100	9992	100
16-классная (на 640 учеников)	12500	100	11185	89
24-классная (на 960 учеников)	17600	100	15044	85

является наиболее приемлемой в сейсмических условиях. При этом, как известно, повышается пространственная жесткость зданий и создается возможность уменьшить толщину наружных ограждающих стен, а также применить крупноразмерные элементы конструкции.

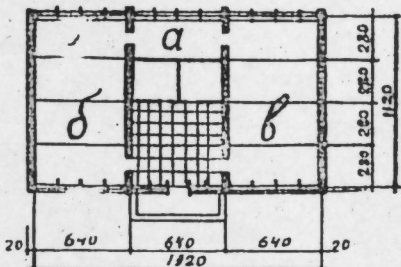


Рис. 3
Блок III—мастерские:
а—инструментальная, б—мастерская по обработке дерева, в—мастерская по обработке металла.

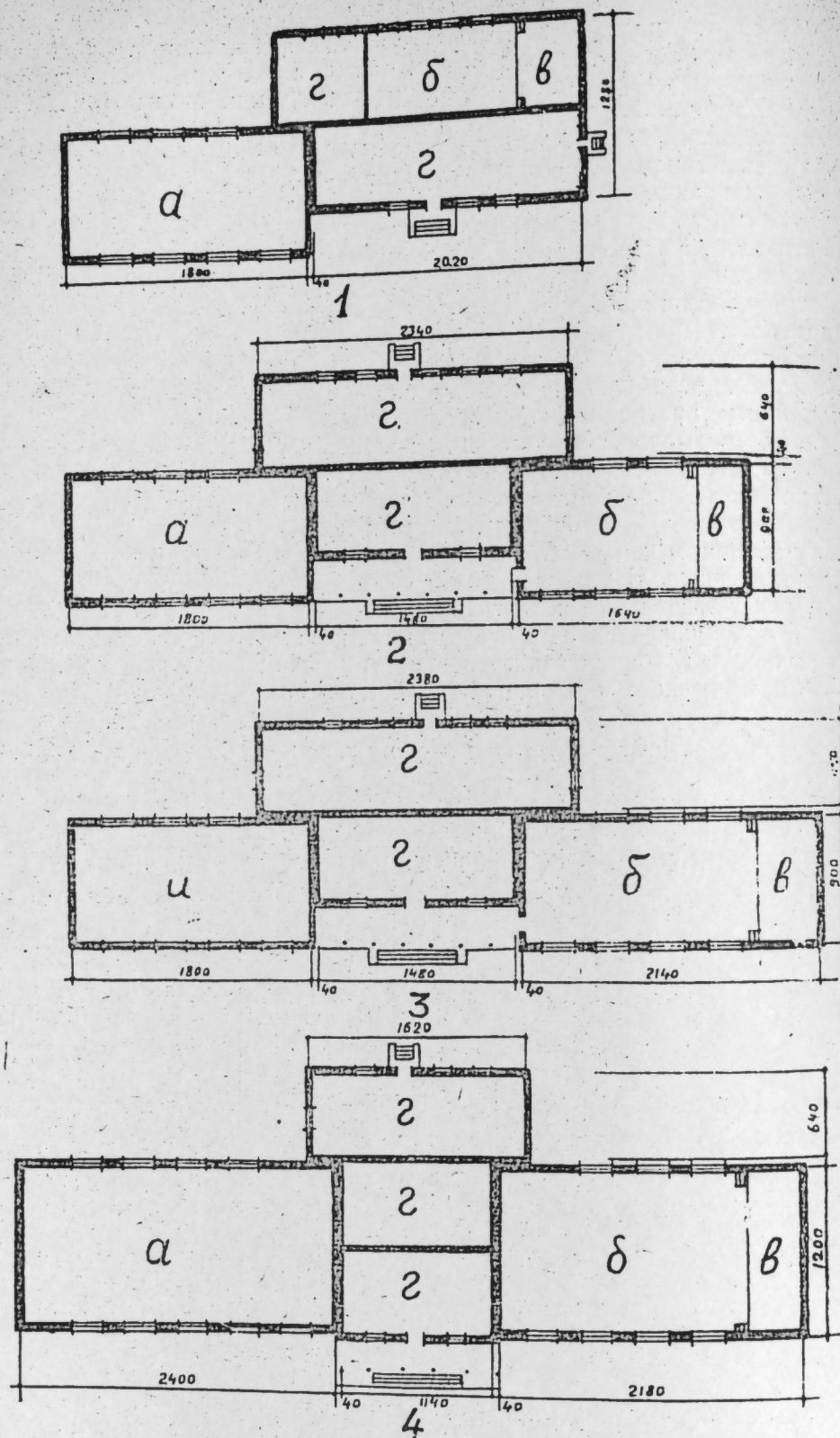


Рис. 4

Блок IV—актовый и гимнастический залы:
 1—для школы на 8 классов, 2—для школы на 12 классов, 3—для школы на 16 классов,
 4—для школы на 24 класса;
 5—гимнастический зал, 6—актовый зал, буфет, в—брюльда, г—спомогательные помещения.

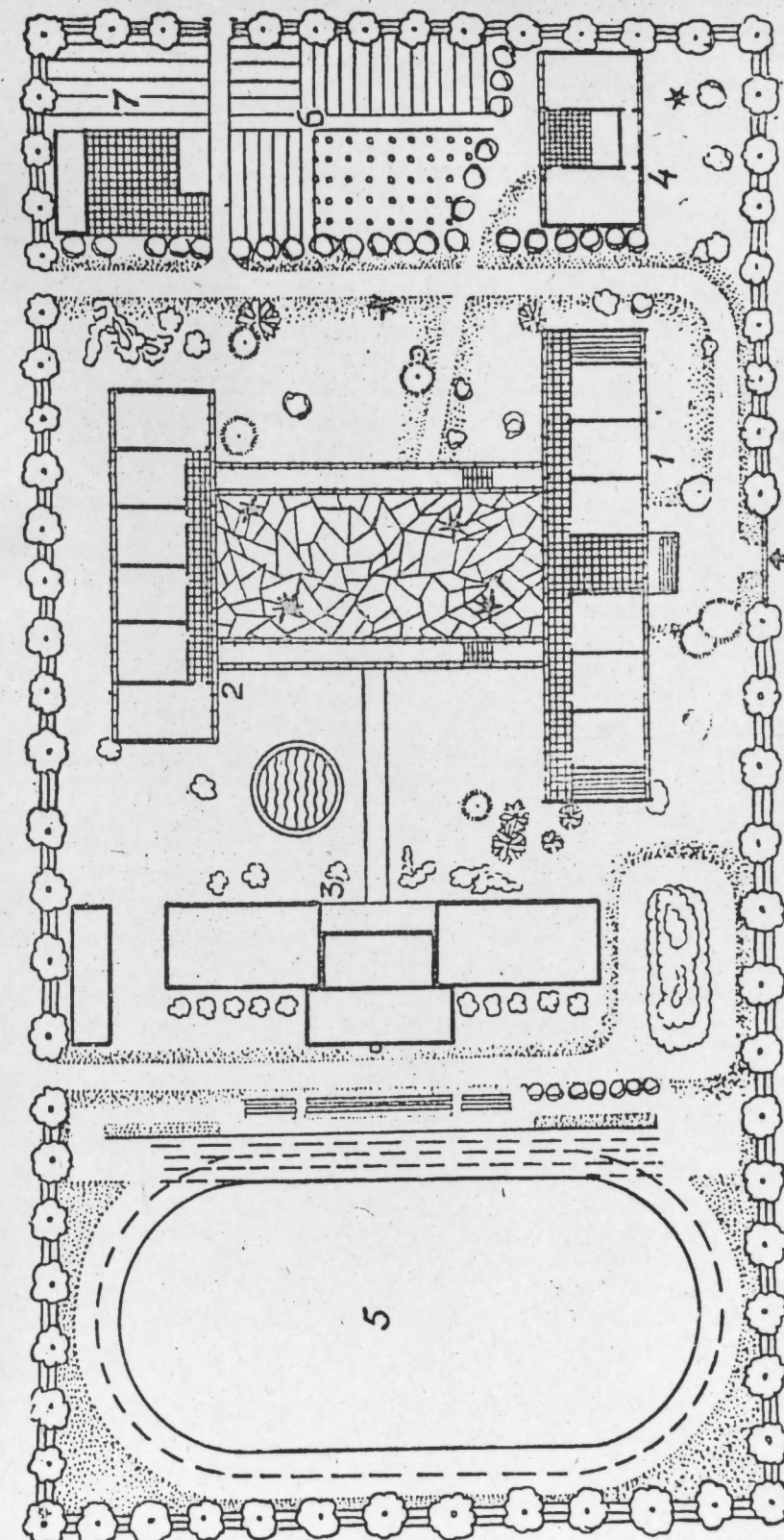


Рис. 5
 Генплан школьного участка (примерное решение):
 1—блок I, 2—блок II, 3—блок III, 4—блок IV, 7—учебно-опытный участок, 6—спортивное ядро, 5—хозяйственный двор.

Генплан школьного участка (рис. 5) решен с учетом размещения указанных выше блоков. Актовый и гимнастический залы в дневное время служат для учебных занятий и внешкольной работы с учащимися, а в вечернее время и выходные дни могут быть использованы для организации отдыха и культурно-массовой работы среди населения микрорайона. Учебные и вспомогательные блоки могут быть применены также при организации школ-интернатов.

Технико-экономические показатели

Огромные масштабы строительства школьных зданий придают вопросам экономики важнейшее государственное значение. Предварительные подсчеты технико-экономических показателей проекта и сравнение их с показателями программного задания приведены в таблице.

Институт архитектуры и искусства

Поступило 6. IX 1960

Т. М. Дадашов

Сәккизиллик үмумтәңсил әмәк-политехник типли мәктәб биналарынын лајиһәси

ХУЛАСӘ

ССРИ Али Советинин мәктәбләриң сәккизиллик тәңсилә кечирилмәси илә әлагәдар олараг верилән Ганунауна әсасән ме'марларымызын гарышысында јени мәктәб биналарынын лајиһәсии тәртиб етмәк үчүн бир сыра мүнүм мәсәләләр дурур.

Совет Иттифагынын бүтүн раionларына аңд олан јени педагогжи, санкиијеник вә башга бу кими тәләбләрдән башга, чәнуб раionларында мәктәб биналарынын ишиаасында мұхтәлиф тәләбләр ирәли сұрулұр. Бу тәләбләр әсасән чәнуб раionларынын иглим шәрәнтиндән доған амилләрдир.

Нал-назырда чәнуб раionларында иша едилемиш мәктәб биналарынын әсас нөгсаны ондан ибарәтдир ки, бу мәктәбләрин мәртәбеллиji, онларын структурасы вә с. ССРИ-нин шимал вә орта гуршагларында олдуғу кими гәбул едилер. Тәбии ишығын иисан организми нә чох хејирили олмасына баҳмајараг, мәктәб биналарында бундан ла-зыны гәдәр истифадә едилемәси үчүн имканлар жарадылмыр. Чәнуб иглим шәрәнти дәрс мәшгәлләринин вә еләчә дә дәрсләрарасы фасиләләрдә мәктәблиләрни ачыг һавада олмасы үчүн јаҳшы шәрәнти жарадыр. Буна көрә дә тәклиф едилемиш мәктәб биналарынын лајиһәсиидә әсас јери мәктәблиләрни тәбиэтлә даңа сых әлагәдә олмасы мәсәләсін тутмалыдыр. Лајиһәјә әсасән мәктәб биналары айры-айры блоклардан ибарәтдир. Бу блоклар синииф отагларындан, лабораторија вә көмәкчи отаглардан, е'малатханаалардан, ичлас вә идман салонларындан ибаратдир.

Бу тип мәктәбләрни ишиаасы чәнуб раionларынын иглим шәрәнти нә даңа уйғын несаб олуна биләр. Јени тәчрүби лајиһә нал-назырда истишмарда олан мәктәб биналарындан даңа чох әлверишли олуб, учуз баша көлир.

МҮНДӘРИЧАТ

Ријазијјат

З. И. Хәлилов. Гејри-мәһідуд операторлу еволюсиян тәнилиниң һәлләринин дајанағлығы 91

Физика

М. Э. Талиби, һ. Б. Абдуллаев. Іарымкеширичиләрдә ашгарларын активләшмә енержиси, ионлашма потенциалы вә атом радиусу арасында корелация һагында 97

Һидродинамика

Ә. М. һәсәнов. Газлы нефти бирөлчүлү мәсәләсінин Урал-1 несаблајычы машинында һәлли 103

Кимја

Ж. һ. Мәммәдәлиев, М. М. һүсәнов, Д. Д. Кичијева, С. М. Мәммәдов. Дәрдхlorлу карбони термики парчаланмасы иетичесинде некахлорбензолун алынмасы 109

Газыма

А. Э. Шәмсиев. Газыма заманы гүјү диварынын киң һиссәсінин пластик деформасијадан соира ислямасы 115

Кеолокија

А. Г. Құл. Абшерон Іарусу күлләринин физики-механики хассәләри 119
Р. Г. Султанов, А. А. һүсәнов, М. П. һачијев. Азәрбајҹан ССР-ниң Кәдәбәј раionундакы торф жатгалары һагында 125

Агрокимја

Ч. М. һүсәнов, Ж. Г. Гәһрәманов. Нефт мәншәли бој маддәсінин пајаизлыг буғданын көкүпүн бој атмасына вә мәісүлләрләрләр тә'сирі 131

Торпагшұнааслыг

К. һ. Төјмурев. Шоракәт торпаглары вә сода илә шорлашмыш торпаглары мелиорасија етмәк үчүн јени комплекс мелиорант 137

Бајтарлыг

М. И. һәсәнов. Гојунларда бел-сүмүк әсасынын проекцион топографик анатомијасы һагында 141

Һидробиологија

Ә. һ. Гасымов, һ. Б. Бабаев. Минкәчевир су анбарынын ашагы бෑфиини бентик фаунасы 147

Физиолокија

А. һ. Тагијев. Өд кисәси ресепторларынын гычыгандырылмасынын дәринин кечиричилүүн тә'сирі 151

Тибб

А. Д. Майлова-Гасымова. Һамиләлийин иккىчи јарысы токсикозлары заманы некетатив синир системиниң везијәттә 155

һ. Ә. Тагијев. Аг чијәрдә кәнәр вәрэмниң бә'зи формаларынын фитонсидләрлә мұаличеси 161

Иничәсәнәт

П. А. һачијев. Халг рәссамы Әзим Әзимзадәнин китаб иллюстрациясы ирсисидән 165

Археологија

Ә. Ш. Исмизадә. Мил дүзүндән тапылан күлдән һазырланмыш иеңрәләр 169

Ме'марлыг

Т. М. Дадашов. Сәккизиллик үмумтәңсил әмәк-политехник типли мәктәб биналарынын лајиһәси 175

СОДЕРЖАНИЕ

Математика

- З. И. Халилов. Об устойчивости решений эволюционного уравнения с неограниченным оператором 91

Физика

- М. А. Талиби и Г. Абдуллаев. О корреляции в полупроводниках между энергией активации примесей ионизационным потенциалом и радиусом примесного атома 97

Гидродинамика

- А. М. Гасанов. Решение одномерной задачи фильтрации газированной нефти на вычислительной машине Урал-1 103

Химия

- Ю. Г. Мамедалиев, М. М. Гусейнов, Д. Д. Кичиева, С. М. Мамедов. Получение гексахлорбензола термическим распадом перхлоруглеродов 109

Бурение

- А. А. Шамсиев. Увлажнение глинистой части стенок скважины при бурении в результате пластической деформации 115

Геология

- А. К. Гуль. О природе физико-механических свойств глин ашхеронского яруса (на примере Ашхеронского полуострова) 119

- Р. Г. Султанов, А. А. Гусейнов, М. П. Гаджиев. О торфяных залежах в Кедабекском районе Азербайджанской ССР 125

Агрономия

- Д. М. Гусейнов и Ю. К. Каҳраманов. Влияние нефтяного ростового вещества на рост корней и урожай озимой пшеницы 131

Почвоведение

- К. Г. Теймуров. Новый комплексный мелиорант для форсированной мелиорации солонцов и содово-сульфатных солончаков 137

Ветеринария

- М. И. Гасанов. Проекционная топографическая анатомия костной основы поясницы у овец 141

Гидробиология

- А. Г. Касымов и Г. Б. Баев. Доинная фауна нижнего бьефа Мингечварского водохранилища 147

Физиология

- А. Г. Тагиева. Интерцептивные влияния с желчного пузыря на проницаемость кожи 151

Медицина

- А. Д. Майлова-Касумова. Состояние вегетативной нервной системы при поздних токсикозах беременности 155

- Г. А. Тагиев. Фитонцидотерапия некоторых форм внелегочного туберкулеза 161

Искусство

- П. А. Гаджиев. Из иллюстративного наследия народного художника А. Азим-заде 165

Археология

- О. Ш. Исмизаде. Глиняные маслобойки из Мильской степи 169

Архитектура

- Т. М. Дадашев. Эскизные проекты типовых восьмилетних общеобразовательных трудовых политехнических школ 175

- Чапа имзаланмыш 7/IV 1961-чи ил. Кағыз форматы 70×108^{1/16}. Кағыз вәрәги 3.
Чап вәрәги 8,22. Нес.—иәшријјат вәрәги 6,51. Сифарыш 106, ФГ 12168. Тиражы 950.
Гијмети 40 гәп.

40 ren.

